

KIRILMA TOKLUĐU ÖLÇÜM YÖNTEMLERİ İLE
3 FARKLI MALZEMENİN İNCELENMESİ

Bu çalışma

U.Ü.Fen Bilimleri Enstitüsü Makina Mühendisliđi
Anabilim Dalına Yüksek Lisans Tezi Olarak
Sunulmuştur.

Mak.Müh. Ergun Ateş

Balıkesir, Ağustos 1987

Bu çalışma U. Ü. Fen Bilimleri Enstitüsü Müdürlüğüne
Yüksek Lisans Tezi olarak sunulmak üzere hazırlanmıştır.

.....

Tez Yöneticisi
Yrd.Doç.Dr. İrfan AY

Bu tez tarafımdan incelenmiş, seviyesi, orjinalliği
ve içeriği yönünden U. Ü. Fen Bilimleri Enstitüsü yönetmeli-
ğine uygun olarak hazırlandığı saptanmıştır.

JÜRİ ÜYELERİ

- 1-
- 2-
- 3-
- 4-

ONSÖZ

Makine elemanlarına etkiyen çalışma yükleri, gele - neksel tasarım yöntemleriyle, akma, çekme ve kırılma mukave met değerlerinin altında tutularak hesaplanmaktaydı. Oysa pek çok yapı bu şekilde dizayn edilmiş olmasına rağmen, he- saplanan gerilmelerin çok altındaki işletme gerilmelerinde hasara uğradıkları görülmüştür.

Bu hasarların nedenleri ve malzemelere etkiyen zor- lanma neticesinde oluşan çatlakların, büyüüp yayılmaları konuyla ilgilenen araştırmacıların çalışmaları sonucu, mal- zemelerin kırılmaya karşı direncini tam olarak ifade edebi- lecek kırılma mekaniği esasları'nın belirlenmesini sağlamış lardır.

Bu çalışmada, kırılma mekaniği için tayin edilen kı- rılma tokluğu ölçüm yöntemlerinden, K_{Ic} ve COD ile 3 farklı malzeme'deki kırılma olayı deneysel olarak incelenmiştir.

Böyle bir konuda çalışma imkanını hocam Yrd.Doç.Dr İrfan AY sağlamış ve çalışmalarımı yönlendirmiştir, kendile rine yardımlarından dolayı teşekkür ederim.

Balıkesir, Ağustos 1987

Mak.Müh. Ergun ATEŞ

ÖZET

Bu çalışmada kırılma tokluğu ölçüm yöntemlerinden K_{Ic} ve COD ile 3 farklı malzemedeki kırılma olayı deneysel olarak incelenmiştir.

1. bölümde, konunun ortaya çıkış sebepleri ve kırılma olayı hakkında genel bir bilgi verilmeye çalışılmıştır. 2. bölümde, konuyla ilgili genel bir literatür araştırması ve kırılma olayı için önem taşıyan, çatlak oluşumu, büyümesi ve yayılması'nın değişik yapıdaki malzemelerde incelenmesi verilmiştir. 3. bölüm'de ise, bugün için tamamen tüm esasları ortaya konmuş ve uygulanabilecek durumda bulunan, lineer-elastik malzemelerdeki teorik mukavemet, DDH ve DGH için çatlak ucundaki gerilme dağılımı ve kırılma şiddeti faktörü ifadesinin eldesi ile Griffith'in konuyla ilgili ortaya koyduğu ifadelerde çatlak'ta enerji dağılımının incelenmesi ve sonuçta çatlak açılması için tayin edilen kritik büyüklükler verilir. 4. bölüm'de ise bu kez elasto-plastik malzemeler için, Irwin, Mc Clintock ve Dugdale isimli araştırmacıların plastik bölge için çıkarttıkları ifadeler ve çatlak ucunda plastik bölge'nin etkili olması halinde, büyüklükler, enerji dağılımı ve çatlak kararlılığı ile çatlak yayılımının incelenmesi yer alır. Bölüm 5'de bu ilk 4 bölüm esas alınarak kırılma tokluğu ölçüm yöntemlerinin (K_{Ic} , COD J integrali) hangi esaslar dahilinde gerçekleştirilmeleri -

gerektiđi verilmektedir. Bölüm 6 ise yapılan deneysel çalış malar ve elde edilen sonuçların deđerlendirilmesi ile son bulmaktadır.

Neticede önceki bölümlerde belirlenen teorik esas lar ile, elde edilen sonuçların deđerlendirilmesi ile bulunan neticelerin uyum içinde oldukları görülmüştür.

ABSTRACT

In this study, I experimentally investigated the fracture toughness of three different materials using with K_{Ic} and COD measuring techniques.

In the first chapter, I have been explained about fracture and its reasons. The second chapter is dealing with general literature and cracking occurrence, its growing up, dissipation of the cracking in the different structure materials. In the third chapter, the crack tip strength dissipation and the fracture intensity factor are giving which is applicable on the theoretical strength (Plain-deformation state and Plain-stress state) of the linear-elastic materials. At the same time it has been examined of the energy dissipation in the crack which expressions giving by Griffith and finally all of the critical magnitudes are giving for crack opened. In the fourth chapter, I defined fracture toughness, cracking dissipation, energy distribution and all of the magnitudes when plastic zone is affect to the crack tip. Simultaneously all of the expression for elastic-plastic materials which are defined by Irwin, Mc Clintock and Dugdale are giving. In the fifth chapter, I defined the principles of the measuring techniques (K_{Ic} , COD, Integral of J) which are bases on before chapters.

In the sixth chapter, dealing with all experimental study and evaluation of conclusions.

Finally, all of the obtaining results with theoretical principles are shown to be suitable.

ŞEKİL LİSTESİ

<u>Şekil</u>	<u>Sayfa</u>
2.1 Çatlak oluşumu.	11
2.2 Çatlak oluşum modelleri.	11
2.3 Tane sınırının karbonlu çelikte kırılma ve akma mukavemetine etkisi.	17
2.4 Sünek malzemelerde kopma safhaları.	20
2.5 Perlitik çelikte kırılma mekanizması.	21
2.6 Sünek malzemelerde küresel ikinci faz dolayısıyla kırılma mekanizması.	22
2.7 Küresel (yuvarlak) sert fazlar dolayısıyla kırık yüzey oluşumu.	23
2.8 Çatlak büyümesinin üç hali.	25
2.9 Çatlak yayılmasında COD modeli.	27
2.10 Çatlak açılma mod'ları.	28
3.1 Bileşke gerilmenin mesafeyle değişimi.	30
3.2 Eliptik çatlak.	33
3.3 Çatlak ucundaki gerilmeler.	36
3.4 Değişik çatlak tipleri için (K) değerleri.	42
3.5 Çatlak uzunluğu ile enerji değişimi.	45
3.6 İdeal lineer-elastik (gevrek) malzemede (G, R) bağıntısı.	46

<u>Şekil</u>	<u>Sayfa</u>
3.7 Çatlak oluşum anında enerji dönüşümleri.	48
3.8 Çatlağı oluşturmaya çalışan (G) ve çatlağın oluşmasına karşı koyan (R) kuvvetinin çatlaktaki görünümü.	51
3.9 Çatlaklı malzemede $F-\Delta l$ değişimi.	56
3.10 ($\Delta l = sbt.$) hali.	58
3.11 ($F = sbt.$) hali.	59
4.1 Irwin plastik bölgesi.	66
4.2 Kalın plaka içinde çatlak ucundaki Mc Clintock Irwin genişletilmiş plastik bölgesi.	71
4.3 Mc Clintock-Irwin plastik bölgesindeki çatlak uzunluğunun, DDH ve DGH'de hesabı.	72
4.4 Numune kalınlığı ile kırılma şiddeti faktörünün değişimi.	73
4.5 Çatlak ucunda kırılma tipleri.	74
4.6 (30NiCrMo83) levhasında, çatlak uzunluğu ile kritik gerilme'nin bağımlılığı.	75
4.7 (B) kalınlığının kırılma şekline ve (G) değerlerine etkisi.	77
4.8 Dugdale'nin çatlak modeli.	78
4.9 Çatlak ucundaki plastik bölgede hesaplama.	80
4.10 Plastik bölge önündeki çatlağın genişlemesi.	82
4.11 Dugdale modelinde, plastik bölgedeki uzunluklar ile gerilmelerin bağımlılığından, teorik ve deneysel incelemelerin sonuçları.	83

<u>Şekil</u>	<u>Sayfa</u>
5.1 Değişik malzemelerin gerilme ile K_{Ic} bağımlılığı.	89
5.2 K_{Ic} yönteminde, ölçüm şekli.	90
5.3 (a/w') ile bağımlı sabitler.	91
5.4 Numune formları.	92
5.5 Çatlak açılma tipleri.	94
5.6 K_{Ic} numunesinde kırılma yüzeyi ve şemada yorulma çatlak yüzeylerinin sınırları.	96
5.7 Çatlak açıklığı ölçüm düzeni.	97
5.8 Değişik yapıdaki numunelere ait F-V eğrileri.	99
5.9 COD çatlak açıklığı ölçüm modeli.	106
5.10 (δ_c) tayini için (3 PB) 3 noktadan eğme numunesi.	107
5.11 (δ_c) tayini için numunedeki çentik formu.	108
5.12 COD eldesi için, elde edilen F-V eğrileri.	110
5.13 Dönme faktörü (r) ile (V)'nin değişimi.	114
5.14 Çeşitli çeliklerde $(\delta_c/\xi a)$ ile $(K_{Ic}/\sigma_a)^2$ arasındaki bağıntı.	116
5.15 J integralini tarifleyen kapalı eğri.	117
5.16 Lineer-elastik ve Elasto-plastik malzemelerde F- Δl eğrileri.	119
5.17 Çok numune yaklaşımıyla kritik- $J(J_{Ic})$ 'nin bulunması.	121
5.18 Tek numune yaklaşımıyla (J_{Ic}) 'nin bulunması.	122

<u>Şekil</u>	<u>Sayfa</u>
6.1 K_{Ic} numunesi için belirlenen kesin ölçüler.	135
6.2 (δ_c) numunesi için belirlenen kesin ölçüler.	136
6.3 Yorulma çatlığının açılmasının şematik olarak gösterimi.	137
6.4 Deneyde kullanılan kuvvet ölçer'lerin şematik olarak gösterimi.	139
6.5 Kuvvet ölçer'in Wheatstone köprü devresi.	141
6.6 Numune eğme aparatı.	142
6.7 4 mm. 'lik kuvvet ölçer ile ölçüme hazır düzenek.	143
6.8 2 mm. 'lik kuvvet ölçer ile ölçüme hazır düzenek.	143
6.9 X-Y Recorder ve amplifikatör.	144
6.10 Deney standı.	145
6.11 Deney standı'nın şematik gösterimi.	146
6.12 Special-K ve Alüminyum numunelerin, deney sonrası durumları.	147
6.13 Special-K ve Plexiglas numunelerin, deney sonrası kırılma yüzeyleri.	147
6.14 Special-K numuneler ile, Recorder'dan alınan (F-v) eğrileri.	149
6.15 Alüminyum numuneler ile, Recorder'dan alınan (F-v) eğrileri.	150
6.16 Plexiglas numuneler ile, Recorder'dan alınan (F-v) eğrileri.	151

TABLO LİSTESİ

<u>Tablo</u>		<u>Sayfa</u>
1.	Gevrek kırılma tipinde çatlak yayılma hızları.	24
2.	Special-K'nın bileşimindeki maddeler ve oranları.	125
3.	Çekme ve akma gerilmeleri ile uzama, sıcaklık ile çekme mukavemetinin en az değişimi.	125
4.	Isıl işlem dereceleri.	126
5.	Sertlik değerleri ve sertliğin menevişle değişimi.	126
6.	Ebada göre sertleşme kabiliyeti.	126
7.	Alüminyum malzeme'nin özellikleri.	127
8.	Plexiglas'ın kimyasal maddelere karşı durumu.	131
9.	Plexiglas'ın oda sıcaklığında ölçülen önemli ortalama fiziksel özellikleri.	132
10.	Special-K için gerekli büyüklükler.	152
11.	Special-K numuneler için Y ve K_Q değerleri.	153
12.	Special-K numuneler'den bulunmuş K_{Ic} değerleri.	154
13.	Plexiglas numuneler için gerekli büyüklükler.	155
14.	Plexiglas numuneler için Y ve K_Q değerleri.	156
15.	Plexiglas numuneler'den bulunmuş K_{Ic} değerleri.	157
16.	Alüminyum numuneler için gerekli büyüklükler.	158
17.	Alüminyum numuneler için K_f değerleri.	159
18.	Alüminyum numuneler'de (COD) i , m değerleri.	160
19.	Alüminyum için, m değerlerine karşılık olan K_c değerleri.	161

TERİMLER VE SEMBOLLER

a	çatlak uzunluğu.
a_{eff}	effektif çatlak uzunluğu.
a_{kr}	kritik çatlak uzunluğu.
a_0	atom'lar arası mesafe.
A	alan.
A_0	numune kesiti.
b	çatlak genişliği.
b'	(W-a) değeri.
B	numune kalınlığı.
C	compliance.
C'	a/W numune geometrisi ile bağımlı, BS 5762 1979 standardın'daki (Y) değeri.
C_1	Y fonksiyonu için sabit değer.
C_2	" " " " "
C_3	" " " " "
C_4	" " " " "
C_G	Griffith çatlak uzunluğu.
d	tane çapı.
D.K	dislokasyon kaynağı.
e	yorulma çatlak uzunluğu.
E	elastisite modülü.
f	şekil değişim uzunluğu.

F	kuvvet.
F_a	çatlağı deforme edecek min. kuvvet.
F_{max}	max. kuvvet.
F_Q	kritik gerilmeyi veren kuvvet.
F_x	(S) doğrusunun F-v eğrisini kestiğı nokta.
F'	$(F_x \cdot 0,8)$ değeri.
\hat{F}	F-v eğrisindeki ilk kararsızlık noktası.
G	çatlak oluşturma kuvveti.
G_k	kayma modülü.
H_1	straingauge.
H_2	"
k	sabit.
k_1	"
k'	pile' up'dan dislokasyonların bırakılması ile ilgili bir parametre.(dislokasyonların sayısı ile ilgili)
\mathcal{E}	kinetik enerji.
K	kırılma şiddeti faktörü.
K_f	kırılma faktörü.(<u>numune boyutları, compliance</u> ilgili kuvvet değeriyle bağımlıdır)
l	çatlak ucu önünde minyatür çekme çubukları uzunluğu.

l_0	numune uzunluđu.
L	kayma bandı uzunluđu.
M	moment.
$M_{max.}$	max. moment.
n	dislokasyon sayısı.
r	çatlak ucundan bir noktaya kadar'ki mesafe.
r_{pl}	plastik bölgenin uzunluđu.
t	zaman.
$T.S$	tane sınırı.
T_1	straingauge.
T_2	"
U	malzemedeki enerji.
U_{el}	elastik enerji.
U'_{el}	malzemede etkili olan deformasyon sonucu açığa çıkan elastik enerji.
U_0	malzemeyi kırmak için gerekli enerji.
U_γ	yüzey enerjisi.
ν	poisson katsayısı.(büzülme katsayısı)
v	yer deđişim deđeri.
v_e	malzemede tek boyutlu ortamda enine dalga yayıma hızı.
V_h	numune hacmi.

V_0	malzemede tek boyutlu ortamda boyuna dalga yayılma hızı.
V_p	çatlak ucu açılma miktarlarının plastik bileşenleri.
V'	çatlak yayılma hızı.
Y	numune geometrisiyle bağımlı bir düzeltme katsayısı.
Z	numune geometrisine bağlı bir değer.
Z'	numune üst yüzeyine tespit edilen parça'nın (çaklı'nın) yüksekliği.
W'	iş ifadesi.
W_b	toplam plastik bölge uzunluğu.
W	numune genişliği.
x	atom'lar arası mesafe.
x_g	çatlak yüzeyleri arası mesafe, çatlak genişliği.
σ_1	asal gerilme.
σ_2	" "
σ_3	" "
σ	normal gerilme.
σ_a	akma gerilmesi.
$\sigma_{a,0,2}$	% 0,2'ye karşılık gelen akma gerilmesi.
σ_i	kararlı büyümeye karşılık gelen değer.

σ_k	kırılma (kopma) gerilmesi.
$\sigma_{max.}$	max. gerilme.
σ_v	Von Mises akma gerilmesi.
τ	kayma gerilmesi.
τ_i	tane içi mukavemet değeri.
$\tau_{max.}$	max. kayma gerilmesi.
τ_{xy}	x ve y doğrultularındaki kayma gerilmesi. bileşeni.
α	kayma oranı.
β_1	burulma için.(1)
β_2	çekme için.(1/2)
β_3	çentik için.(1/3)
β	(kayma gerilmesi/nominal gerilme) oranı.
δ	yüzey enerjisi.
δ_e	elastik bölgenin yüzey enerjisi.
δ_p	plastik bölgenin yüzey enerjisi.
δ_y	çatlak yüzey enerjisi.
λ	dalga boyu.
δ	çatlak ucundaki plastik deformasyon miktarı (COD değeri)
ρ	çatlak ucu eğrilik yarıçapı.
ρ_y	malzemenin yoğunluğu.

- θ aç1.
- φ sistemdeki tüm enerji.
- F çatlak oluşumu için dışarıdan sisteme verilen enerji.
- \mathcal{L} yorulma çatlağı haricindeki çatlak uzunluğu.
- E (Δl) uzama miktarı.
- E_a akma gerilmesine karşılık gelen uzama.
- E_f numunenin çekme sünekliliğı.
- E_z kalınlık yönündeki deformasyon.
- (★) kritik noktaları gösteren değerleri ifade eder.

İÇİNDEKİLER

	<u>Sayfa</u>
ONAY	III
ÖNSÖZ	IV
ÖZET	V
ABSTRACT	VII
ŞEKİL LİSTESİ	IX
TABLO LİSTESİ	XIII
TERİMLER VE SEMBOLLER	XIV
İÇİNDEKİLER	XX
Bölüm 1. GİRİŞ	1
Bölüm 2. KIRILMA VE TEORİSİ	7
2.1 Literatür Araştırması	7
2.2 Metalik Malzemelerde Çatlak	7
2.2.1 Yarı Gevrek Kırılma Tipinde Çatlak Oluşumunun Dislokasyon Teorileri ile Açıklanması	9
2.2.2 Sünek Malzemelerde Çatlak Oluşumu	20
2.2.3 Çatlağın Yayılması (Çatlak Yayılma Hızı)	24
Bölüm 3. LİNEER-ELASTİK KIRILMA MEKANİĞİ	30

	<u>Sayfa</u>
3.1 Giriş	30
3.2 Lineer-Elastik Metallerde Teorik Mukavemet	30
3.3 Düzlem Deformasyon-Düzlem Gerilme	35
3.4 Lineer-Elastik Malzemelerde Çatlak Ucundaki Gerilim Dağılımı Ve Gerilme Şiddeti Faktörü	36
3.5 Griffith Teorisi	44
3.5.1 Enerji Dönüşümleri	47
3.5.2 (2a) Uzunluğunda Bir Çatlağa Sahip Malzemede Enerji Dağılımının İncelenmesi	56
3.6 Çatlak Açılmasında Kritik Büyüklükler	63
 Bölüm 4. ELASTO-PLASTİK KIRILMA	 64
4.1 Giriş	64
4.2 Irwin Plastik Bölgesi	66
4.3 Mc Clintock-Irwin Plastik Bölgesi	69
4.4 Dugdale Plastik Bölgesi	78
4.5 Çatlak Ucunda Etkili Olan Plastik Bölgedeki Büyüklükler Ve Enerji Dağılımı	80
4.6 Çatlak Önünde Plastik Bölge Olması Halinde Çatlak Kararlılığı ve Yayılmasının İncelenmesi	82

	<u>Sayfa</u>
Bölüm 5. KIRILMA TOKLUĞU ÖLÇÜM YÖNTEMLERİ	87
5.1 Giriş	87
5.2 K_{Ic} Yöntemi	90
5.2.1 Esaslar	90
5.2.2 Numune Formu Ve Boyut Sınırlamaları	92
5.2.3 Çatlak Açıklığı Ölçümü	97
5.2.4 Deney Sonuçlarının Değerlendirilmesi	99
5.3 COD (Crack-Opening-Displacement) Yöntemi	106
5.3.1 Giriş	106
5.3.2 Numune Formu Ve Boyut Sınırlamaları	107
5.3.3 Çatlak Açıklığı Ölçümü	109
5.3.4 Deney Sonuçlarının Değerlendirilmesi	110
5.4 J İntegrali	117
Bölüm 6. DENEYSEL ÇALIŞMALAR VE SONUÇLARI	124
6.1 Giriş	124
6.2 Seçilen Malzemeler	124
6.2.1 Special-K	125
6.2.2 Alüminyum	127
6.2.3 Plexiglas	130
6.3 Kırılma Tokluğu Ölçüm Yönteminin Tespiti	134
6.4 Deney Parçalarının Boyutlandırılması Ve Hazırlanması	134

	<u>Sayfa</u>
6.5 Test Ekipmanları	138
6.5.1 Kuvvet Ölçer	138
6.5.2 Çentik Ucu Açılmasını Ölçer (Clip-Gauge)	141
6.5.3 Numune Eğme Aparatı	142
6.5.4 Amplifikatör, X-Y Recorder Ve Test Makinası	144
6.6 Alınan (F-v) Eğrileri	148
6.7 Değerlendirme	152
6.7.1 Special-K İçin Hesaplama	152
6.7.2 Plexiglas İçin Hesaplama	155
6.7.3 Alüminyum İçin Hesaplama	158
6.8 Sonuçlar	162
KAYNAKLAR	165

BÖLÜM 1

GİRİŞ

Bir yapısal elemanın tasarımı, verilen yük ve çevre koşullarında yapının uygun bir şekilde işlenmesini sağlamak için geometrisinin, boyutlarının saptanması ve gerekli malzemenin seçilmesidir. Bu işlerin yapılabilmesi için öncelikle yapının gerilme analizinin yapılması daha sonra'da uygun bir tasarım ölçütü kullanılması gerekmektedir. Bu ölçüt genellikle elemandaki "kritik yükün" karakteristik bir malzeme parametresi ile mukayesesinden ibarettir. "Kritik yük" elemana etki eden yüklerin şiddetini ve elemanın geometrisini, malzeme parametresi ile malzemenin dayanıklılığını gösterir. Bugün dahi makine elemanlarının etki altında oldukları işletme yüklerine karşı emniyetli gerilme hesabı, geleneksel tasarım yöntemleriyle,

-Statik yük'ü orantı sınırının altında tutarak aşırı sehimi önleme,

-Statik yük'ü yapının taşıyabileceği max. yük'ün altında tutarak burkulma ve boyun teşekkülünden korunma,

-Yükleme statik halde üniform olmayan gerilme dağı-

lımı şeklinde ise (çentikli yapı), max. gerilme civarındaki bölgesel plastik deformasyonların müsaade edildiği, yapının diğer kısımlarında ise büyük elastik gerilmelerin hakim olduğu, çentik katsayılarının kullanıldığı plastik tasarım ti-pindeki haller dikkate alınarak oluşturulmaktadır.

Bu yöntemlerde yapının kırılma gerilmesi, akma gerilmesinden büyük, çekme gerilmesinden büyük veya eşit varsayılmıştır. Böylece çalışma yükleri, akma, çekme ve kırılma mukavemet değerlerinin altında tutularak hesaplanmaktaydı.

Genellikle bir elemanın veya tüm yapının kullanıl-maz hale gelmesi aşağıdaki nedenlerden biri ile olur.

-Akma, gereğinden fazla şekil değiştirme.

-Yorulma.

-Yapısal stabilite.

-Yenim (korozyon)

-Kırılma.

Bu iş görmezlik modlarından kırılma'nın en belirgin özelliği uygulanan aşırı yük nedeniyle malzemede yeni yüzeylerin belirmesidir. Kırılma denince genellikle önceden herhangi bir belirti vermeden, fazla şekil değişikliği olmadan parçanın ikiye bölünmesi olayı anlaşılmaktadır. Ne yazık ki tarih bu tür kırılma olaylarının yarattığı facialarla doludur. Bu konudaki ilk yazılı belge 1844'de Oldham İngiltere'de bir değirmendeki dökme demir ana milin kırıldığını ve 20 kişinin öldüğünü belirtmektedir. Çok yakın zamana kadar klasik dizayn kriterleri ile bu tür olaylar açıklanmaya çalışılı-

şılmış ama başarısızdır. Kırılma mekanizmasına olan ilgi özellikle 2. Dünya Savaşı sırasında artmıştır. Ne yazık ki bu gelişme'de bir takım facialardan sonra meydana gelmiştir. Bu faciaların en iyi bilinenleri İngiliz'lerin turbojet Comet uçakları ile T2 Tanker ve Liberty gemilerinde olanlardır. Toplamı 5000 kadar, parçaları kaynak kullanılarak eklenmiş bu gemilerden, 1000 tanesinde çatlaklar olmuş, 200 tanesi ciddi bir şekilde hasar görmüş ve 16 tanesi'de ortadan ikiye ayrılmıştır. Bunlara ek olarak daha yakın zamanlarda F 111 ABD Hava Kuvvetleri uçakları düşmüş, Alaska-Kanada petrol boru hattında patlamalar meydana gelmiş, Melborn Avustralya'da King's Köprüsü aniden çökmüştür. Bütün bu eleman ve yapılarda bilinen klasik tasarım ölçütleri doğru bir şekilde takip edilmiştir.

Buradan çıkan sonuç özellikle çatlak ve hatalara çok hassas olan yüksek mukavemetteki malzemeler için klasik tasarım ölçütlerinin kullanılamaz oluşudur. Her ne kadar delikli, çentikli veya keskin köşeleri olan elemanların tasarımında bu etkileri gözönüne almak için gerilme yığılması katsayıları kullanılıyorsa da bu kendi başına bir ölçüt değildir ve sadece sistemde meydana gelen gerilme ile uygulanan gerilmenin oranını vermektedir.

Çok keskin çatlağı olan bir yapıda çatlak ucunda gerilme yığılması katsayısı sonsuza yaklaşmaktadır, klasik tasarım yöntemlerini kullanan bir tasarımcı için bu sonuç anlamsızdır; çünkü çatlak ucundaki gerilme akma gerilmesinden defalarca daha büyüktür ve buna rağmen içinde çatlak olan

bütün yapılar klasik tasarımın öngördüğü gibi hemen çökme -
mektedir. Buna ek olarak içinde çatlak olan birçok yapıda
akma gerilmesinin çok altındaki gerilmelerde hızlı çatlak i
lerlemelerinden dolayı kullanılamaz hale gelmiştir. Bütün
bu olaylar içinde ve/veya hata bulunan elemanların tasarımı
için yeni bir disiplin gerektirmiştir. "Kırılma mekaniği"
diye isimlendirilen bu yeni tasarım disiplininde en önemli
varsayım malzeme içindeki mekanik hataların önüne geçilemez
olduğu ve bu hataların'da malzemedeki gerilme dağılımını et
kilediği dolayısı ile'de sisteme yüklenebilecek yüklerin he
saplanmasında önemli rol oynadığıdır. Malzemedeki küçük ha
taların ve mikroskopik ufak çatlakların malzeme dayanıklılı
ğına etkisi cam lifleri ile yapılan deneylerde açıkça görü
lebilir. Aynı boydaki cam liflerinden yüzeyi parlatılanında
yüzeyi pürüzlü bırakılana göre kırk defa daha fazla bir çek
me mukavemeti elde edilmiştir. Bunun nedeni ise parlatılan
liflerdeki küçük yüzey hatalarınının yok oluşudur.

Kırılma mekaniği ölçütlerini incelemeden evvel kırılma
nın fiziksel yapısını incelemek gerekmektedir. Kırılma
mekaniğinde ana fikir tüm dikkatleri malzemedeki bulunan kri
tik çatlakın etrafında yoğunlaştırmaktır. Çünkü bu hata, po
zisyon ve büyüklüğü uygun ise hızla ilerleyen bir kırılma -
nın başlatıcısı olabilir. Kritik olmayan bir hatanın'da kri
tik olabilecek bir boyuta zamanla erişebilmesi için bir me
kanizma gereklidir. Bunlar yorulma, korozyon gibi mekanizma
lardır. Üretim hatası ve kaynak hataları nedenleri ile'de e
lemanda hatalar meydana gelebilir. Bu hatalar kritik olabil

dikleri gibi bazen'de yerleřtirim sırasında ortaya ıkan gerilmelerle kritik boyutlara ulařırlar.

Kırılma iřlemi ařađıdaki kademelerde meydana gelir.

-Yavař ilerleme; Bunda kritik olmayan bir hata, gerilmeler nedeniyle ok yavař olarak kritik hata boyutuna ulaşır.

-Bařlangı; Hatanın boyunun, gerilmeler ısı gibi nedenlerle kritik hale geldiđi yani stabilitesinin bozulup aini ilerleyen bir kırılmaya bařlangı olduđu haldir. Kırılmanın bařlangıı kırılgan ve snek olabilir. Bu, malzemenin cinsine, sıcaklıđına, byklđne, uygulanan ykn uygulama hızına ve malzemenin mikroskopik yapısına bađlıdır. Bu etkilere byklk etkisi diye adlandırılan etki ok ilgin olmakla beraber henz tam olarak anlařılamamıřtır. Aynı malzeme ufak deney parası boyutlarında snek zellik gsterdiđi halde boyutları byynce bu malzemedeki yapılan eleman kırılgan zellik gsterebilir. Bunun en belirgin rnekleri gemi, uak gvdeleri ve basınlı tanklarda grlmektedir. Bu yapılarda atlaklar oluřtuktan sonra yapılan incelemelerde kırılmanın, malzemenin snek olmasına rađmen kırılgan bir zellik gsterdiđi kırılma yzeylerinin parlaklıđından anlařılmaktadır.

-ilerleme; Bu durumda sistemdeki ykler altında, hatta hızla ilerlemektedir.

-Durdurma; eřitli nedenlerle kırılma durmuřtur.

Kırılma mekaniđinde bu drt safha ayrı ayrı incelenmelidir. nk birisi iin nemli olan diđerleri iin nem-

li olmayabilir. Örneğin hatanın ucundaki gerilmelerin durumu hatanın kritik olup olmaması ve kırılmanın başlamasında önemli bir faktör iken, hatanın ilerlemesinde önemli bir faktör değildir. Yapı elemanını yerleştirme sırasındaki en önemli sorunlardan biri'de hatalardan hangisine izin verilebileceği yani hangi hatanın kritik olacağı ve kırılmanın başlaması safhasıdır. Bundan dolayı kırılmanın başlayabilmesi için gerekli olan şartlar ayrıntıları ile incelenmelidir. Bu aynı zamanda kırılma mekaniğinin en popüler ölçütü olan "Kırılma şiddeti faktörü" ölçütünün'de ana noktasıdır.

Malzemelerin kırılmaya karşı direncini (kırılma tokluğunu) belirleyebilmek için, çatlak yayılmasının izlenmesi ile başlangıçta kalitatif neticeler veren deneyler yapılmış sonraki çalışmalar ise, yapı içerisindeki çatlak ilerlemesine karşı malzeme direncini kantitatif olarak ölçebilecek kırılma mekaniği analitik ifadeleri K_{Ic} , COD, J integrali gibi deneysel metodlar üzerine olmuştur. Önceleri Lineer-elastik malzemeler için süren çalışmalar, daha sonra Elasto-plastik malzemeler için'de gerçekleştirilmiş ve halen bugün'de devam etmektedir. Geliştirilen bu yöntemlerin geçerliliği hakkındaki tartışmalar ise halen sürmektedir.

Bu çalışmada 3 farklı malzemeye K_{Ic} ve COD yöntemi uygulanarak, çatlak oluşum noktası, çatlak ilerlemesi, kararsız (malzemenin kırıldığı) çatlak başlangıcı ve kırılma tokluğu değerleri, kıyaslamalı olarak incelenmiştir.

BÖLÜM 2

KIRILMA VE TEORİSİ

2.1. Literatür Araştırması

Elasto-plastik malzemelerde, çatlağın kararsız bir şekilde yayılma başlangıç noktasını, kırılma tokluğu değerini tayin için pek çok çalışma yapılmıştır. Tam gevrek malzemeler için bu konu sorun olmaktan çıkmıştır. Ancak, elasto-plastik malzemeler ve değişik uygulamalar için daha çok araştırmaya gerek vardır ve bu konuda çalışmalar hızla sürmektedir.

İlk kez Griffith (1), "Bir çatlak, deformasyon enerjisindeki azalma yeni çatlak yüzeyi meydana getirmek için gerekli olan enerjiye eşit olduğu zaman yayılacaktır." diyerek çatlağın yayılma kuralını ortaya koydu. Griffith' in ortaya attığı teori, yalnızca tam gevrek malzemeler için geçerliydi. Orowan (2), Griffith'in teorisinin metallere uygulanamayacağını, zira çatlak duvarını büyütme için yüzey enerjisi teriminin kafi gelmeyeceğini, plastik iş teriminin de ilave edilmesi gerektiğini ileri sürüyordu. Hemen hemen

benzer bir yaklaşımı aynı tarihlerde Irwin (3)'de söyleyerek çatlak yayma kuvvetini, deformasyon enerjisinin bırakılması şeklinde yorumlayarak "K" Gerilim Şiddeti terimini ortaya atmaktaydı. İlk kez Mott (4), çatlağın yayılma hızını analiz ederek bağıntılar çıkardı. Metallerde çatlağın yayılmasını COD (Crack Opening Displacement) modeline göre açıklamasını Cottrell (5) yaptı. Bu modelin formüllerinin oluşturulması ise Hahn (6) ve Rosenfeld (7) tarafından gerçekleştirildi.

Son zamanlarda COD'un kaynaklı parçalara uygulanmasını sağlamak amacı ile Dawes (8) ve arkadaşları boyutsuz COD- (Φ) terimini ortaya koyarak, pahalı yatırım gereken, toleransları dar kaynaklı parçalar ile oluşturulan yapılarda çok önemli başarı sağladılar. Halen dünya üzerinde pek çok yerdeki büyük kuleler, petrol boru hatları, denizden petrol çıkartma tesisleri, doğal gaz boru hatları vs. gibi büyük işlerde COD yönteminin kaynaklı yapılara uygulanması sürmektedir.

2.2. Metalik Malzemelerde Çatlak

Metalsel malzemelerin kullanılamıyacak hale gelmeleri, çatlak oluşumu, çatlağın yayılması ve kırılma sebebiyledir. Çatlağın oluşumu, yayılması ve kırılma birbirini tamamlayan kavramlardır. Metalsel malzemelerde kırılma tipleri;

-Tam gevrek (Lineer-Elastik)

-Yarı gevrek, küçük akma bölgesi (Lineer-Elastik)

-Yarı gevrek, büyük akma bölgesi (Elasto-Plastik)

-Sünek, genel akma (Sınırlı yük)

tarzında olmaktadır.

2.2.1. Yarı Gevrek Kırılma Tipinde Çatlak Oluşumunun Dislokasyon Teorileri ile Açıklanması.

Malzemelerin birçoğunda gevrek kırılmadan önce azda olsa bir plastik deformasyon görülür. Bu malzemelerde kırık yüzeyi bir gevrek kırılma görüntüsüne sahiptir. Çatlağın oluşmasında ve mevcut çatlakların büyümesinin kontrolünde plastik deformasyon rol almaktadır. Böylece kayma düzlemleri bileşenleri en az çeki gerilmesi bileşenleri kadar önemli olmaktadır.

Malzemelerin kırılma mekanizmalarının oluşumu, yapıdaki incelemeler sonucu;

-Tam gevrek malzemelerde (Elmas, Silikatlar, Mika W, B, Karbürler, Nitritler) bağların kopması,

-Yarı gevrek malzemelerde (HSD metaller, birçok

HMK metalller, Nacl) baęların kopması ve dislokasyon hareketleriyle,

-Sünek malzemelerde (YMK metalller, bazı HMK metalller) dislokasyon hareketleriyle, geręekleştii görölmüştür. Dolayısıyla yarı gevrek bir malzemede kırılma plastik deformasyon içerdiiinden, (küçük akma bölgesi) dislokasyon hareketine izin verecektir. Böyle malzemede bir mikro çatlak oluşturmak için;

a) Akma sınırının üzerinde yüklenen malzemede kayma düzlemlerindeki dislokasyon kaynakları harekete geçmekte ve engeller (tane sınırı, ikinci faz, mevcut çatlak vs.) önünde birikmektedir.

b) Birikmiş dislokasyonların önünde kayma gerilmelerini güçlendirmek,

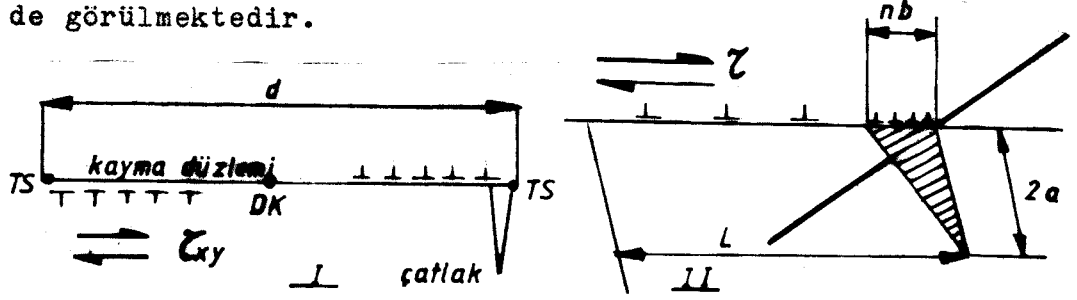
c) daha sonra dislokasyonların hareketini tane sınırlarının engelledii durumda iki olay oluşabilir;

1-Yığılan dislokasyonların oluşturduğu gerilme komşu tanelerde plastik deformasyonu başlatır.

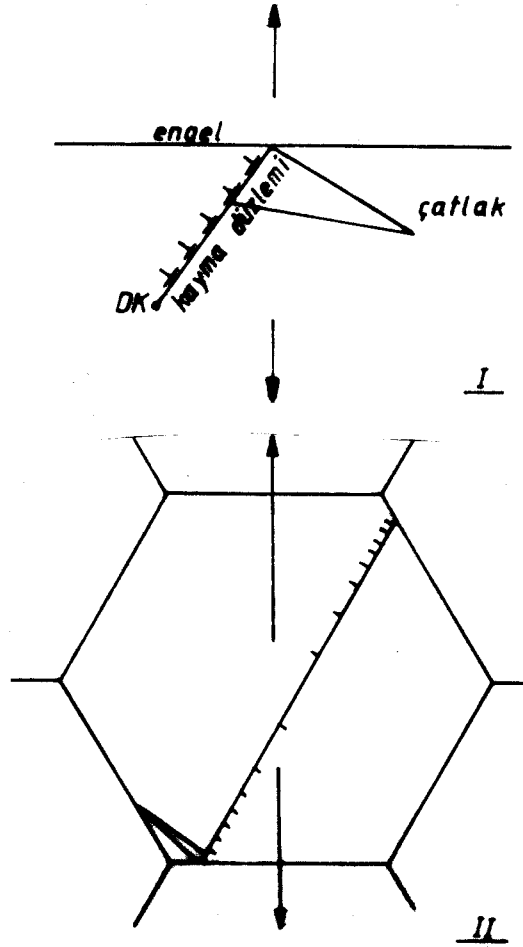
2-Kuvvet tatbiki ile oluşan elastik deformasyon enerjisi, dislokasyonların biriktiği (Pile-Up) yerde ilave dislokasyon hareketi olmaksızın yığılan dislokasyonların oluşturdukları gerilme neticesinde engeller önünde mikro çatlak oluşur. (ve yayılmaya başlar). Şekil 2.1

Tane sınırındaki hatalı bir yığılma çok basit bir tasarıdır. Belirli çaptaki tanede bir mikro çatlak oluşumu için birçok model tasarlamak mümkündür. Dislokasyonların yığılması ve çatlak oluşumuna ait çeşitli modeller şekil 2.2

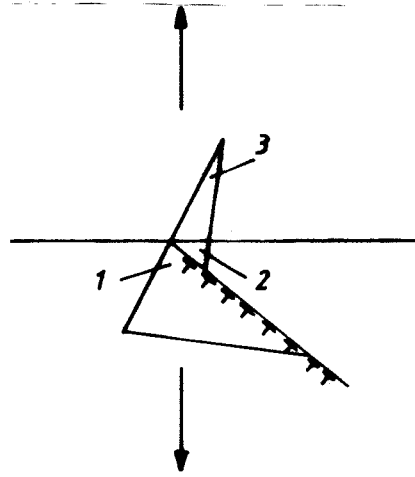
de görülmektedir.



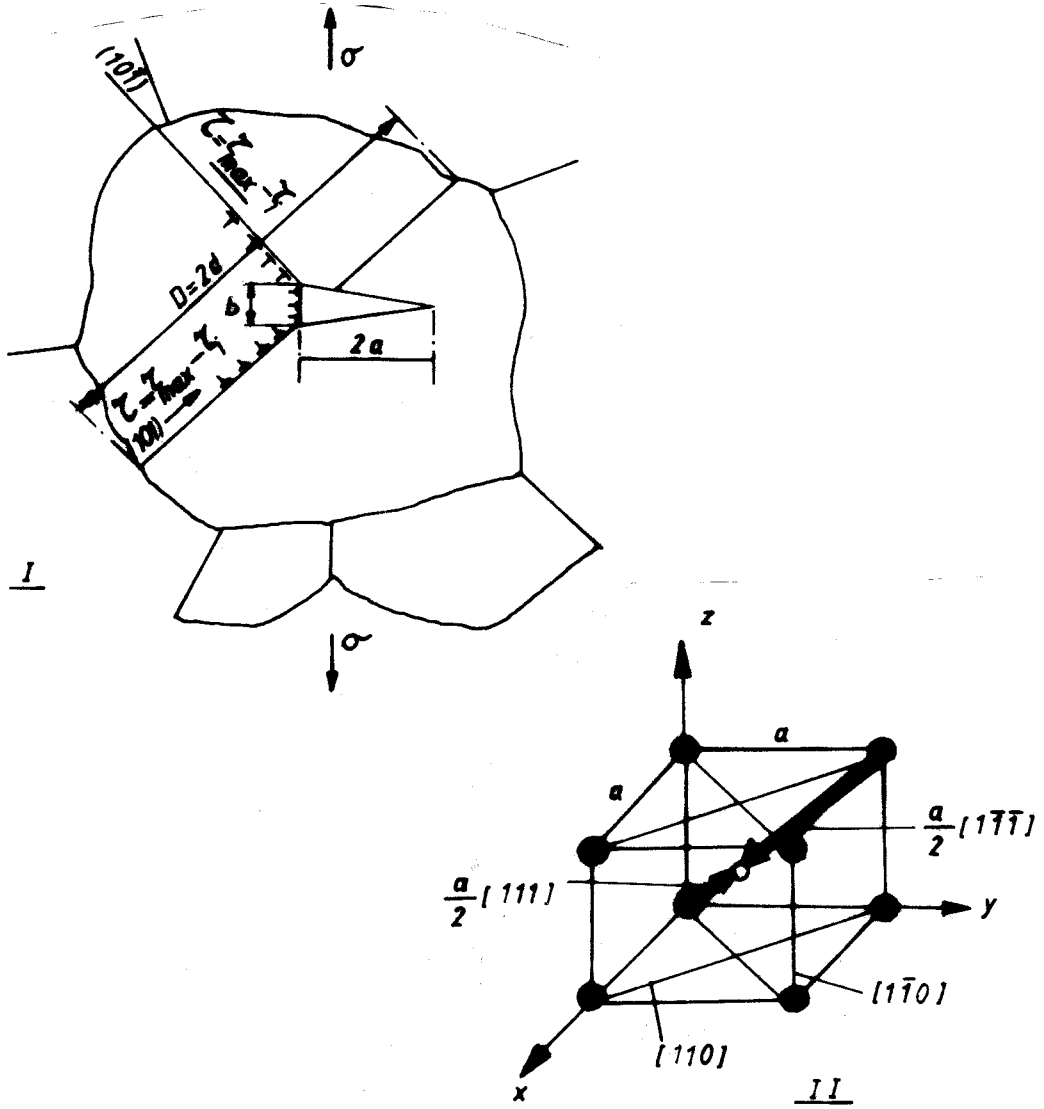
Şekil 2.1 Çatlak oluşumu.



Şekil 2.2.(a) Max. çatlak, bölgesel çeki gerilmele rinin olduğu yerlerde oluşur.



Şekil 2.2.(b) Çatlak, tabakasal yapıya sahip kristallerde görülür. HSD metaller ve Mika'da genellikle kristalografik kayma düzlemleri dayanım yönünden çok zayıftır. 2 nolu çatlak engel ile matris arasında oluşmaktadır. Tane sınırında toplanan empüriteler buraları zayıflatacağından çatlak tane sınırları boyunca yayılır. 3 nolu çatlak engelin diğer tarafında oluşmaktadır. Bu olay engel ile kayma düzlemi arasındaki yönelmenin uygun konumlarında oluşabilir. 2. faz engeli içinde'de böyle bir çatlak oluşabilir.



Şekil 2.2.(c) Bu mikro çatlak oluşum modeli ilk kez Zener (9) tarafından ortaya atılmıştır. Burada farklı kayma düzlemlerinde kayan dislokasyonlar düzlemlerin keşişmesi halinde yığılırlar ve oluşan dislokasyon hiç bir kayma düzleminde bulunmadığından kaymaz, neticede engel vazifesi görerek, burada çatlak oluşmasına neden olurlar. I no ile gösterdiğimiz şeklimizde (101) ve $(\bar{1}0\bar{1})$ kayma

düzlemlerinde hareket eden dislokasyonlar engel ile karşılaşır bir enerji kazanımından sonra (001) düzleminde n.b genişliğinde 2a uzunluğunda çatlak oluşturur. II no ile gösterdiğimiz şeklimiz ise HMK metallerde aynı olay açıklanmaya çalışılmıştır. Burada;

$$\frac{1}{2}a(111) + \frac{1}{2}a(\bar{1}\bar{1}\bar{1}) = a(100)$$

olacaktır. a(100) dislokasyonu kayma düzlemi üzerinde bulunmadığından kaymaz. Yani engel vazifesi görür.

Malzemeler yüksek deformasyon hızlarında veya düşük sıcaklıklarda deforme edilirse dislokasyonların hareketi yetersiz kalacaktır. Bu durumda ikiz dislokasyonlarının hareketi görülür. Bunların yığılması yine çatlakların oluşmasına yol açar.

Cottrell'e göre iki kayma düzleminin kesişmesi sonucu bir çatlak oluşabilir. Şekil 2.1 de kayma düzlemlerindeki gerilme bileşeni (τ) olsun. Dislokasyonların harekete geçebilmesi için gerilme bileşeni (τ) nun dislokasyonların sürtünme direnci (tane içi mukavemeti) (τ_i) yi aşması gerekir. Kaymayı oluşturacak etkili gerilme ($\tau - \tau_i$) olur.

Buna bağlı olarak şekil değiştirme oranı;

$$\gamma = \frac{\tau - \tau_i}{G_k} \quad (2.1)$$

olur. Yığılan dislokasyon n tane ise binların kayma miktarı $\propto n.b$ alınabilir. O halde kayma oranı;

$$\gamma = \frac{\alpha \cdot n \cdot b}{d} \quad (2.2)$$

olarak' da yazılabilir. Her iki denklem birbirine eşit oldu ğundan;

$$\frac{(\tau - \tau_i)}{G_k} = \frac{\alpha \cdot n \cdot b}{d}$$
$$n = \frac{(\tau - \tau_i) \cdot d}{G_k \cdot \alpha \cdot b} \quad (2.3)$$

olur. Şimdi çatlağın başlangıç durumunu düşünelim, dış kuvvet her bir dislokasyona $(\tau - \tau_i) \cdot b$ kuvveti uygular. Toplam kuvvet ise, (n adet dislokasyona uygulanan kuvvet) $(\tau - \tau_i) \cdot n \cdot b$ olacaktır.

Stroh (10) pile-up önündeki gerilim yığılmasının p lastik deformasyonla giderilemediğini göstererek kayma gerilmelerinin yanında çekme gerilmelerinde teorik mukaveme te erişebileceğini ifade etmiştir.

$$(\tau - \tau_i) \cdot n \cdot b = \sigma_{\text{teorik}} \quad (2.4)$$

$$\sigma_{\text{teorik}} = \text{Teorik çekme mukavemeti}$$

o halde;

$$(\tau - \tau_i) \cdot \left(\frac{L}{r} \right)^{1/2} = \left(\frac{E \cdot \gamma}{a_0} \right)^{1/2} \quad (2.5)$$

şeklinde yazılabilir. Bu formülde;

a_0 : Atomlar arasındaki mesafe.

E : Elastisite modülü.

L : Kayma bandı uzunluğu.

r : Pile-up 'un ucundan çatlağın oluştuğu yere kadar olan mesafe.

τ : Kayma gerilmesi.

τ_i : Dislokasyon sürtünme direnci.

γ : Yüzey enerjisi.

Bir mikro çatlağın oluşması;

$$\tau = \tau_i + \left(\frac{E \cdot r \cdot \delta}{a_0 \cdot L} \right)^{1/2} \quad (2.6)$$

ye eriştiği zaman olacaktır. Eğer, $r \approx a_0$ ve

$E \approx 2G_k$ alınırsa,

$$\tau = \tau_i + \left(\frac{2 \cdot G_k \cdot \delta}{L} \right)^{1/2} \quad (2.7)$$

ye indirgenir. Kayma bandındaki dislokasyon sayısında,

$$n.b \approx L \cdot \frac{(\tau - \tau_i)}{G_k} \quad (2.8)$$

şeklinde bu son denklem ile ifade edilebilir. (2.7) ve (2.8) denklemlerinde L 'lerin eşitliğinden,

$$(\tau - \tau_i) \cdot n.b \approx 2 \cdot \delta \quad (2.9)$$

elde edilir.

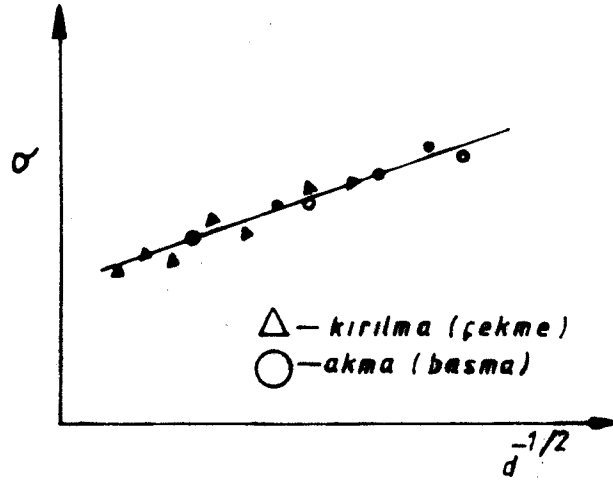
Cottrell (5) in amaçladığı bu son denklemin fiziksel izahı, tatbik edilen kayma gerilmeleri ile dislokasyonlara $n.b$ kadar yer değiştirme yaptırıldığından bir iş yapılmıştır. Bu iş, dislokasyonların sürtünme direncine karşı yapmış oldukları (+) işe eşit olduğu anda mikro çatlak oluşacaktır. Son denklem mikro çatlağın uzunluğunu içermediği için ilgi çekicidir. Mikro çatlak teşekkülünde, yalnızca kayma gerilmeleri vardır, çekme gerilmelerinin etkisi yoktur. Çekme gerilmelerinin etkisi çatlağın yayılmasında orta ya çıkar. Metallerde bir çatlağı yaymaya çalışan mekanizma çatlağı oluşturmaya çalışan mekanizmadan daha zor bir olay-

dır, oluşan bir mikro çatlak, pile-up 'taki dislokasyonlara dislokasyon kaynağından gelenler baskı yaptığı sürece plastik deformasyonla büyüyecektir.

Dislokasyonların önündeki engel tane sınırı ise oluşan mikro çatlağı komşu tane içinden yaymak hayli zordur. Çelik bir malzemede tane boyutu d 'nin çatlak yayılması ile ilişkisini, Hall-Petch (11) şu şekilde açıklamıştır.

$$\sigma_k - \sigma_i = k \cdot d^{-1/2} \quad (2.10)$$

Yarı gevrek malzemeler üzerinde yapılan denemelerde çekme deneyi neticesinde elde edilen kırılma gerilmeleri basma deneyi neticesinde elde edilen akma sınırına uygunluk sağlamışlardır. Çünkü çatlak oluşumu çeki gerilmelerine karşı çok hassastır. Şekil (2.3)



Şekil 2.3 Tane sınırının karbonlu çelikte kırılma ve akma mukavemetine etkisi.

Çekme deneyinde elde edilen kopma gerilmeleri, basma deneyinde elde edilen akma gerilmelerine eşit olması halinde d tane çapını içeren Hall-petch (11) bağıntısındaki ifade ile uyum gerçekleşmektedir.

Cottrell (5) in tane çapı d 'yi içeren denklemi ise,

$$(\zeta_i \cdot d + k')^k = G_k \cdot \gamma \cdot \beta \quad (2.11)$$

şeklindedir. Burada;

$$\beta \begin{cases} \beta_1 & : 1 \text{ Burulma için.} \\ \beta_2 & : 1/2 \text{ Çekme için.} \\ \beta_3 & : 1/3 \text{ Çentik için.} \end{cases}$$

$$\beta = \frac{\text{Kayma gerilmesi}}{\text{Nominal gerilme}}$$

ζ_i : Dislokasyon direnci.

k' : Pile-up 'tan dislokasyonların bırakılması ile ilgili parametre.

γ : ($\gamma_e + \gamma_p$) Toplam yüzey enerjisi.

Denklem (2.11) in sol tarafındaki ifade, sağ tarafındaki ifadeden küçük ise, mikro çatlak oluşabilir. Fakat büyüyemez. İfade büyük ise, kayma gerilmesi akma gerilmesine eşit olduğu zaman, mikro çatlak yayılmaya başlayacaktır.

Yüksek sürtünme direnci (ζ_i) değerlerine sahip metal sel malzemeler gevrek şekilde kırılma gösterirler. Çünkü bu malzemelerde akma mukavemetine erişilmeden teorik mukavemete erişilir. En iyi örnek seramik malzemelerdir. HMK metallerde oda sıcaklığındaki sürtünme direnci (ζ_i) değerleri yüksektir. İnce taneli metallerin sürtünme direnci (ζ_i) değerleri çok düşük sıcaklıklarda bile gevreklik yaratmayacak

değerde olabilmektedir. Bu yüzdende gevrek-sünek dönüşüm sıcaklıkları daha düşük sıcaklıklara kadar varabilir. Dönüşüm sıcaklıklarına çelik kompozisyonunun etkisi d , k' , ζ_i gibi parametrelerin etkilenmesinden dolayıdır. k' dislokasyon sayısını ifade ettiğinden, metallerin gevrek davranış göstermesinde önemli rol oynar. Yüksek k' değerlerine sahip Fe Mo gibi malzemeler, düşük k' değerlerine sahip Tantalum Columbium gibi malzemelerden daha fazla gevrek kırılmaya karşı meyillidirler.

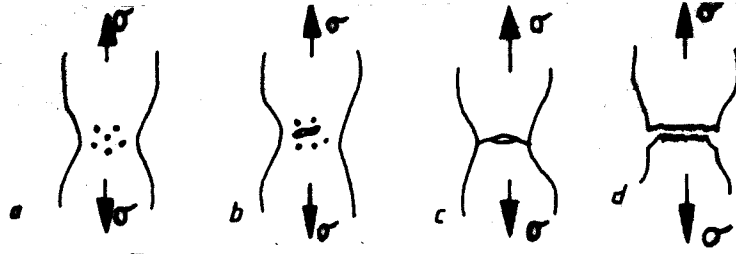
Etkili olan yüzey enerjisi γ büyük ise, gevrek kırılma önlenemez. Korrozyon ve Hidrojen gibi pek çok çevresel faktör, etkili yüzey enerjisi γ değerini düşürür.

Plastik deformasyonun yarı-gevrek kırılma olayına katkısı, kayma düzlemlerinin az veya çok olmasına ve hareketli dislokasyon sayısına bağlıdır. HMK malzemelerde kolay hareket eden dislokasyonların çoğu, curuflar tarafından engellendiği zaman gevrek bir durum doğmasına karşılık, çinko gibi sınırlı kayma düzlemine sahip metallerde ise bizzat plastik deformasyonun kendisi gevreklik yaratır.

Hernekadar denklem (2.11) de deformasyon hızının etkisi açıkça görülüyorsa da, yüksek deformasyon hızlarında (ζ_i) ve (σ_a) değerleri yüksek olmaktadır.

2.2.2. Sünek Malzemelerde Çatlak Oluşumu.

Sünek malzemelerde kırılma büyükçe bir ön plastik deformasyonla kendini belli ettiğinden tehlikeli olmayıp gevrek malzemelerdeki kırılma olayı kadar önemli değildir. YMK metaller ve yüksek sıcaklıklarda HMK ile HSD metaller bu gruba girer. Deformasyon arasında çatlak oluşumu yoktur ve ideal olarak plastik deformasyon, kristallerin bir birine göre tamamen kayıp ayrılmasına kadar devam eder. Gerçekte kırılma (kopma) olayı plastik deformasyon'un yoğunlaştığı yerlerde (büzülme bölgelerinde) oluşur.



Şekil 2.4 Sünek malzemelerde kopma safhaları.

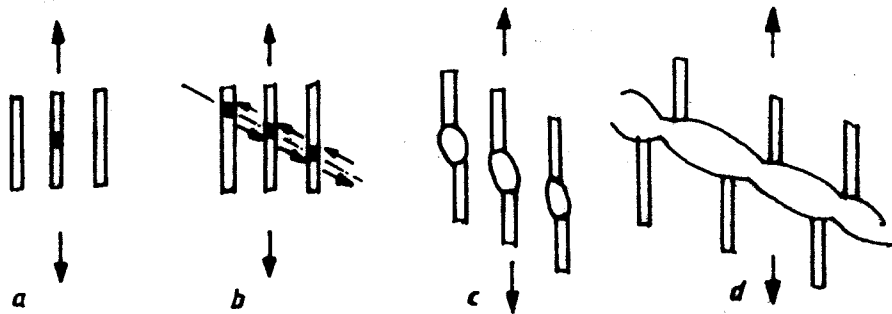
Yukarıdaki şeklimizde;

a) Malzeme yüklemeye maruz kaldığında, gerilme, akma gerilmesine eriştiği zaman malzemede 3 eksenli gerilme hali doğacak ve kesit daralacaktır. Malzeme içinde mevcut daha mukavim mikropartiküller tıpkı yarı-gevrek malzemelerde olduğu gibi buradada kırılma kaynaklarıdır. Bunların çevresinde oluşan boşluklar gerilme doğrultusuna 50° - 60° açılarında (kayma doğrultusuyla) büyüyerek merkezi çatlak oluşturur.

b) Oluşan bu çatlak daha sonra deformasyon eksenine 90° açı altında kenarlara doğru büyüyerek ve kenardan yaklaşık 45° açı yaparak kırılmaya yol açar.

c) Anlaşılacağı gibi sünek malzemelerde kırılma deformasyon esnasında oluşan boşlukların belli düzlemler (kayma düzlemleri) üzerinde birikmesi ile ve birleşmesi ile oluşur. Boşluklar arasındaki metal tıpkı sünek bir çekme numunesi gibi davranarak büzülür, (çatlağın genişlemesi.) ve içinde çatlaklar oluşur, neticede bunlar birleşerek kopma oluşur. Dolayısıyla sünek kırılmada parça yüzeyi süngeri andırır. Tabii ki % 100 saf bir sünek malzeme kopmadan evvel büzülme'yi tam olarak gerçekleştirecektir, yani ayrılma bölgesi bir nokta oluşturacak şekilde büzüldükten sonra kopar. Sünek malzemeler içindeki mevcut sert fazların şekli dağılımı sünekliliğe çok etki eder. Tabii ki bu fazların artışında sünekliliği azaltacaktır.

Lamelli perlit fazı ihtiva eden çelikte kırılma aşağıdaki şekilde oluşacaktır;



Şekil 2.5 Perlitik çelikte kırılma mekanizması.

perlitik çelikte kırılma mekanizmasını gösteren şeklimizde;

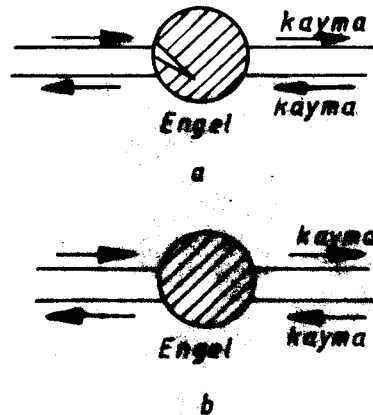
a) Çekme gerilmeleri istikametinde bulunan perlit lamellerinde hem normal hemde kayma gerilmeleri sebebiyle ilk çatlak oluşur.

b) Kayma yani plastik deformasyon (eksenine ile yaklaşık 50° açı yapıyor) diğer lamellerdede çatlak oluşturuyor.

c) Lameller arasındaki bölgede kayma devam ettiği için gerilme (σ) arttığı için çatlaklar büyüyor.

d) Daha sonra çatlaklar birleşerek kırılma meydana geliyor.

Eğer perlit lamelleri yerine yapı küresel olsa idi karbürlerin kırılması çok daha zor olurdu. Neticede sünekliğin (düktilitenin) artacağı tabiidir. Matrisle bu sert küresel faz arasındaki sınırın azalması dislokasyonların çarpaz kayma işlemlerini kolaylaştıracaktır. Eğer ikinci faz (sert faz) bu şekilde yani küresel dağılmış ise kırılma iki şekilde oluşur.

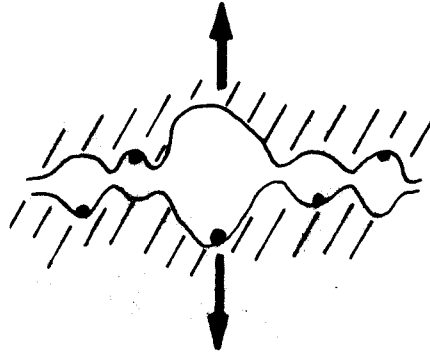


Şekil 2.6 Sünek malzemelerde küresel ikinci faz dolayısıyla kırılma mekanizması.

Şekil 2.6 'da izlenerek;

a) Bu durumda çatlak engel içinde oluşmaktadır. Burada engel önünde yığılan dislokasyonların oluşturduğu gerilme engeli çatlatmaktadır.

b) Matris ile engel arasındaki sınır yüzeyin zayıf olması dolayısıyla boşluk meydana geliyor. (empüritelerin segregasyonu bu olaya sebebiyet verebilir.) Bu şekilde oluşan boşluklar büyüyerek birbirleriyle birleşir ve neticede çatlak oluşur. Daha evvelce açıklandığı gibi kırık yüzeyi sünger biçiminde yani birçok boşluklarla dolu bir yüzey halinde kendini göstermektedir. Şekil 2.7



Şekil 2.7 Küresel (yuvarlak) sert fazlar dolayısıyla kırık yüzeyi oluşumu.

2.2.3. Çatlağın Yayılması.

Gevrek kırılma çok hızlı çatlak yayılması olmadıkça gerçekleşmez. Çatlak hızının analizi ile ilk uğraşanlar arasında tırmacılardan biriside Mott (4) dir. Çatlağın kararsız bir şekilde yayılması esnasında bırakılan elastik deformasyon enerjisi zorlanan kuvvettir. Bu kuvvet, oluşan yeni yüzeylerin yüzey enerjisi ve malzemenin hızla yer değişiminden ortaya çıkan kinetik enerji ile dengelenebilir.

Çatlak hızı;

$$V' = k_1 \cdot V_0 \cdot \left(1 - \frac{C_G}{a}\right) \quad (2.12)$$

ile ifade edilir. Burada,

k_1 : sbt.

a : Gerçek çatlak uzunluğu.

V_0 : $\left(\frac{E}{\rho}\right)^{1/2}$ Malzemedeki ses hızı.

C_G : Griffith çatlak uzunluğu

Eğer $a > C_G$ ise $v' \approx k_1 \cdot v_0$ olur.

Düzlem-gerilme şartlarında $k_1 \approx 0,38$ bulunmuştur.

Tablo 1. Gevrek kırılma tipinde çatlak yayılma hızları.

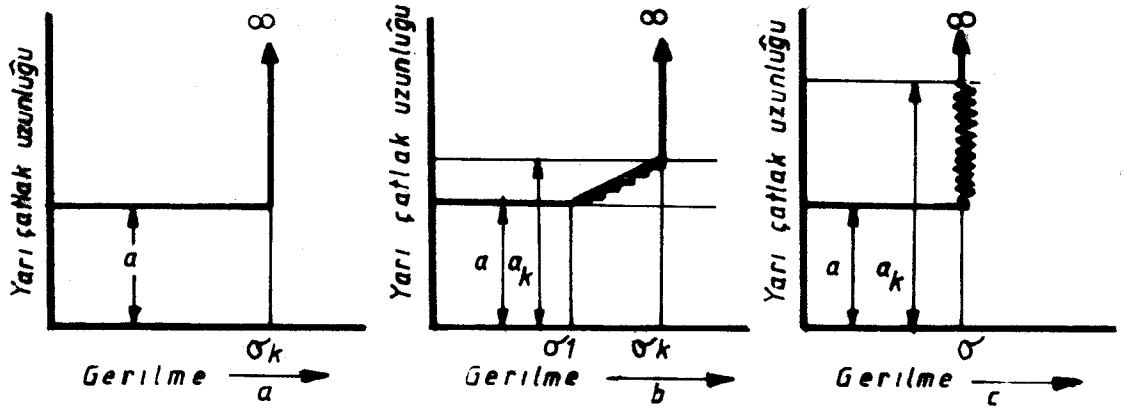
Malzeme	Gözlenen hızlar	v/v_0
Çelik	6,000 ft/s	0,36
Erimiş Quartz	7,200 "	0,42
Lityum Florid	6,500 "	0,31

Tablo 1 de deneysel çatlak hızı değerleri vardır. Sınırlı çatlak yayılma hızı;

$$V' = 0,38 \cdot V_0 = 0,38 \cdot \left(\frac{E}{\rho} \right)^{1/2} \quad (2.13)$$

formülü ile verilir.

yarı çatlak uzunluğu (a) olan bir mikro çatlağın kararsız yayılması üç şekilde olmaktadır.



Şekil 2.8 Çatlak büyümesinin üç şekli.

şeklimizde;

a) Gittikçe artan gerilme altında çatlağın önce sbt. uzunlukta sonrada kararsız şekilde yayılması.

Dönüşüm sıcaklığının altında test edilen malzemelerde, tatbik edilen gerilme, kırılma gerilmesine eriştiğinde çatlak kararsız bir şekilde yayılarak kırılma meydana gelecektir.

b) Gittikçe artan gerilme altında yavaş çatlak büyümesi. (Çatlağın kararlı yayılması)

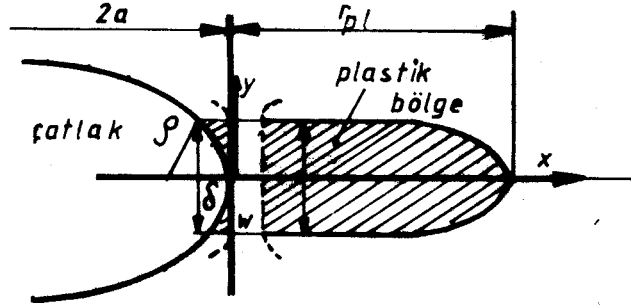
Malzeme (a)şıkındaki malzemeden daha az gevrek ise oluşan mikroçatlak kararsız bir şekilde yayılmaz.Çatlak bir

seri boşluklarla oluşur, bu boşluklar plastik deformasyonla birleşirler. Çatlağın kararlı büyümesi (σ_1) de başlar, kritik uzunluğa ve kritik gerilmeye kadar büyümesini seri halde sıçramalarla sürdürür. (σ_k) kırılma gerilmesine eriştiği zaman kararsız bir şekilde yayılır. Dönüşüm sıcaklığının daha alt taraflarında kırılmayı sünek-lifli başlatıp kararlı büyüttükten sonra, kararsız bir tarzda gevrek-ayrılma düzlemleri olarak oluşan kırılma şekilleri pek yaygındır.

c) Sabit gerilim altında yavaş çatlak büyümesi.

Metal malzemeler korozyona veya değişken yüklemelere karşı maruz kaldıklarında, bir zaman periyodu içinde sabit gerilmeler altında yavaş yavaş büyüyen çatlak yayılması meydana gelebilir.

Mühendislik malzemelerinde (a) şeklinde verilen çatlak yayılma tarzı, tam gevrek malzemeler için geçerlidir, ve analitik ifadeleri Lineer-Elastik kırılma mekaniğinde mevcuttur. (b) deki çatlak yayılma şekli ise çok önemlidir. Çatlak ucunda plastik bölge olduğundan, çatlak önce kademeli olarak büyür sonra ani yayılmaya başlar. Bu olay Elastik-Plastik kırılma mekaniğinde "Crack Opening Displacement" kısaca (COD) görüşü olarak açıklanır.



Şekil 2.9 Çatlak yayılmasında COD modeli.

Yukarıdaki şeklimizi incelersek, çatlakın önünde (l) uzunluğunda (w) genişliğinde bir dizi minyatür çekme çubukları olduğunu varsayalım. Çubukların (l) boyu, çatlakın kök yarıçapı (ρ) ile ilgilidir, (w) genişliği ise, sünekliliği kontrol eden mikroyapısal faktörlerle ilişkisi vardır. Bu modelde çatlakın büyümesi, komşu çubuk kırıldığı zaman başlıyacaktır. Çatlak ucuna yakın ilk çubuğun kırılmasını diğerleri izliyecektir. Bu olayda çubuklardan herbiri direkt olarak kırılmadığı zaman yavaş çatlak büyümesi meydana gelir. Çatlak yayılması esnasında gerilme düşmeye başladıysa çatlak kararsız şekilde yayılıyor demektir.

Kullanılan malzemenin kalınlığı biraz fazla ise, I nolu çatlak açılma mod'u (Şekil 2.10) ile zorlanıyorsa, çatlak ucundaki plastik deformasyon (δ), çatlak kök ucu çapı (2ρ) 'ndaki bir band ile sınırlanır.

Çubuk uzaması;

$$\delta = \epsilon \cdot l = \epsilon \cdot (2\rho)$$

olur.

Kararsız çatlak yayılması, kritik değere eriştiğinde, çatlak ucuna yakın çubuklardaki uzama (ϵ), numunenin çekme sünekliliği (ϵ_f) ye eriştiğinde başlayacaktır. Buna göre;

$$\delta_c = \epsilon_f \cdot (2l)$$

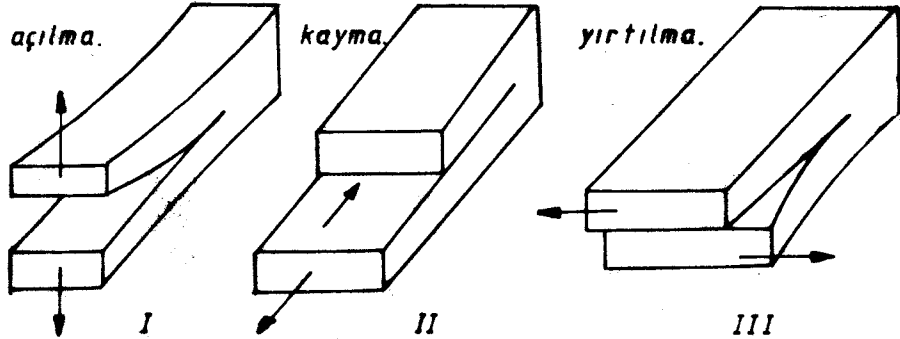
olur. Kullanılan malzemenin kalınlığı epey ince bir malzeme ise, aynı çatlak açılma mod'unda çatlak ucundaki deformasyonlar, kalınlığın (B) bütünü içinde dağılırlar. O zaman;

$$\delta = \epsilon \cdot l = \epsilon \cdot B$$

olur. Kararsız çatlak yayılması, yine (ϵ), (ϵ_f) 'e eriştiği zaman olacaktır. Ve;

$$\delta_c = \epsilon_f \cdot B$$

olur. Çatlak yüzeylerinin yerdeğişimleri ölçülenebiliyorsa bulunan değerler COD ile ilişkisi bulunabilir. O zaman düşük ve orta mukavemetteki malzemelerin kırılmaya karşı tokluk değerleri önceden bilinebilir.



I. tip en çok görülen çatlak şeklidir. II. ve III. tipler çatlak yüzeylerinin birbirleri üzerinde kayması şeklindedir ve hareketleri vida ile kenar dislokasyonlarının hareketine benzemektedir.

Şekil 2.10 Çatlak açılma mod'ları.

Çatlağın yayılma hızında, Mott(4)'ün ses hızı olarak verdiği, $v_o = \sqrt{\frac{E}{\rho_y}}$ değerinin, tek boyutlu ortamda boyuna dalga yayılma hızı olduğunu biliyoruz. Aynı olay kayma modülü ile ifade edilerek, $v_e = \sqrt{\frac{G_k}{\rho_y}}$ ile bu kez, tek boyutlu ortamda enine dalga yayılma hızı'nı ifade etmiş oluruz. Bu iki hız yönleri birbirine dik olup, çatlak açılması olayında etkili olmaktadır. Buradan 2.12 ve 2.13 denklemlerindeki (v') değeri ile uygun; (J.P.Berry(12))

$$v' = \sqrt{\frac{2\pi}{c'}} \sqrt{\frac{E}{\rho_y}} = \sqrt{\frac{G_k}{\rho_y}} \sqrt{\frac{4\pi(1-\nu^2)}{c'}} \quad (2.14)$$

şeklinde çatlak yayılma hızı olarak belirlenecektir. Burada (G_k) kayma modülü, (E) elastisite modülü, (c') sbt. bir değer, (ρ_y) malzemenin yoğunluğu olarak verilmişlerdir. Bu iki hız değeri, bir çatlakta iki yüzey oluşturmak için gerekli iş ifadesi, $W' = 2.2.a.\delta.B$ veya çatlağı oluşturmaya çalışan kuvvet, $G = (\sigma^2.\pi.a/E).(1-\nu^2)$ ile bağlıdır ve neticede; (v_e hızı)

$$v' = 0,6 . v_e \cong 0,6 . \sqrt{\frac{G_k}{\rho_y}}$$

şeklinde verilmiştir. Dolayısıyla enine ve boyuna dalga yayılma hızları ile çatlak yayılma hızı arasında;

$$v' \cong 0,38 . v_o \cong 0,6 . v_e \quad (2.15)$$

bağıntısı yazılabilir.

BÖLÜM 3

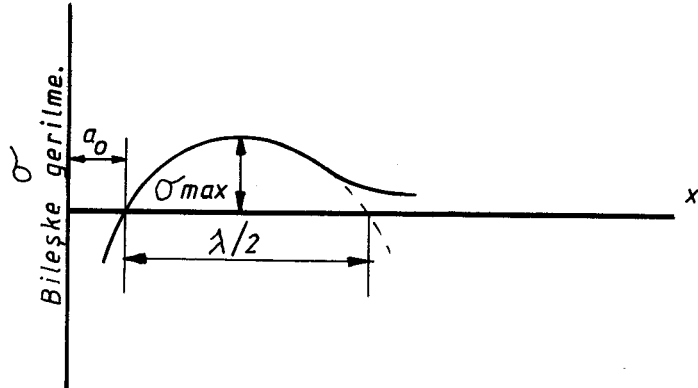
LİNEER-ELASTİK KIRILMA MEKANİĞİ

3.1 Giriş.

Malzemenin zorlanması yalnızca lineer-elastik sınırlar içerisinde gerçekleştiği ve plastik şekil değişimine karşı tamamen ilgisiz olduğu kabul edilir.

3.2 Lineer-Elastik Metallerde Teorik Mukavemet.

Metallerin dayanımını atomlar arası bağ kuvvetleri belirler. Aşağıdaki şeklimizde atomlar arası mesafenin bağ kuvvetine etkisi görülmektedir.



Şekil 3.1 Bileşke gerilmenin mesafeye değişimi.

Malzeme çekme yüküne tabi tutulduğunda atomlar arası (x) mesafesi arttıkça, itici kuvvetler çekici kuvvetlere nazaran hızla düşer, aradaki fark çekme kuvveti ile karşılanır. (x) mesafesi arttıkça itici kuvvetler ihmal edilecek kadar azalır ve böylece şekildeki max. noktaya ulaşılır. Bu değer malzemenin teorik mukavemetidir. Bu eğriyi sinüs eğrisi haline çevirirsek;

$$\sigma = \sigma_{max} \cdot \sin\left(\frac{2\pi x}{\lambda}\right) \quad (3.1)$$

Ufak deformasyonlar için $\sin(x) = x$ alınabildiğinden;

$$\sigma = \sigma_{max} \cdot \left(\frac{2\pi x}{\lambda}\right) \quad (3.2)$$

Eğer malzeme Lineer-Elastik malzeme ise (gevrek malzeme, plastik deformasyon göstermiyor.)

$$\sigma = E \cdot \epsilon = \frac{E \cdot x}{a_0} \quad (3.3)$$

Bu son iki denklemden;

$$\sigma_{max} = \frac{\lambda}{2\pi} \cdot \frac{E}{a_0} \quad (3.4)$$

elde edilir. Malzeme gevrek olduğu için kuvvetin yapacağı iş çatlak oluşturmak, yani 2 yüzey oluşturmaktır. Bu yüzeylerin birim alanının sahip olduğu enerjiye yüzey enerjisi (δ) denir. O halde malzemeyi kırmak için yapılan iş şeklimizdeki alana eşittir;

$$U_0 = \int_0^{\lambda/2} \sigma_{max} \cdot \sin\left(\frac{2\pi x}{\lambda}\right) dx = \frac{\lambda \cdot \sigma_{max}}{\pi} \quad (3.5)$$

Bu enerji birim yüzey için hesaplanmış olduğundan, birim yü

zeyin yüzey enerjisine (γ) eşittir.

$$\frac{\lambda \cdot \sigma_{max}}{\pi} = 2\gamma \quad (3.6)$$

veya;

$$\lambda = \frac{2 \cdot \pi \cdot \gamma}{\sigma_{max}} \quad (3.7)$$

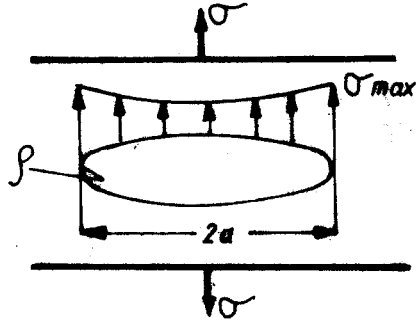
Bu (3.7) ve (3.4) nolu denklemlerden;

$$\sigma_{max} = \left(\frac{E \cdot \gamma}{a_0} \right)^{1/2} \quad (3.8)$$

elde edilir. Bağlıntıdaki parametrelerin değerlerini yerine koyarsak (çelik için);

$$\begin{aligned} E & : 2,1 \cdot 10^6 \text{ kp/cm}^2 \\ a_0 & : 2,5 \cdot 10^{-8} \text{ cm} \\ \gamma & : 10^{-3} \text{ kp.cm/cm}^2 \end{aligned}$$

$\sigma_{max} = 2,7 \cdot 10^5 \text{ kp/cm}^2$ bulunur. Veya elastik modül cinsinden $\sigma_{max} \approx E/7$ elde edilir. Daha hassas yapılan hesaplamalar neticesinde σ_{max} , $E/4 \div E/15$ arasında değişir. Ortalama olarak $E/10$ alınabilir. Halbuki deneysel neticeler bu değerden 10, 1000 misli daha düşüktür. Sadece içerisinde kusur bulundurmayan Whiskers kristali bu neticeye yaklaşır. Lineer-Elastik (gevrek) malzemelerde dislokasyonlar hareketsiz olduğundan (plastik deformasyon yok) mukavemetin düşmesine, malzeme içindeki çatlakların, yarıkların sebep olduğu neticesine varılabilir. Çünkü çatlak çevarında ki gerilmeler, bilindiği gibi, diğer bölgelere kıyasla çatlak için şekline göre daha fazla olmaktadır.



Şekil 3.2 Eliptik Çatlak.

Yukarıdaki şeklimizde, sonsuz geniş bir levhadaki 2a boyundaki eliptik çatlak'ta, çatlak ucunun eğrilik yarı çapı ρ olsun. Çatlak ucundaki max. gerilme;

$$\sigma_{max} = \sigma \left[1 + 2 \left(\frac{a}{\rho} \right)^{1/2} \right] \approx 2\sigma \left(\frac{a}{\rho} \right)^{1/2} \quad (3.9)$$

Denklemdende görüleceği gibi σ_{max} . ρ ufaldıkça σ ya göre dahada büyüyecektir. Yani σ henüz küçük değerlerde iken σ_{max} . teorik değere ulaşabilecektir. σ gerilme sine kırılma gerilmesi σ_k diyecek olursak (çünkü malzeme kırıldığında elde ettiğimiz makro gerilme değeri bu gerilmedir.) (3.8) ve (3.9) nolu denklemlerimizden;

$$\sigma_k \approx \left(\frac{E \cdot \delta \cdot \rho}{a \cdot 4 \cdot a_0} \right)^{1/2} \quad (3.10)$$

elde edilir. En keskin çatlak ucu eğrilik yarı çapı olarak $\rho \approx a_0$ yazabiliriz. O halde;

$$\sigma_k \approx \left(\frac{E \cdot \delta}{4 \cdot a} \right)^{1/2} \quad (3.11)$$

olur.

Denklemdede;

$$E : 2,1 \cdot 10^6 \text{ kp/cm}^2$$

$$\gamma : 10^3 \text{ kp.cm/cm}^2$$

$$a_0 : 2,5 \cdot 10^{-8} \text{ cm}$$

ve çatlak uzunluğunu;

$$a : 10^4 \cdot a_0 : 2,5 \cdot 10^{-4} \text{ cm}$$

olarak kabul edersek;

$$\sigma_k = (1,45 \cdot 10^3 \text{ kp/cm}^2) = \frac{E}{1450} \quad (3.12)$$

bulunur. Görüldüğü gibi gevrek malzemelerde çok küçük bir çatlak malzemenin mukavemetini çok fazla düşürmektedir.

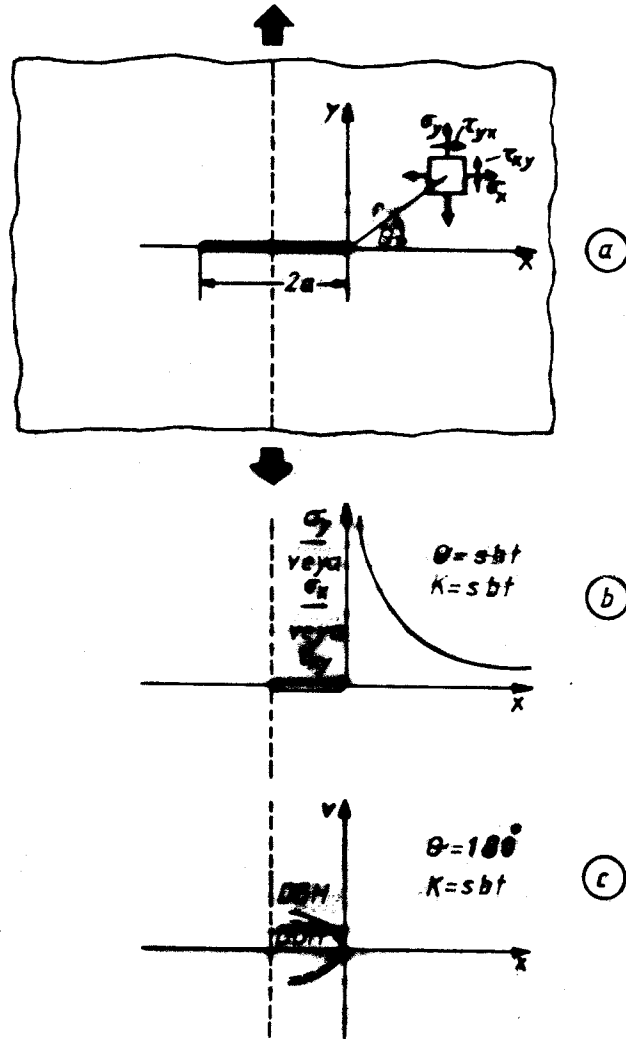
3.3 Düzlem Deformasyon-Düzlem Gerilme

Kalınlığı fazla olan malzemelerde düzlemsel deformasyona uğrayan bölgeler fazla olacaktır. Bu halde çatlak uçundaki gerilmelerin yüzeye gidildikçe azalacağı ve tam yüzeyde ise sıfır olacağı kabul edilmektedir. Dolayısıyla kalınlık yönündeki deformasyonun sıfır olduğu belirlenmiş ve bu durumda malzemedeki kırılma olayının "Gevrek kırılma şeklinde" oluşacağı gözlenmiştir. Tüm bu halleri içeren duruma "Düzlem deformasyon hali" adı verilmektedir.

Kalınlığı ince numunelerde ise çatlak civarındaki plastik bölge düzlem gerilme halinin ağır basması sebebiyle daha büyüyecek ve kırılma plastik deformasyon yüzünden engellenecektir. İnce levhaların düzlemsel yüklenmelerinde kalınlık istikametindeki gerilmelerin ihmal edilecek kadar küçük olduğuda kabul edilmektedir. Malzemedeki kırılma olayının ise "Plastik deformasyon sonucu" olacağı, gözlemlerle tespit edilmiştir. Bu açıklamaları içeren durumda "Düzlem gerilme hali" adı verilir.

3.4 Lineer-Elastik Malzemelerde Çatlak Ucundaki Gerilim Dağılımı ve Gerilme Şiddeti Faktörü.

Lineer-elastik malzemede zorlanmanın plastik şekil değişiminden bağımsız olduğu kabul edilir.



Şekil 3.3 Çatlak ucundaki gerilmeler.

Şeklimizde (B) kalınlığında, sonsuz genişlikteki bir yüzey içerisinde (2a) uzunluğunda çatlak mevcut. Çatlak ucu eğrilik yarıçapı sıfır kabul edilmiştir. (x) ve (y) koordinat eksenlerinde çatlak ucundan (θ) açısı ile (r) kadar uzaklık taki bir noktada gerilme dağılımını düşünelim. Numunenin kalınlığı, çatlak ucunun durumu ve (r) mesafesi, çatlak ucundaki çok eksenli gerilmelerin değişimiyle yakından ilgili - dir. Polar koordinatlarda çatlak ucundan (θ) açısıyla (r) kadar uzaklıktaki mesafeyle gösterilen noktada, r' nin;

$$0 < r \leq a$$

değerlerinde, noktadaki gerilme bileşenleri,

DDH için;

$$\sigma_x = \frac{\sigma \sqrt{\pi a}}{\sqrt{2\pi r}} \cos \frac{\theta}{2} \left[1 - \sin \frac{\theta}{2} \sin \frac{3\theta}{2} \right] \quad (3.13)$$

$$\sigma_y = \frac{\sigma \sqrt{\pi a}}{\sqrt{2\pi r}} \cos \frac{\theta}{2} \left[1 + \sin \frac{\theta}{2} \sin \frac{3\theta}{2} \right] \quad (3.14)$$

$$\sigma_z = \nu (\sigma_x + \sigma_y) \quad (3.15)$$

$$\tau_{xy} = \frac{\sigma \sqrt{\pi a}}{\sqrt{2\pi r}} \cos \frac{\theta}{2} \sin \frac{\theta}{2} \cos \frac{3\theta}{2} \quad (3.16)$$

$$\tau_{xz} = \tau_{yz} = 0 \quad (3.17)$$

DGH için;

$$\sigma_x = DDH \text{ gibi.} \quad (3.18)$$

$$\sigma_y = DDH \text{ gibi.} \quad (3.19)$$

$$\sigma_z = 0 \quad (3.20)$$

$$\tau_{xy} = DDH \text{ gibi.} \quad (3.21)$$

$$\tau_{xz} = \tau_{yz} = 0 \quad (3.22)$$

Formüllerdeki ($\sqrt{}$) önüne uzama sayısı' dir.

Çatlak ucu gerilme bileşenlerinin tümü ile bağıntılıdır. Gerilme bileşenlerinin incelenmesi sonucunda, (r) ve (0) dan bağımsız bir büyüklük olan;

$$K = \sigma \sqrt{\pi a} \quad (3.23)$$

(K) nin birimi ($\text{kp.mm}^{-3/2}$) dir,

ve "Kırılma şiddeti faktörü" olarak veya kısaca;

"Kırılma şiddeti" olarak tanınır.

Çatlak ucundaki gerilme dağılımlarını şekil 3.3 (b) ve (c) de görmekteyiz. (xz) düzleminde ($x > 0$) veyahut ($r > \theta$) ile ($\theta = 0^\circ$) için $\gamma_{xy} = 0$ dir. σ_x ve σ_y gerilmeleri şekil 3.3 (a) dan;
$$\sigma_x = \sigma_y = \sigma \left(\frac{a}{2r} \right)^{1/2}$$
 olduğu görülür. Çekme gerilmelerinin tesiri altında (U) ve (V) yer değişim (deformasyon) değerleri, çatlak ucunun (x) ve (y) doğrultusu üzerinde;

DDH

$$V = \frac{K(1+\nu^2)}{E} \sqrt{\frac{r}{2\pi}} \left(\sin \frac{\theta}{2} [4 - 4\nu^2 - 2 \cos \frac{2\theta}{2}] \right) \quad (3.24)$$

$$U = \frac{K(1+\nu^2)}{E} \sqrt{\frac{r}{2\pi}} \left(\cos \frac{\theta}{2} [2 - 4\nu^2 + 2 \sin \frac{2\theta}{2}] \right) \quad (3.25)$$

DGH

$$V = \frac{K(1+\nu^2)}{E} \sqrt{\frac{r}{2\pi}} \left(\sin \frac{\theta}{2} \left[\frac{3-\nu^2}{1+\nu^2} + 1 - 2 \cos \frac{2\theta}{2} \right] \right) \quad (3.26)$$

$$U = \frac{K(1+\nu^2)}{E} \sqrt{\frac{r}{2\pi}} \left(\cos \frac{\theta}{2} \left[\frac{3-\nu^2}{1+\nu^2} - 1 + 2 \sin \frac{2\theta}{2} \right] \right) \quad (3.27)$$

olarak verilirler. Formüllerde;

E : Elastiklik modülü.

θ : $\pm \pi$ için,

U : 0

ve çatlak ucu yer değişiminin (y) doğrultusundaki hesabında

ise;

DDH

$$V(r) = \frac{K}{E} (1 - \nu^2) \sqrt{\frac{8r}{\pi}} \quad (3.28)$$

DGH

$$V(r) = \frac{K}{E} \sqrt{\frac{8r}{\pi}} \quad (3.29)$$

Eğer $(r \ll a)$ ise, şekil 3.3 (c) de görüldüğü gibi çatlak açıklığı (V), Kırılma şiddeti faktörü (K) ile parabolik orantılıdır.

Numune kalınlığı B, gerilme σ ve Elastik enerji U_{el} ile gösterilirse, gerilme tesiriyle numunede (2a) uzunluğun da bir çatlak oluşacaktır. Bu;

DDH

$$U_{el} = \frac{\pi \sigma^2 a^2}{E} (1 - \nu^2) B \quad (3.30)$$

DGH

$$U_{el} = \frac{\pi \sigma^2 a^2}{E} B \quad (3.31)$$

Bu şekilde serbest kalan enerji ifade edilmiş olacaktır.

Deney numuneleri boyutlarını belirli ölçüler kabul ederek şekil 3.3 'e uyarak (2a) uzunluğundaki çatlak tipi için Kırılma şiddeti faktörünü bulmaya çalıştık. Oysa değişik çatlak tipleriyle de karşılaşmak mümkündür. Bu durumda (şimdiye kadar incelenen esaslar dahilinde olması şartıyla) Kırılma ve deformasyon aynı (3.24 ve 3.28 denklemleri gibi) olacak şekilde alınarak, bu olayı yaratan gerilme değeri için gerekli gerilme bileşenlerinin çatlak oluşturmak için (r) ve (θ) arasında geometrik bağımlılıklar kurulup, yeni bağıntılar çıkarılır. Denklem 3.13 den 3.17 ye kadar olan durumlar ve denklem 3.24 den 3.29 a kadar olan durumlar eğer yalnızca denklem 3.23 ifadesine göre açıklanacak olursa, neticede bulunacak (K) Kırılma şiddeti faktörünün sonlu büyüklükteki malzemelere ve diğer başka çatlak geometrilerinde uyabilmesi gerekir. (Eğer herhangi bir çatlak şekli ve parça geometrisi için (K) bulunursa, daha evvelce elde edilmiş bağıntılarda kullanılabilir.)

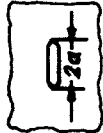
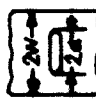


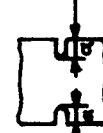
Buna göre, değişik çatlak tiplerininide ihtiva eden;

$$K = \sigma \sqrt{a} \gamma \quad (3.32)$$

ifadesi yazılacaktır. Burada (K) faktörü, tatbik edilen yük malzeme ve çatlak geometrisine bağımlı bir değerdir. Formüldeki (Y) ifadesi ise, çatlak tiplerinin durumuna göre ve çatlak geometrisine bağımlı bir düzeltme katsayısı olarak belirlenir.

Aşağıdaki şekilde değişik çatlak tipleri için Kırılma şiddeti faktörü (K) değerleri verilmiştir.

Yazan bölümünde parantez içindeki rakamlar [1] nolu kaynakta verilmiştir.

TİP	ÇATLAK DÜZENLEME ŞEKLİ	GERİLME ŞİDDETİ FAKTÖRÜ (K)	$Y/\sqrt{\pi}$	YAZAN
Sonsuz genişlikteki levhada çatlak		$K = \sigma_h \sqrt{\pi a}$	1	
Sonlu sınırlanmış levhadaki çatlak		$K = \sigma_h \sqrt{\pi a} \sqrt{\frac{2W}{\pi a} \operatorname{tg} \frac{\pi a}{2W}}$ $K = \sigma_h \sqrt{\pi a} \sqrt{\frac{2W}{\pi a} \operatorname{tg} \frac{\pi a}{2W}} f \left(\frac{a}{W} \right)$	$\sqrt{\frac{2W}{\pi a} \operatorname{tg} \frac{\pi a}{2W}}$ $\sqrt{\frac{2W}{\pi a} \operatorname{tg} \frac{\pi a}{2W}} f \left(\frac{a}{W} \right)$	(10) (11)
Sonsuz genişlikteki levhada kenar çatlaklı		$K = 1,12 \sigma_h \sqrt{\pi a}$	1,12	(12)
Sonlu sınırlanmış levhada kenar çatlaklı		$K = \sigma_h \sqrt{\pi a} \sqrt{\frac{2W}{\pi a} \operatorname{tg} \frac{\pi a}{2W}} g \left(\frac{a}{W} \right)$ $K = 1,1 \sigma_h \sqrt{\pi a}$	$\sqrt{\frac{2W}{\pi a} \operatorname{tg} \frac{\pi a}{2W}} g \left(\frac{a}{W} \right)$ 1,1	(13) (14) (8)
Sonlu sınırlanmış levhada kenar çatlakları		$K = \sigma \sqrt{\pi a} \sqrt{\frac{2W}{\pi a} \operatorname{tg} \frac{\pi a}{2W}} g \left(\frac{a}{W} \right)$ $K = \sigma \sqrt{\pi a} \sqrt{\frac{2W}{\pi a} \operatorname{tg} \frac{\pi a}{2W}} 0,15 \operatorname{sn} \frac{\pi a}{W}$	$\sqrt{\frac{2W}{\pi a} \operatorname{tg} \frac{\pi a}{2W}} g \left(\frac{a}{W} \right)$ $\sqrt{\frac{2W}{\pi a} \operatorname{tg} \frac{\pi a}{2W}} 0,15 \operatorname{sn} \frac{\pi a}{W}$	(15) (6)

Şekil 3.4 Değişik çatlak tipleri için (K) değerleri.

Şekil 3.4 'te görülen değişik çatlak tipleri için verilen (K) değerlerine bağımlı olarak değişim gösteren $(Y/\sqrt{\pi})$ değerleride verilmiştir. Bu;

$$\frac{Y}{\sqrt{\pi}} = \sqrt{\frac{2W}{\pi a} \operatorname{tg} \frac{\pi a}{2W}} \quad (3.33)$$

şeklinde ifade edilmektedir. Formülde (a) yarım çatlak uzunluğu, (W) numune genişliği olarak verilip, bunların değişimleriyle $(Y/\sqrt{\pi})$ değerleride değişiklik gösterecektir. Malzemedeki çatlağın incelenmesi ve durumuyla ilgili karar verilmesine yardımcı olması açısından $(Y/\sqrt{\pi})$ ifadesi önemlidir. Buradan, (Y) fonksiyonu (a) ve (W) 'ye bağımlı olarak yaklaşık hesaplamayla,

$$Y = C_1 + C_2 \left(\frac{a}{W}\right) + C_3 \left(\frac{a}{W}\right)^2 + C_4 \left(\frac{a}{W}\right)^3 + \dots \quad (3.34)$$

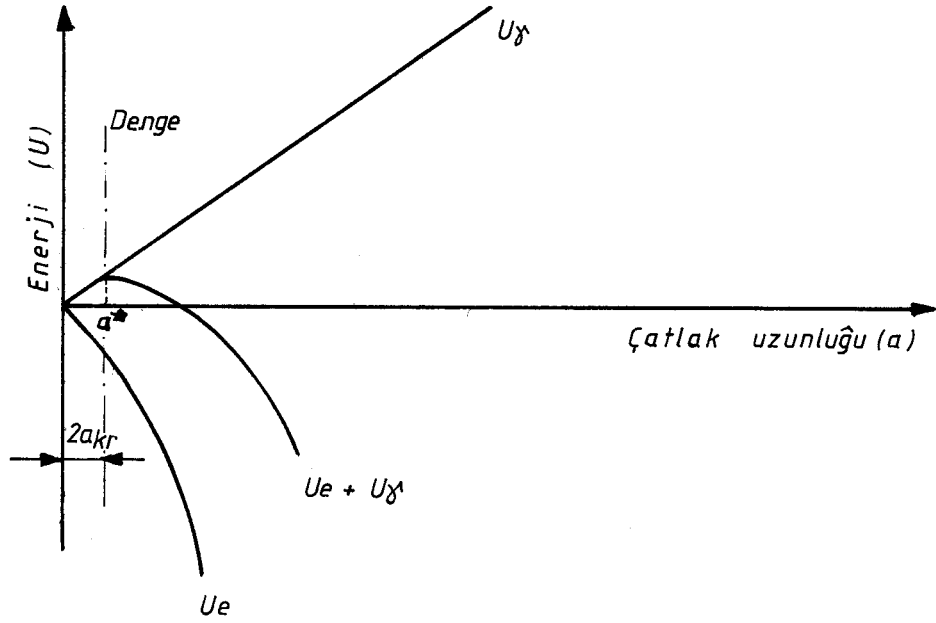
şeklini alacaktır. Bulunan bu değer, tecrübeler ile sıhhatli olmayan ölçümler neticesinde tespit edilmiştir.

3.5 Griffith Teorisi (1)

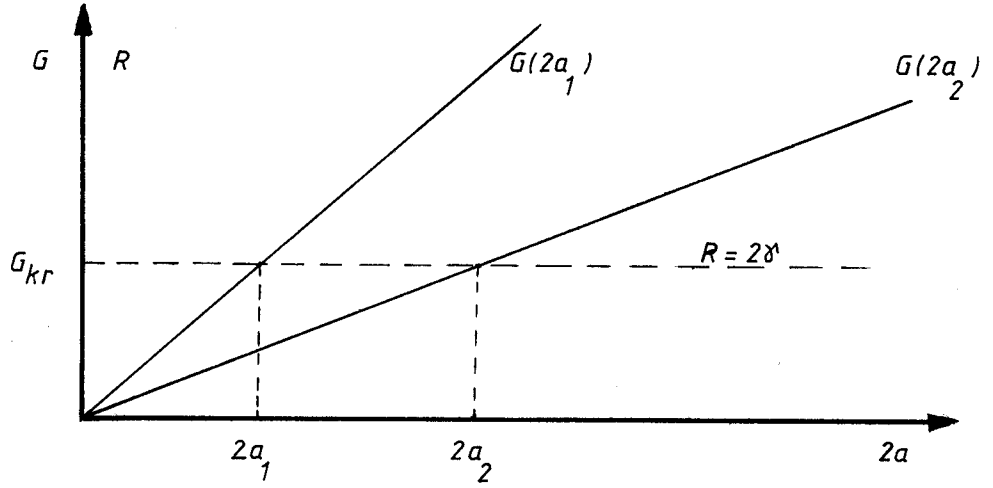
Griffith'e göre lineer-elastik bir malzeme yoğun ince çatlaklar ihtiva etmekte ve bunlar çatlak uçlarında yeterli büyüklükte gerilme yığılmalarına neden olmaktadır. Bu durumda, çatlak ucundaki gerilmeler (σ_{max}) teorik mukavemete çabucak erişirler ve lokal olarak çatlak yayılmaları başlar. Yayılan çatlağın yüzey enerjisinde artma meydana gelir. Artan bu enerjinin kaynağı, çatlak yayılırken bırakılan elastik deformasyon enerjisidir. Griffith bir çatlağın yayılmaya başladığı anı; "Elastik deformasyon enerjisindeki azalma, yeni çatlak yüzeyi oluşturmak için gereken enerjiye eşit olduğu anda yayılmaya başlayacaktır" şeklinde ifade etmiştir.

Çatlak oluşumu ve yayılması esnasında enerji dönüşümleri olmaktadır. Griffith'in ifadelerinde'de görüleceği gibi yük tatbiki malzemede bir iş yapar. Yük tatbiki ile malzemede depolanan enerji (U_e) olsun. Çatlağın büyüebilmesi için bırakılan elastik deformasyon enerjisinin bir neticesi olarak enerji girişinin olması şarttır. Bu enerji çatlağın baş tarafındaki, daha sonra ve ondan sonra devam edecek olan atom bağlarını kırmak için gerekli enerji demektir. Bu enerjiye yüzey enerjisi adı verilir ve (U_γ) olarak gösterilir. Herbir çatlak uzunluğuna karşılık gelen ve birbirine dönüşen bu iki enerji toplanabilir. Şekil 3.5 dende görüldüğü gibi yüzey enerjisi (U_γ) çatlak boyu ile lineer artar ve sistemin giriş enerjisi olduğundan pozitif (+) değerdedir.

Elastik deformasyon enerjisi ise yeni çatlak yüzeyi oluştur mada enerji salıverilmesinden dolayı negatif (-) değerdedir. Sistemin toplam enerjisinde çatlak uzunluğu (a) $0 < a < a^*$ arasında olduğunda sisteme enerji verilir ve çatlak kararlı bir şekilde büyür, $a = a^*$ ise çatlağın kararlı büyümesi sona erer, $a > a^*$ ise çatlak kararsız bir şekilde büyür ve sistemin enerjisi bırakılır.



Şekil 3.5 Çatlak uzunluğu ile enerji değişimi.



Şekil 3.6 Ideal lineer-elastik (gevrek) malzemede (G R) bağıntısı.

Son şeklimiz 3.6 da G ile R arasındaki bağıntıyı şekil 3.5 dende yararlanarak gösterebiliriz. Başlangıçta $2a < 2a_1$ büyüklüğünde çatlığa sahip malzemede çatlığın büyümesine karşı koyan enerji (R);

$$R = \frac{1}{B} \frac{d(U)}{d(2a)} = 2\gamma$$

formülümüzden şekil 3.5 e göre sabit ve 2γ ya eşittir. Bu $2a_1$ çatlak boyu kritik boy olsun, ayrıca $F = sbt.$ ise bu durumda; (çatlağı büyötmeye çalışan enerji (G))

$$G = \frac{1}{B} \frac{d(Ue)}{d(2a)} = \frac{\gamma a \sigma^2}{E^*} = \frac{\gamma a \sigma^2}{E} (1-\nu^2)$$

ise (G) değeri çatlığın büyümesi ile lineer artacaktır. (serbest kalan enerji). Çatlak $2a_1$ olunca $G=R$ olacağından malzeme kırılacaktır.

Malzemenin başlangıç çatlağı daha büyük olsun ($a < a_2$ ve a_2 kritik çatlak boyu) yine $G=R$ olunca kırılma meydana gelecektir. Görüldüğü gibi gevrek malzemelerde G_{kr} hiç bir zaman çatlak boyuna bağlı değildir. (Burada DGH'de $E^* = E$ ile DDH'de $E^* = E/(1-\nu^2)$ ve ν poisson oranıdır)

3.5.1 Enerji Dönüşümleri.

Yukarıdaki açıklamasını yapmaya çalıştığımız tüm olayların analitik ifadelerini çıkarmak için aşağıdaki şekil 3.7 de görülen yüzeye σ gerilmesi tesiri sonucu çatlak oluşacaktır. Çatlak oluşması için ise bir (\dot{W}) işi yapılmış olacaktır. Eğer cisim içerisindeki çatlak büyümesi statik durumdan dinamik hale geçerse bu durumda sistemde diğer enerjiler yanında (\dot{L}) ile gösterilen bir kinetik enerji hasil olacaktır. Sistemde çatlak önündeki bölgede etkili olan;

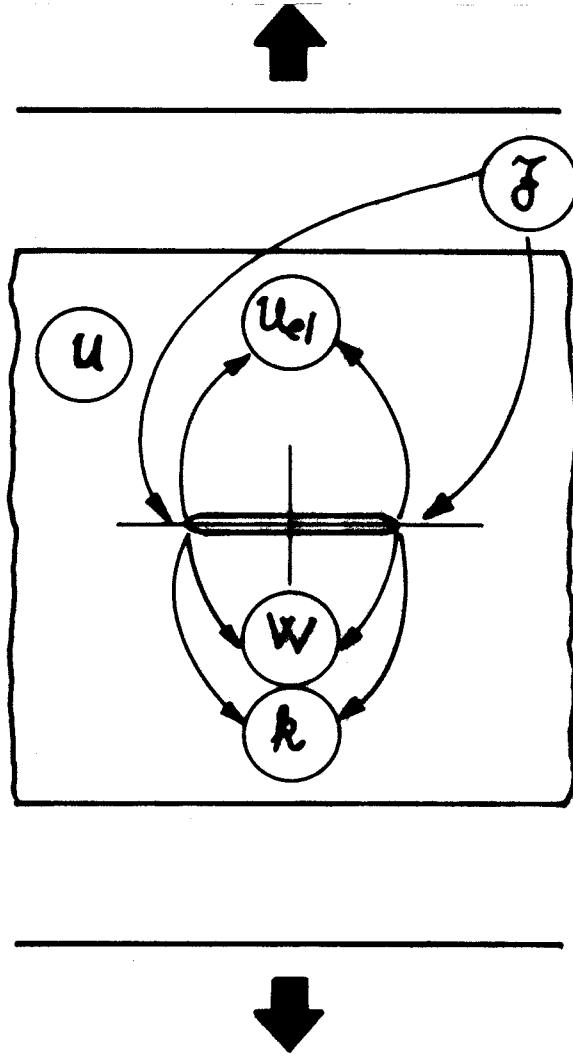
U_{el} Kuvvetin çatlağın büyümesi için harcıyacağı elastik enerji.

\dot{J} Çatlak oluşması için dışarıdan sevk edilen enerji.

\dot{U}'_{el} Çatlak oluşumu esnasında cisme uygulanan kuvvet neticesinde serbest olarak açığa çıkan enerji.

şeklindeki tesirler mevcuttur.

Sistemin herhangi bir andaki tüm enerjisi için geçerli ifadeye $\dot{\phi}$ dersek;



Şekil 3.7 Çatlak oluşum anında enerji dönüşümleri.

$$\varphi = U_{el} + F - U_{el} \quad (3.35)$$

yazılacaktır. φ ifadesindeki U_{el} ile φ aynı tarafta yazılırsa;

$$U_{el} - \varphi = U_{el} - (U_{el} + \mathcal{F} - U_{el})$$

$$U_{el} - \varphi = -\mathcal{F} + U_{el}$$

olacaktır. İfadeyi;

$$\varphi = (-W' + U_{el}) + U\delta \quad (3.36)$$

şeklinde yazabiliriz. Burada $(-W' + U_{el})$ mekanik enerji şeklinde tanımlanır ve çatlak büyümesini sağlayan enerjidir. $(U\delta)$ ise çatlak büyümesini engelleyen enerjiyi ifade etmektedir. Buna kuvvetin çatlak büyümesi için harcaması gereken yüzey enerjisi diyoruz. İş olarak tanımladığımız (W') ile kararsız çatlak halinde (k) nında sistemdeki enerjiye ilave edilmesi gerektiğini belirtmiştik, bu durumda;

$$-\mathcal{F} + U_{el} = W' + k$$

olacaktır. (k) ifadesi yalnız bırakılırsa, kinetik enerji;

$$k = U_{el} - \mathcal{F} - W' \quad (3.37)$$

şeklinde yazılabilir. Bu sonuca göre çatlakta yapılan incelemede kararsız çatlak yayılımı kinetik enerji ifadesine'de bağımlıdır denilebilir. Buradan kinetik enerji ifadesiyle kararlılık tespitinin yapılabileceğini'de belirtmek gereklidir. (k) nın $(+)$, (0) , $(-)$ olduğu her durumda bu ifade (Enerji ifadelerinin çatlak uzunluğuna (a) 'ya göre birinci türevleri alınarak)

$$\frac{d\mathcal{L}}{d(2a)} = \frac{d(\dot{U}_{el})}{d(2a)} - \frac{dW'}{d(2a)} - \frac{d\mathcal{F}}{d(2a)} \stackrel{\approx}{=} 0 \quad (3.38)$$

veya;

$$\frac{d(\dot{U}_{el})}{d(2a)} \stackrel{\approx}{=} \frac{dW'}{d(2a)} - \frac{d\mathcal{F}}{d(2a)} \quad (3.39)$$

ile enerji bırakma hızlarını verecektir. Böylece çatlak büyümesi, ilerlemesi olayında dışarıdan verilen enerji dışındaki etkilerin tesirsiz olduğunda söyleyebiliriz.

$$\frac{d\mathcal{F}}{d(2a)} = 0 \quad (3.40)$$

Denge hali;

$$\frac{d\mathcal{L}}{d(2a)} = 0 \quad (3.41)$$

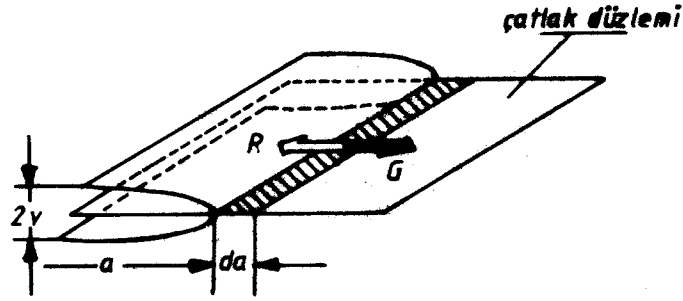
olacaktır. Kararsız haldeki çatlak yayılması için ifademiz;

$$\frac{d(\dot{U}_{el})}{d(2a)} \geq \frac{dW'}{d(2a)} \quad (3.42)$$

veya;

$$\frac{d(\dot{U}_{el})}{d(2a)} - \frac{d\dot{W}}{d(2a)} = \frac{d(\dot{U}_{el} - \dot{W})}{d(2a)} \geq 0 \quad (3.43)$$

Bu ifade edilen hal numune boyut ve geometrisinden bağımsızdır. Serbest olarak açığa çıkan elastik enerji (\dot{U}_{el}) çatlakların açılmasına yardımcı olacaktır.



Şekil 3.8 Çatlağı oluşturmaya çalışan (G) ve çatlak oluşmasına karşı koyan (R) kuvvetlerinin çatlaktaki görünümü.

Yukarıdaki açıklamalardan ve şekil 3.8 den çatlak oluşturmaya çalışan (G) ve çatlak oluşmasına karşı koyan (R) kuvvetleri, çatlak uzunluğu ve numune genişliği (B) yede bağlı olarak;

$$G = \frac{1}{B} \frac{d(U_{el})}{d(2a)} \quad (3.44)$$

ve,

$$R = \frac{1}{B} \frac{dW'}{d(2a)} \quad (3.45)$$

şeklinde yazılırlar. Şekil 3.8 'in incelenmesinde, bölüm 3.5 'de (G) ve (R) arasındaki ilişkinin anlatılması ile bir çatlağın oluşması ve büyüüp yayılması hakkındaki açıklamalar ve denklem 3.43 ifadesine uyarak kısaca;

- (a) $G < R$ ve $a < a^* \rightarrow$ Kararlı çatlak büyümesi.
- (b) $G = R$ ve $a = a^* \rightarrow$ Denge hali. ($\frac{d\phi}{da} = 0$)
- (c) $G > R$ ve $a > a^* \rightarrow$ Kararsız çatlak yayılması.

şeklinde olayların gerçekleşeceği gözlenir. (3.46)

Numunedeki br. mm² lik bir kısımda çatlak kenar yüzeyi oluşturmak için gerekli olan enerjiye, üst yüzey enerjisi diyoruz ve (δ) ile gösteriyoruz. Mekanik enerji çatlağı büyütme çalışırken (δ) çatlak açılmasını engellemeye çalışacak ve çatlak geometrisine bağımlı olmak şartıyla (Mekanik enerjideki azalma yüzey enerjisindeki artmaya eşittir)

$$W' = U_{el} = 2.2.a.\gamma.B \quad (3.47)$$

yazılır. Denklem 3.30 ve 3.31 deki (U_{el}) ifadeleri ve denklem 3.43 ile 3.46 halleri dikkate alınıp, çatlak oluşturma ya çalışan kuvvet (G), numune geometrisi ile bağımlı olarak;

DDH

$$\frac{d}{d(2a)} \left[\frac{\pi \sigma^2 a^2}{E} (1 - \nu^2) B - 4a \gamma B \right] \frac{1}{B} = G - R \geq 0 \quad (3.48)$$

Çatlak oluşturma kuvveti;

$$G = \frac{\sigma^2 \pi a}{E} (1 - \nu^2) \quad (3.49)$$

veya denklem 3.32 ye uygun olarak;

$$G = \frac{K^2}{E} (1 - \nu^2) \quad (3.50)$$

DGH

$$\frac{d}{d(2a)} \left[\frac{\pi \sigma^2 a^2}{E} B - 4a \gamma B \right] \frac{1}{B} = G - R \geq 0 \quad (3.51)$$

Buradan;

$$G = \frac{\sigma^2 \pi a}{E} \quad (3.51)$$

veyahut;

$$G = \frac{K^2}{E} \quad (3.52)$$

Diğer taraftan birim çatlak boyunun büyümesini engelleyen enerji (R);

$$R = 2 \gamma \quad (3.53)$$

olur. Buradan denklem 3.32 dikkate alınarak, kırılma şiddeti faktörü;

DDH

$$\sigma \geq \sqrt{\frac{2 \cdot \gamma \cdot E}{\pi \cdot a \cdot (1 - \nu^2)}} \quad (3.54)$$

$$K \geq \sqrt{\frac{2 \cdot \gamma \cdot E}{(1 - \nu^2)}} \quad (3.55)$$

DGH

$$\sigma \geq \sqrt{\frac{2 \cdot \gamma \cdot E}{\pi \cdot a}} \quad (3.56)$$

$$K \geq \sqrt{2 \cdot \gamma \cdot E} \quad (3.57)$$

Durum 3.28 ve 3.29 incelendiğinde nihai olarak çatlak kenarı oluşabilmesi için denklem 3.54 den 3.57 ye kadar olan ifadeler yardımıyla, kararsız çatlak açılması durumlarında yer değişim kriteri ($V(r)$) değeri;

DDH

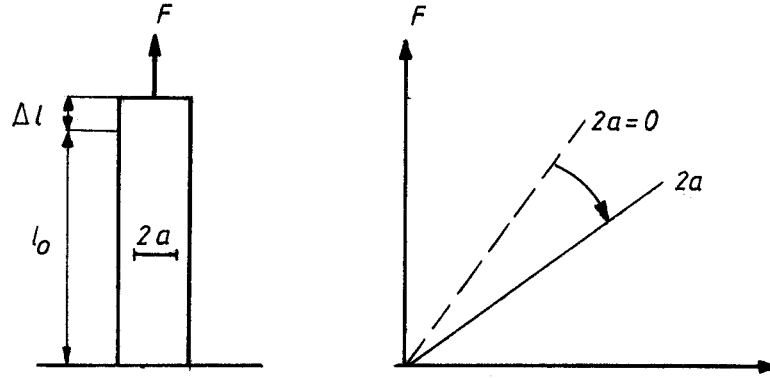
$$V(r) \geq 4 \sqrt{\frac{r \cdot \gamma \cdot (1 - \nu^2)}{\pi \cdot E}} \quad (3.58)$$

DGH

$$V(r) \geq 4 \sqrt{\frac{r \cdot \gamma}{\pi \cdot E}} \quad (3.59)$$

olarak gösterilirler. Tüm bu 3.48 ve 3.51 ile 3.54 den 3.59 a kadar olan ifadeler birbirleriyle bağıntılıdır ve 3.48 ile 3.51 ifadesi ise "Griffith gerilme kriteri" olarak bilinmektedir.

3.5.2 (2a) Uzunluğunda çatlakla sahip bir malzemede enerji dağılımının incelenmesi.



Şekil 3.9 Çatlaklı malzemede F-Δl değişimi.

Şekil 3.9 da görüldüğü gibi, çatlak uzunluğu (2a) olan bir malzemede (F) kuvveti ile bir zorlanma olsun, bu durumda (F) kuvveti ile (Δl) arasında;

$$\Delta l = F \cdot c \quad (3.60)$$

bağıntısını yazmak mümkündür. Formülde (c) (compliance) esneklik, (Δl) uzama'dır. (c) değeri;

$$c = f(l_0, A_0, E, 2a) \quad (3.61)$$

ile bağıntılıdır. Şekil 3.9 dan'da görüldüğü gibi (c), çatlak boyu arttıkça büyüyecektir. Çatlağın büyümediğini kabul edersek (2a=0), (F) kuvveti altında harcanan enerji veya malzemenin elastik şekil değişim enerjisi şekil 3.11 da ta-

ralı yüzeyden yararlanarak;

$$U_{el} = \int_0^l F \cdot d(\Delta l) = \frac{1}{2} F \cdot \Delta l = \frac{1}{2} F^2 \cdot c = \frac{1}{2} \frac{(\Delta l)^2}{c} \quad (3.62)$$

olur. Bu bağıntı çatlak büyümediği sürece geçerlidir. Eğer çatlak büyürse (c) değişeceğinden;

$$d(\Delta l) = F \cdot dc + c \cdot dF \quad (3.63)$$

olur. $d(2a) > 0$ için hem $d(\Delta l) > 0$ hemde kuvvet düşeceğinden $dF < 0$ ve daima $dc > 0$ olacaktır.

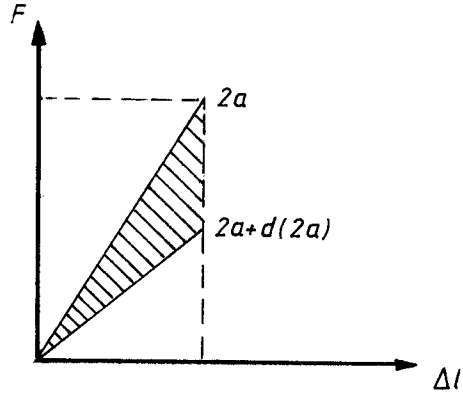
Bölüm 3.4 de Griffith teorisi için yapılan açıklamalar dikkate alındığında, çatlak büyüdükçe (F) kuvvetinin düşeceği ve (c) nin büyüyeceğinden mekanik enerji azalacaktır. Tabii (U δ) buna karşılık artacaktır. Mekanik enerji çatlak büyütmeye çalışırken, (U δ) çatlak büyümesini engelleyen bir değer olacaktır. Denge hali için; $(\frac{d\varphi}{da} = 0)$ yazılmıştı - yani mekanik enerjideki azalma yüzey enerjisindeki artmaya eşittir diyebiliyorduk.

Çatlak büyümesinde, iki ekstrem yükleme durumunun incelenmesi daha uygun olacaktır.

a) Sbt. boy uzaması hali; ($\Delta l = sbt.$)

Şekil 3.10 da tatbik edilen yükle malzeme boyca uzama gös -

termeden çatlak büyüyor.



Şekil 3.10 ($\Delta l = sbt.$) hali.

$dW' = F.d(\Delta l) = 0$ dır. Elastik enerjideki değişim ise $U_{e1} = \frac{1}{2} \cdot F^2 \cdot c$ ifadesinden;

$$dU_{e1} = F \cdot c \cdot dF + \frac{1}{2} F^2 \cdot dc \quad (3.64)$$

ayrıca, 3.63 den, $F \cdot dc = -c \cdot dF$ olduğundan;

$$dU_{e1} = -F^2 \cdot dc + \frac{F^2}{2} dc = -\frac{1}{2} F^2 \cdot dc$$

o halde mekanik enerji;

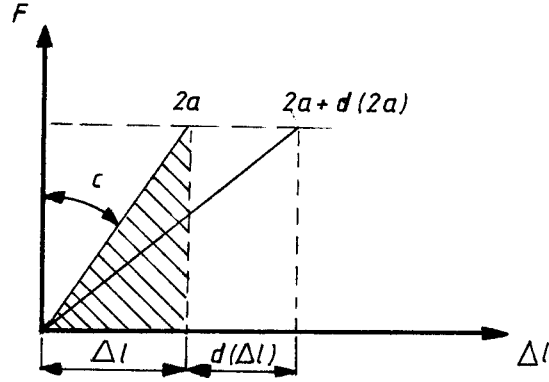
$$-dW' + dU_{e1} = -\frac{1}{2} \cdot F^2 \cdot dc \quad (3.65)$$

olacaktır.

b) Sbt. kuvvet durumu; ($F = sbt.$)

Şekil 3.11 de sbt. yük altında malzemedeki çatlak $d(2a)$ ka-

dar büyürken, boyda $d(\Delta l)$ kadar büyümektedir.



Şekil 3.11 $F = \text{sbt.}$ durumu.

o halde dış kuvvetin yapmış olduğu iş;

$$-dW' = -F \cdot d(\Delta l) \quad (3.66)$$

yine, 3.36 tüm enerji ifadesi kararsız hal'de düşünülerek ifade edildiğinde $\varphi = (-W' + U_{el}) + U\delta + k$ denkleminde, $d(\Delta l) = F \cdot dc$ bulunur, o halde;

$$-dW' = -F^2 \cdot dc \quad (3.67)$$

yazılabilir. Elastik enerji (U_{el}) ise;

$$dU_{el} = U_{el_1} - U_{el_2} = \left\{ \frac{1}{2} F[\Delta l + d(\Delta l)] \right\} - \frac{1}{2} F \cdot \Delta l$$
$$dU_{el} = \frac{1}{2} F^2 \cdot d(\Delta l) \quad (3.68)$$

3.36 denkleminde;

$$dU_{el} = \frac{1}{2} F^2 \cdot dc \quad (3.69)$$

bulunur.

Demekki dış kuvvetin yaptığı daha fazla iş elastik enerjide daha az artış ortaya çıkaracaktır. Mekanik enerji;

$$-dW + dU_{el} = -F^2 \cdot dc + \frac{1}{2} F^2 \cdot dc = -\frac{1}{2} F^2 \cdot dc \quad (3.70)$$

elde edilir. Görüldüğü gibi her iki eksterm durumdada çatlak büyümesiyle mekanik enerji aynı miktarda azalmaktadır. $\Delta l = sbt.$ durumunda çatlak büyürken elastik enerji azalacak $F = sbt.$ durumunda ise gerekli enerji toplam mekanik enerjinin azalmasıyla ortaya çıkacaktır. Bilindiği gibi mekanik enerji çatlak büyümesini sağlarken, çatlak büyümesiyle azalmaktadır.

Denklem 3.62 ifadesi çatlak büyürken yazılmak istenirse, (çatlak açılması $d(2a)$, boyca uzama $d(\Delta l)$, ve $F = sbt.$ olduğunda, (c) compliance değerinde değişerek (dc) olup, yeni halde;

$$dU_{el} = F \cdot d(\Delta l) - \frac{1}{2} F^2 \cdot dc \quad (3.71)$$

olacaktır. Burada (2a) uzunluğundaki çatlak açmak için gerekli kuvvet (G) olsun, (B) kalınlığındaki malzeme için, $G \cdot d(2a) \cdot B$ yazılabilir. Buradan;

$$dU_{el} = F \cdot d(\Delta l) - G \cdot d(2a) \cdot B \quad (3.72)$$

ve bu son iki denklemden sonuçta;

$$G = \frac{1}{2} \frac{F^2}{B} \frac{dc}{d(2a)} = \frac{1}{2} \frac{F^2}{B} \frac{d(\Delta l / F)}{d(2a)} \quad (3.73)$$

bulunur. Böylece çatlak uzunluğu ve kuvvete bağlı ifadeyi a
çıklamış oluruz. 3.50 ifadesinden yararlanıp gerilme şidde-
ti faktörü için geçerli olacak değer biraz farklı bir şekil
de;

DDH

$$K = \sqrt{\frac{E}{2(1-\nu^2)} \frac{F^2}{B} \frac{d(\Delta l / F)}{d(2a)}} \quad (3.74)$$

veya basit şekil değişiminde;

$$\sigma = F / B.W \quad (3.75)$$

ile esasen (a) ile genişletilerek ifade;

$$K = \sigma \sqrt{a} \sqrt{\frac{E.B.W}{2(1-\nu^2).a} \frac{d(1/F)}{d(2a/W)}} \quad (3.76)$$

ve buradan;

$$K = \sigma \sqrt{a} . Y \quad (3.77)$$

bulunur.

DGH

$$K = \sqrt{\frac{E}{2} \frac{F^2}{B} \frac{d(\Delta l/F)}{d(2a)}} \quad (3.78)$$

ve 3.75 ifadesiyle;

$$K = \sigma \sqrt{a} \cdot \sqrt{\frac{E \cdot B \cdot W}{2a} \frac{d(\Delta l/F)}{d(2a/W)}} \quad (3.79)$$

ve buradan yine 3.77 ifadesi;

$$K = \sigma \sqrt{a} \cdot Y$$

bulunacaktır. Çatlak uzatma kuvveti, compliance (c) nin ölçümü, numunenin geometrik biçimi, kırılma şiddeti faktörüne bağımlı ve denklem 3.34 (Y) fonksiyonunun tayiniyle rahatlıkla tespit edilebilir.

3.6 Çatlak Açılmasında Kritik Büyüklükler

$$G - R \geq 0$$

şeklindeki 3.48 ve 3.54 den 3.59 a kadar olan ifadeler çatlak açılması olayındaki durumları açıklamaya uygundur. Bu denklemler çatlak açılmasında, kararlı, denge hali ve kararlı çatlak yayılımını tam olarak ifade edecek tarzdadırlar. ve,

σ Gerilme.

K Kırılma şiddeti faktörü.

V(r) Çatlak kenarı açılması.

G Çatlak büyütme kuvveti.

sembollerle verilmiştir. Uluslararası standartlara göre ise DDH için (I_c), DGH için (c), harfinin yukarıdaki değerlere indis olarak gelmesiyle, çatlak açılmasındaki olaylar her bir durum için ayrı ayrı ifade edilmiş olacaktır. Buna göre yukarıdaki değerler;

	<u>DDH</u>	<u>DGH</u>
σ _____	σ_{I_c} _____	σ_c _____
K _____	K_{I_c} _____	K_c _____
V(r) _____	$V(r)_{I_c}$ _____	$V(r)_c$ _____
G _____	G_{I_c} _____	G_c _____

şeklinde olacaktır.

BÖLÜM 4

ELASTO-PLASTİK KIRILMA

4.1 Giriş.

Lineer-elastik malzemelerde kırılma olayı yük etkisi ile plastik deformasyon olmadan ani olarak oluşuyordu. Oysa çatlak ucunda azda olsa bir plastik şekil değişiminin varlığı belirtilerek bu şekilde bir kabul ile incelemelerin yapılmasının uygun olacağı ifade edilmiştir. Çatlak ucunda oluşan plastik bölge küçük ise lineer-elastik kırılma ifadeleri geçerli olacaktır. Fakat plastik bölge büyük ise, çatlak ucundaki gerilme değeri değişecektir. Çatlağın kararlı bir şekilde yayılmasının son bulduğu, kararsız bir şekilde yayılmaya başladığı denge durumu hesabında, bu bölgenin dik kate alınma zorunluluğu vardır.

Plastik bölgenin oluşumu akma ile gerçekleşeceğinden, en genel iki akma kriteri;

1- Tresca(13)'nin ileri sürdüğü, max. kayma değeri kritik bir değere ulaştığı zaman akma başlar.

2- Von Mises(14)'in ileri sürdüğü, hacim başına kay

ma deformasyon enerjisi kritik bir değere ulaştığı zaman akma başlayacaktır.

Tresca(13)'nin fikri, pratiğe tatbiki çok daha kolay olmasına karşılık, von Mises(14)'in ileri sürdüğü kriter deneysel gözlemlerle daha iyi uyum halindedir.

Düzlem gerilme ve düzlem deformasyon hallerinin bir arada olması, gerçek malzemelerde karışık kırılma olarak adlandırılır.

Plastik bölgede çatlak oluşumunu anlayabilmek için çatlakta bir "etkili çatlak uzunluğu" hesaplanır. Buna "effektif çatlak uzunluğu" adıda verilmektedir,

$$2a_{eff} = 2(a + r_{pl})$$

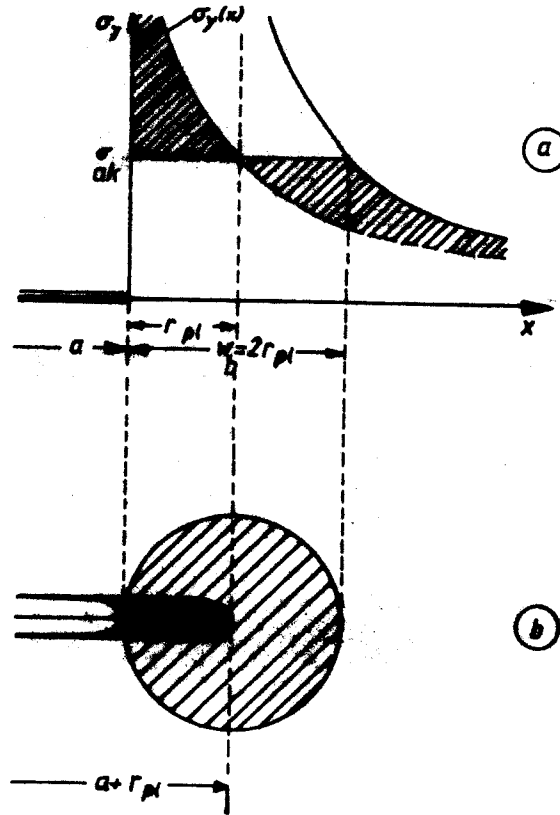
İfadedeki (r_{pl}) plastik bölgenin uzunluğu olarak alınır. Bu bölgenin dışında $(x > a + r_{pl})$ gerilme ve zorlanmalar da ima elastiktir ve evvelce elde edilmiş bağıntılar kullanılabilinir.

4.2 Irwin Plastik Bölgesi.

Çatlak ucundan ($\theta = 0^\circ$) ve (r) mesafesinde yer alan plastik bölgenin, çok basit olarak genişlediğini varsayıp denklem 3.14 ve 3.19 ile 3.23 den;

$$r_{pl}(\theta = 0^\circ) = r_{pl} = \frac{1}{2} a \left(\frac{\sigma}{\sigma_a} \right)^2 = \frac{K^2}{2\pi \sigma_a^2} \quad (4.1)$$

yazılır.



Şekil 4.1 Irwin plastik bölgesi.

Şekil 4.1 deki gibi bir malzeme çok yüksek bir zorlanmaya maruz kalsın, bu durumda plastik bölge etkili olduğunda gerilme değeri akma sınırının üzerine çıkmaz ve $\sigma_y(x)$ ile ifade edilen eğri altında kalan taralı alan σ_a çizgisinde altında sağa doğru kayacaktır. Lineer-elastik malzemelerdeki çatlak oluşumunda $x < r_{pl}$ $\cdot \sigma_y = \sigma_a$ geçerliyi. Burada tesir sahası düşünüldüğünde $0 < x \leq r_{pl}$ denkleğinin esas olarak sağlanması gerekirken, değişik bir gerilme olayı ile $x > r_{pl}$ olduğu durumda karşımıza çıkabilir, bu anda açığa çıkan kuvvet;

$$\int_0^{r_{pl}} \sigma_y \cdot B \cdot dx - \sigma_a \cdot B \cdot r_{pl} = \sigma_a \cdot B \cdot r_{pl} \quad (4.2)$$

olarak alınır. Bu denklem şekil 4.1(a) da görülen $\sigma_a \cdot r_{pl}$ ile sınırlı uzun dörtköşe yüzün üzerine $\sigma_y(x)$ normal gerilmesinin ilavesiyle eğrinin üst sağ köşeye doğru (plastik bölge sınırlarınının) kayacağını ifade eder. Bu sebeple ilave edilen kuvvet ile (taralı yüzeye) kuvvet dengesi artarak değişecektir.

Plastik bölgeyi bu açıklamalara bağlı olarak anlatmaya çalışırsak;

$$W_b = 2 \cdot r_{pl} \quad (4.3)$$

ifadesi yazılabilir, şekil 4.1(b) deki taslaktan çatlak u - cundaki daire formu, numune zorlandığında şekil 4.1(a) da

verilen eğriyi ifade için yarım çatlak uzunluğu (a) yerine yeni "etkili çatlak uzunluğu" (a_{eff}) olarak belirlenen bir değerin verilmesi uygun olacaktır. Buradan;

$$a_{eff} = a + r_{pl} \quad (4.4)$$

belirlenir. Kırılma şiddeti faktörü K ise bu yeni değere bağlı olacak şekilde;

$$K = \sigma \sqrt{\pi(a + r_{pl})} \quad (4.5)$$

ifade edilir. Çatlak ilerlemesi, (3.23 ve 4.2 denklemlerinin ifade ettiği değerlerde) $\frac{\sigma}{\sigma_a}$ oranının değişimiyle değişecektir.

4.3 Mc Clintock-Irwin Plastik Bölgesi.

Bu çalışmada plastik bölgenin ölçümü için çok eksenli gerilmeler dikkate alınmıştır. Denklem 3.13 ve 3.22 ye kadar olan ifadeler, lineer-elastik kırılma mekaniğinde bir çatlak ucundan (r) kadar uzaklıktaki gerilme bileşenlerinin hesaplanması sonucu gerilmelerin;

σ_1 ($\sigma_1 < \sigma_2 < \sigma_3$) değerlerinde olduğu ve asal gerilmeler cinsinden bunlar;

$$\sigma_1 = \frac{K}{\sqrt{2\pi r}} \cos \frac{\theta}{2} \left(1 + \sin \frac{\theta}{2} \right) \quad (4.6)$$

$$\sigma_2 = \frac{K}{\sqrt{2\pi r}} \cos \frac{\theta}{2} \left(1 - \sin \frac{\theta}{2} \right) \quad (4.7)$$

DGH

$$(\sigma_3 = 0) \quad \sigma_3 = 0$$

DDH

$$(\sigma_3 = 0) \quad \sigma_3 = 2\gamma \left(\frac{K}{\sqrt{2\pi r}} \right) \cos \frac{\theta}{2}$$

ve değişik bir enerji hipotezi ile, (Von mises'in distorsiyon enerjisi kriterine göre bir malzemede akma); (σ_a)

$$\sigma_v = \sigma_a = \frac{1}{\sqrt{2}} \sqrt{(\sigma_1 - \sigma_2)^2 + (\sigma_2 - \sigma_3)^2 + (\sigma_3 - \sigma_1)^2} \quad (4.8)$$

bağıntısının sağlandığı takdirde başlayacaktır.

Tüm bu açıklamalar sonrasında çatlak ucunda plastik bölgede deformasyon olduğunu kabul ederek ve asal gerilmeleri 4.8 denkleminizde yerine koyarak, plastik bölgenin uzunluğu için;

DDH

$$r_{pl} = \frac{K^2}{2\pi\sigma_a^2} \cos^2 \frac{\theta}{2} \left[1 + 3 \sin^2 \frac{\theta}{2} - 4\nu(1-\nu) \right] \quad (4.9)$$

DGH

$$r_{pl} = \frac{K^2}{2\pi\sigma_a^2} \cos^2 \frac{\theta}{2} \left[1 + 3 \sin^2 \frac{\theta}{2} \right] \quad (4.10)$$

değerleri bulunacaktır. İnce levhaların düzlemsel yüklenmelerinde kalınlık istikametindeki (σ_z) gerilmelerinin ihmal edilecek kadar ufak olduğunu ve kalın parçalarda ise çatlak ucundaki (σ_z) gerilmelerinin yüzeye gidildikçe azalmakta olduğu ve yüzeyde tam sıfır değerini aldığını biliyoruz. Yani kalınlık yönündeki deformasyon sıfır olmaktadır. Buradan hareketle 4.9 ve 4.10 denklemleri ile şekil 4.2 birbirlerini açıklamaktadırlar. 4.9 ve 4.10 bağıntılarını çatlak doğrultusu boyunca ($\theta=0^\circ$) sayarsak, plastik bölge uzunlukları,

$$\sigma_v > \sigma_a$$

durumunda, aşağıdaki

şekil 4.3 de dikkate alınarak,

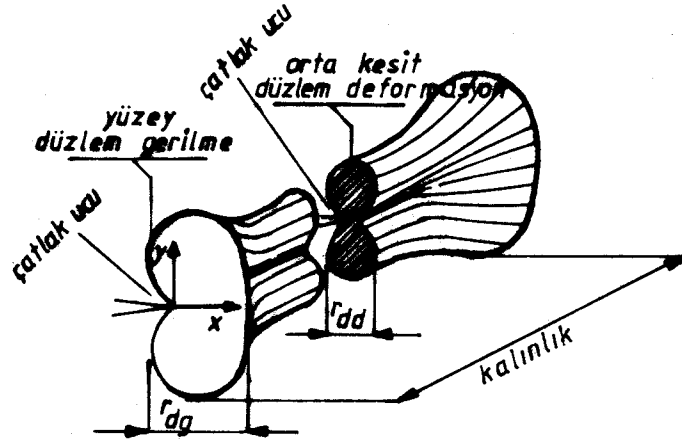
DDH

$$r_{pl} = r_{pl} (\theta = 0) = \frac{K^2}{2\pi\sigma_a^2} (1 - 2\nu)^2 \quad (4.11)$$

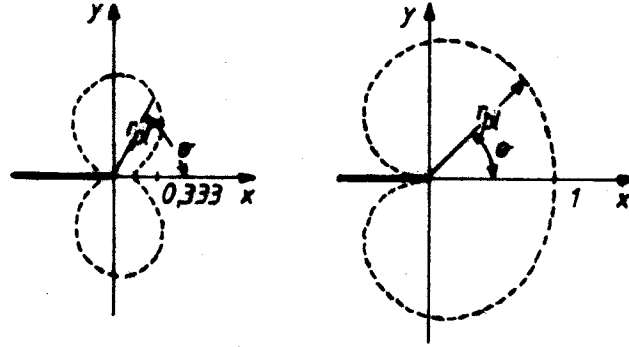
DGH

$$r_{pl} = r_{pl} (\theta = 0) = \frac{K^2}{2\pi\sigma_a^2} \quad (4.12)$$

bulunacaktır. Yukarıdaki açıklamalardan $r_{pl}(\theta)$ nın DGH 'nin DDH'den daima büyük olduğunu görüyoruz.



Şekil 4.2 Kalın plaka içinde çatlak ucundaki Mc Clintock-Irwin genişletilmiş plastik bölgenin değişimi.



r_{pl} her defasında $\frac{1}{2\pi} \left(\frac{K}{\sigma_{ak}} \right)^2$ kez
değişim gösterir

Şekil 4.3 Mc Clintock-Irwin plastik bölgesindeki
çatlak uzunluğunun DDH ve DGH'de hesabı.

Çatlak ucundaki plastik şekil değişimindeki tesir dikkate alınırsa, Irwin plastik bölgesinde anlatılan olaylar ve şekil 4.1'de verilen $\sigma_y(x)$ eğrisinin davranışı ile buradaki açıklamalar sonucunda Mc Clintock-Irwin bölgesinde'ki olayların aynen gerçekleşeceği belirtilmiştir. Buna göre plastik bölgede genişleme ifadesi (denklem 4.3 gibi) ;

$$W_b = 2 \cdot r_{pl}$$

effektif çatlak uzunluğu (denklem 4.4 gibi);

$$a_{eff} = a + r_{pl}$$

ve kırılma şiddeti faktörü (denklem 3.23 e uyarak, denklem 4.5 gibi);

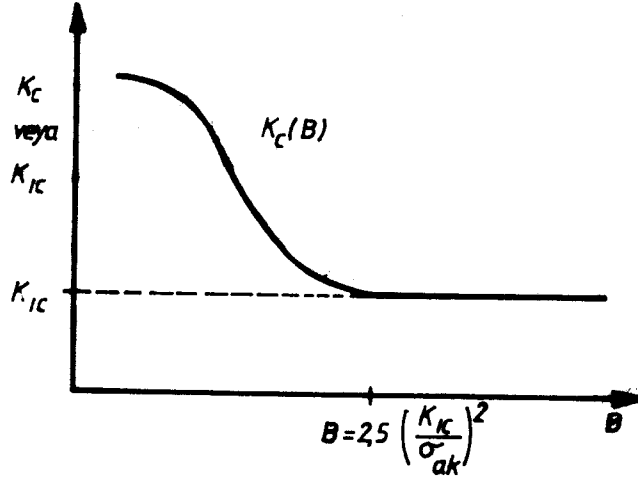
$$K = \sigma \sqrt{\pi(a + r_{pl})}$$

olduğu görülür.

Numunenin deęişik formlarda ve kalınlıklarda oluşu plastik bölgedeki olaylarıda etkilemektedir. Bu sebeple numune kalınlığı ile kırılma şiddeti faktörü (B ve K) deęerlerinin birbirleriyle baęımlılıęı;

$$B \geq 2,5 \left(\frac{K}{\sigma_a} \right)^2 \quad (4.13)$$

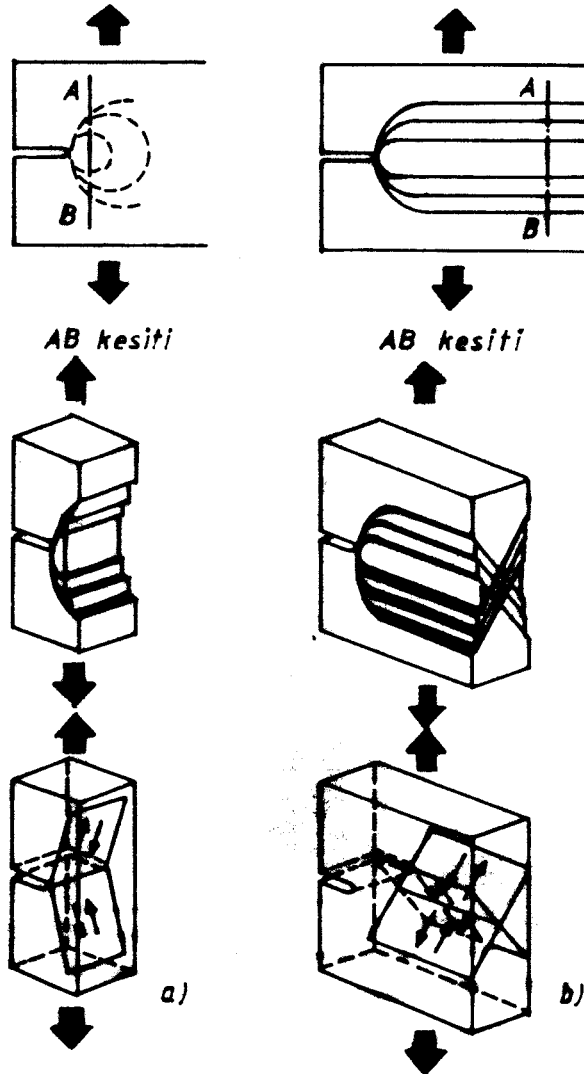
şeklinde verilmiştir. Numune kalınlığına göre (DGH veya DDH den) (K_c) veya (K_{Ic}) 'nin hangisinin olayda etkili olup he saplamada dikkate alınacağına karar verilmesi ise aşıęıdaki şekil 4.4 de açıkça görölmektedir.



Şekil 4.4 Numune kalınlığı ile kırılma şiddeti faktörünün deęişimi.

Yukarıdaki 4.13 ifadesi Mc Clintock-Irwin tarafından, plastik bölgedeki olayların açıklanmasında esas kabul edilmiştir.

Şekil 4.4 de, DDH'de (K_{Ic}) nin numune kalınlığı (B) ile ilgisiz (Asymptotisch) olduğu, DGH'de ise numune kalınlığı küçük değerlerde olduğundan kararsız çatlak yayılması görülür ve (K_c) ile (B) birbirleriyle bağımlıdır. Ayrıca şekil 4.4 de soldan sağa doğru gidildikçe (B kalınlığı arttıkça) Şekil 4.5(a)'da "mentşe tipi" olarak verilen durum kırılma yüzeylerinde izlenecektir.



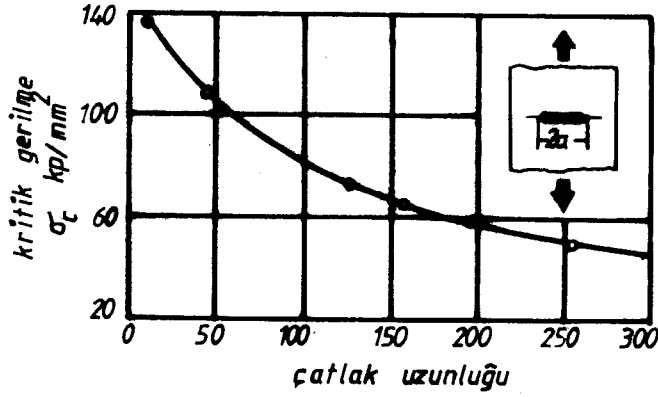
Şekil 4.5 Çatlak ucunda kırılma tipleri.

(a-DDH'de "Menteşe tipi" b-DGH'de "Kama tipi" oluşur.)

Denklem 4.11 ve 4.12 ile uygun (B) ifadesi (r_{pl}) ile bağımlı olarak;

$$B \geq \frac{5\pi}{(1 - 2\nu)^2} r_{pl} \quad (4.14)$$

şeklindedede yazılabilir.



Şekil 4.6 (30NiCrMo83) levhasında, çatlak uzunluğu ile kritik gerilme'nin bağımlılığı.

Şekil 4.6'da (2a) uzunluğundaki çatlağı büyütme, kırılmayı oluşturacak gerilme değerine doğru yönelmektir. Eğri üzerinde, tüm ölçüm noktalarında;

$$K_c = \sigma_c \sqrt{\pi a} = \text{sbt.} = 950 \text{ kp/mm}^{3/2}$$

değeri mevcuttur.

Şekil 4.2 de anlatıldığı gibi malzeme ne kadar kalınlaşırse düzlemsel deformasyona uğrayan bölge o kadar büyüyecek yani gevrek kırılmaya yatkınlık artacaktır. Eğer malzeme ince ise bu takdirde çatlak civarındaki plastik bölge, düzlem gerilme halinin ağır basması sebebi ile daha büyüyecek ve kırılma böylece plastik deformasyon yüzünden engellenecektir. Plastik deformasyonun kırılmayı engellemesi demek, çatlak boyunun br. büyümesine karşı koyan enerjinin (R) büyümesi demektir. $R = 2\gamma$ olduğundan efektif yüzey enerjisi bu takdirde;

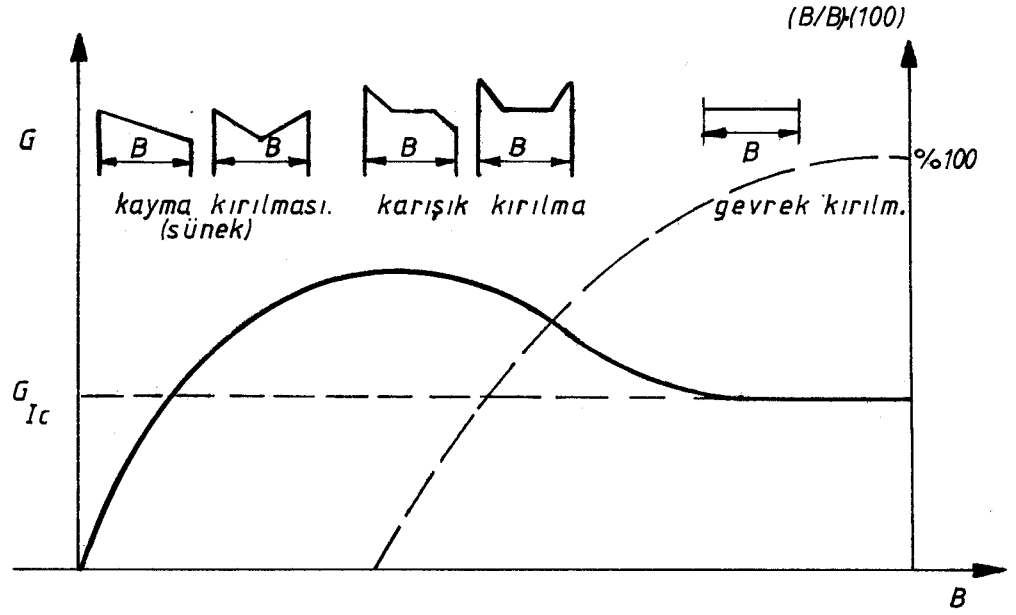
$$\gamma = \gamma_y - \gamma_{pl} \quad (4.15)$$

olacaktır. Burada γ_y çatlağın yüzey enerjisi, γ_{pl} plastik bölgenin yüzey enerjisidir. Tabii bu durumda kararsız çatlak büyümesi için yine $G \geq R$ şartı gereklidir. Demek ki sonuçta ister DDH ister DGH olsun kritik büyüklükler stabil olmayan çatlak büyümesi sınırını verecektir (DDH ve DGH için bölüm 3.6 da alacakları değerler açıklanmıştır.).

Biraz evvel bahsedildiği şekilde bir malzemenin kalınlaşması çatlak ucundaki plastik deformasyonun kalınlık doğrultusundaki (ϵ_z) bileşeninin engellenmesine yol açacaktır. Bunu şöyle bir deneyle açıklayabiliriz. Aynı malzemeden fakat farklı kalınlıklardaki numunelerin ortalarında oluşturulan çatlak çekme deneyi sonucunda değişik kırılma şekilleri oluşturmaktadır. Şekil 4.7.

İnce numunelerin kırık yüzeyinde plastik deformasyonun tüm belirtileri görülürken kalınlık arttıkça gevrek kırılmayı karakterize eden bölgeler oluşuyor ve belli bir ka-

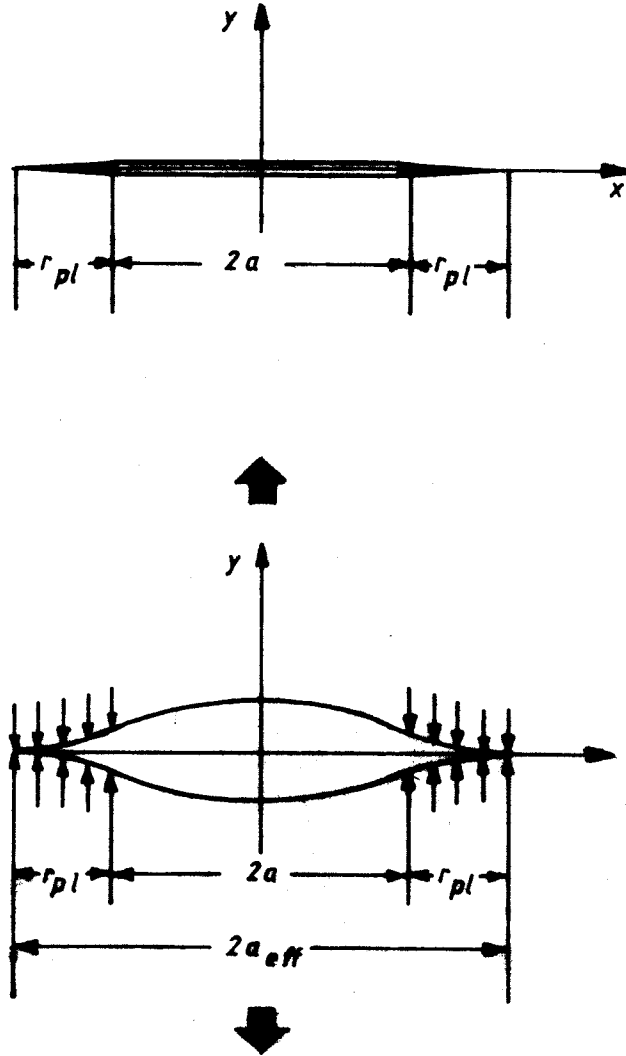
linlikten sonra ise gevrek kırılma tüm yüzeyi kaplıyor. Bu kalınlıklara bağı olarak br. çatlak boyu oluşturan enerji (G_c) plastik deformasyon bölgeleri % 100 iken daima yüksek göstermekte, gevrek kırılma görüldükten sonra ($\frac{B}{B}=\%100$) hiç değişmemektedir. Bu değer gevrek kırılmaya aittir. Yani DDH'dir ve ($G_c = G_{Ic}$) dir. Burada G_{Ic} değeri malzeme genişliğine, yani boyutlarına bağı olmadığı için bu değer malzeme ye ait karakteristik büyüklüktür.



Şekil 4.7 (B) kalınlığının kırılma şekline ve (G) değerlerine etkisi.

4.4 Dugdale Plastik Bölgesi.

Bu bölümde Irwin ve Mc Clintock-Irwin plastik bölgelerinden farklı olarak Dugdale, çatlakın uç kısımlarındaki plastik bölgelerin bir gerilme etkisi altında kalarak çatlakın açılmasını engellediğini kabul etmiştir. Durumu aşağıdaki şekilde izlemek mümkündür.



Şekil 4.8 Dugdale'nin çatlak modeli.

Effektif çatlak uzunluğu ifadesi ise denklem 4.4'de olduğu şekilde;

$$a_{\text{eff}} = a + r_{\text{pl}}$$

dir. Dugdale(16) modelinde (r_{pl})'in hesabında ise, çatlak ucunun şekil 4.8'de görüldüğü gibi gerilmeler tesirinde kalıp doğrusal olarak yayılmak zorunda kaldığını ifade etmiştir. Çatlak ucundaki gerilmelerin akma gerilmesine ulaştığını, daha yüksek zorlanmalarda ise çok daha küçük gerilme değerlerinin ($x \rightarrow a$ olması halinde) dahi akma gerilmesine ulaşarak;

DGH

$$r_{\text{pl}} = a \cdot \left[\text{Sec}\left(\frac{\pi\sigma}{2\sigma_a}\right) - 1 \right] = a_{\text{eff}} \cdot \left[1 - \text{Cos}\left(\frac{\pi\sigma}{2\sigma_a}\right) \right]$$

$$r_{\text{pl}} = a_{\text{eff}} \cdot \left[1 - \left\{ 1 - \frac{1}{2} \left(\frac{\pi\sigma}{2\sigma_a}\right)^2 + \frac{1}{24} \left(\frac{\pi\sigma}{2\sigma_a}\right)^4 \dots \dots \right\} \right]$$

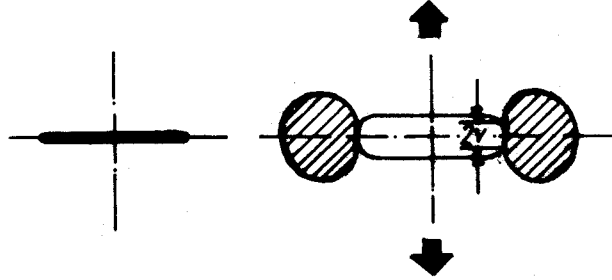
$$r_{\text{pl}} \approx a_{\text{eff}} \cdot \frac{\pi^2}{8} \left(\frac{\sigma}{\sigma_a}\right)^2 = \frac{\pi}{8} \left(\frac{K}{\sigma_a}\right)^2 \quad (4.16)$$

yazılacaktır. Bu, bölüm 4.3 ve 4.2'ye yakın sonuçlar verir. Etkili olan plastik bölgenin ölçümü ise denklem 4.3'den biraz farklı olarak;

$$W_b = r_{\text{pl}} \quad (4.17)$$

yazılacaktır.

4.5 Çatlak Ucunda Etkili Olan Plastik Bölge'deki Büyüklükler Ve Enerji Dağılımı.



Şekil 4.9 Çatlak ucundaki plastik bölgede hesaplama.

Şekil 4.9'da verildiği gibi, sonsuz ince bir plaka içinde (2a) uzunluğunda bir çatlığa, düzgün çekme gerilmesi uygulandığında, çatlakın keskin ucunun plastik bölge ile körlendiği görülür. Dugdale(16)'nın plastik bölge açıklaması ile Hahn(6) tarafından, çatlak ucundaki kütleşme miktarı;

$$\delta = 2.v \quad (4.18)$$

olur. Buradan;

$$\delta = \frac{8 \sigma_a (a)}{\pi E} \ln \sec \frac{\pi \sigma}{2 \sigma_a}$$

Ln(Sec) terimini açıp neticesini ilave etmekle;

$$\delta = \frac{8 \sigma_a(a)}{\pi E} \left\{ 1 \left(\frac{\pi \sigma}{2 \sigma_a} \right)^2 + \frac{1}{12} \left(\frac{\pi \sigma}{2 \sigma_a} \right)^4 + \frac{1}{45} \left(\frac{\pi \sigma}{2 \sigma_a} \right)^6 + \dots \right\} \quad (4.19)$$

ve,

$$\delta = \frac{\pi \sigma^2(a)}{E \sigma_a} \left\{ 1 - \frac{\pi^2}{24} \left(\frac{\sigma}{\sigma_a} \right)^2 \right\} \quad (4.20)$$

bulunur. Diğer taraftan denklem 3.51'deki (G), denklem 4.4 deki (a_{eff}), denklem 4.1'deki (r_{pl}) ifadeleri, gerçek malzeme melerde çatlak ucunda küçük bir plastik bölgenin varlığının ($r_{pl} \ll a$) şeklinde kabul edilmesiyle;

$$\frac{G}{\sigma_a} \approx \frac{\pi \sigma^2(a)}{E \sigma_a} \left\{ 1 - \frac{1}{2} \left(\frac{\sigma}{\sigma_a} \right)^2 \right\} \quad (4.21)$$

ifadesi elde edilir. Bu son iki 4.20 ve 4.21 denklemlerin den;

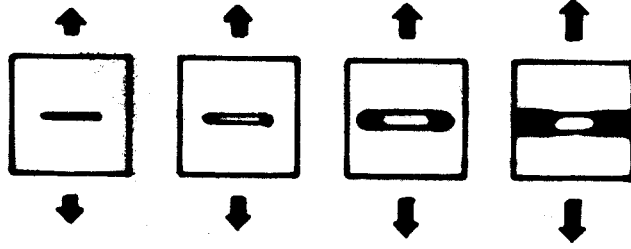
$$\frac{\sigma}{\sigma_a} \ll 1 \quad \text{durumunda;}$$

(δ) çatlak ucundaki kütleşme miktarı, (G) çatlak yayılma kuvveti, (σ_a) akma gerilmesi olarak alındığında;

$$\delta = \frac{G}{\sigma_a} \quad (4.22)$$

bulunur. Burada (r_{pl}/a) $\ll 1$ olması gereklidir.

4.6 Çatlak Önünde Plastik Bölge Olması Halinde Çatlak Kararlılığı Ve Yayılması'nın İncelenmesi.



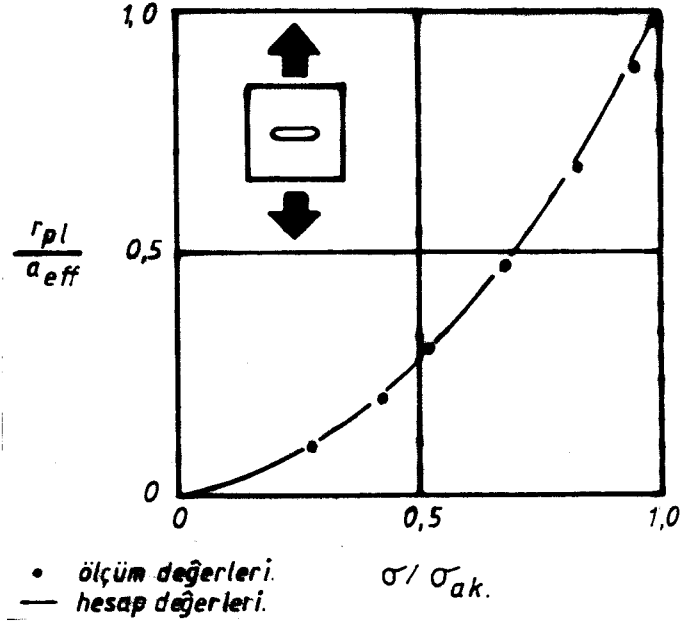
Şekil 4.10 Plastik bölge önündeki çatlağın genişlemesi.

Şekil 4.10'da plastik bölge önünde çatlağın genişlemesinin kuvvetin artışıyla gerçekleştiğini görmekteyiz. Elasto-plastik halde Dugdale tarafından verilen modelde 4.16 denklemindeki (r_{pl}) ve 4.4 denklemindeki (a_{eff}) değerlerinin bağımlılığı ile;

$$\frac{r_{pl}}{a_{eff}} = \left[1 - \cos \frac{\pi \sigma}{2 \sigma_a} \right] \quad (4.23)$$

olacaktır. Şekil 4.11'de ise çelik numunelerde gerçekleştirilen denemelerde, teorik ve deneysel olarak, (r_{pl}/a_{eff}) i

le (σ / σ_a) arasındaki ilişkiler gösterilmiştir.



Şekil 4.11 Dugdale modelinde, plastik bölgedeki uzunluklar ile gerilmelerin bağımlılığından teorik ve deneysel incelemelerin sonuçları.

Denklem 3.52 ve $\epsilon_a = (\sigma_a / E)$ ifadesinden denklem 4.22'ye uyarak (δ) ;

$$\delta = \epsilon_a \left(\frac{K}{\sigma_a} \right)^2 = \frac{K^2}{E \sigma_a} \quad (4.24)$$

şeklinde yazılır.

Irwin plastik bölge modeliyle, denklem 4.1 ve 4.5 yardımıyla ($r = r_{pl}$ ve $\theta = \gamma$) iken denklem 3.28 ve 3.29 ifadeleri dikkate alınarak, çatlak kenarlarının yer değişimi;

$$v = \frac{2}{\gamma} \frac{G}{\sigma_a} = \frac{2}{\gamma} \epsilon_a \left(\frac{K}{\sigma_a} \right)^2 \quad (4.25)$$

yazılır ve denklem 4.18'den;

$$\delta = 2v = \frac{4}{\gamma} \frac{G}{\sigma_a} = \frac{4}{\gamma} \epsilon_a \left(\frac{K}{\sigma_a} \right)^2$$

ile,

$$\delta = \frac{4}{\gamma} \left(\frac{K^2}{E \sigma_a} \right) \quad (4.26)$$

bulunur. Bu açıklamaların yapılması, 4.25 ve 4.26 ifadeleri için Irwin plastik bölgesi, 4.24 ifadesi için ise Dugdale plastik bölge modeli göz önüne alınarak gerçekleştirilmiştir. Ve denklem 4.24 ile 4.26 arasında sonuçta sadece;

$$\left(\frac{4}{\gamma} \right) = 1,27$$

gibi bir sayı vardır.

Bu 1,27 deęerinin plastik blge ile ilgili olup olmadıęı ise, yapılan arařtırmalar sonucu ifadenin;

$$\delta = \alpha \frac{G}{\sigma_a} = \alpha \epsilon_a \left(\frac{K}{\sigma_a} \right)^2 = \alpha \frac{K^2}{E \sigma_a} \quad (4.27)$$

řeklinde yazılıp, denklemdaki (α) ile gsterilen deęerin sbt. bir deęer olduęu ve (K) ve (δ)'nun kritik deęerleri ile kararsız atlak yayılması'nın;

$$0,5 < \alpha < 3$$

olduęunda grleceęi belirlenmiřtir.

Kararsız atlak yayılması (δ) COD'un kritik bir deęerinde olacaęından kırılma gerilmesi 3.51'den;

$$\sigma_k = \left(\frac{E G_c}{\pi a} \right)^{1/2}$$

ve denklem 4.22'den

$$G_c = \sigma_a \delta_c$$

olup;

$$\sigma_k = \left(\frac{E \sigma_a \delta_c}{\pi a} \right)^{1/2}$$

yazılacaktır. Bu ifademiz denklem 3.11 ile karşılaştırıldığında;

$$K = \left(\frac{E \delta}{a \pi} \right)^{1/2}$$

dan,

$$\delta = \sigma_a \delta_c \quad (4.28)$$

buluruz,

$$\delta_c = 2g \epsilon_a$$

ifadesinden ve 4.22'den,

$$G = \sigma_a 2g \epsilon_a$$

olacaktır, bu ifade'de çatlak ucu yarıçapı (ρ)'nun fazla büyümesiyle, çatlağın kararsız bir şekilde yayılabilmesi için daha fazla enerji yutulacağını, yani $G \gg R$ olduğunu göstermektedir. Bu ifadenin tek eksiği, içerisinde malzemenin mikro yapısını gösteren herhangi bir değer bulunmamasıdır.

Kritik noktalarda, $\delta \rightarrow \delta_c$, $G \rightarrow G_c$, $K \rightarrow K_c$ olacaktır. Burada verilen (δ_c) kritik çatlak açıklığı veya kritik COD değeri (Crack-Opening-Displacement) veyahut COS (Crack-Opening-Stretch) değeri olarak söylenir. Kırılma mekaniğinde COD taslağı çokça kullanılmaktadır, fakat halen tartışılmakta olan bir değerdir.

BÖLÜM 5

KIRILMA TOKLUĞU ÖLÇÜM YÖNTEMLERİ

5.1 Giriş.

Kırılma mekaniği ile ilgili temel esaslar önceki bölümlerde verilmeye çalışıldı. Malzemedeki zorlanma karşısında çatlağın oluşumu, büyümesi ve yayılması'nın incelenmesi ve yapılan deneysel çalışmalar'la birlikte birtakım sonuçlara varılır. Bulunan değerler değişik sıcaklıklar için farklı olabilmektedir. Bu durumda belli bir sıcaklık değeri için bulunan değer diğerleri içinde esas kabul edilir. Şekil değişimi sıcaklıktan başka deformasyon hızı ile de ilgilidir. Ayrıca Kırılma mekaniğinin incelenmesinde tüm araştırmacılar malzemenin mikroyapısı ile ilgili bağıntılarla birlikte kırılma olayını açıklamaya çalışmaktadırlar.

Burada K_{Ic} , COD ve J integrali kırılma tokluğu ölçüm yöntemleri verilmiştir.

K_{Ic} , çatlağın kararsız yayıldığı kritik denge noktasındaki (Mod I çatlak açılmasında, şekil 2.9) çatlak açılma durumuna göre kritik tokluk değerini ölçmektedir. K_{Ic} 'nin

tespitinde çatlak yorulmasının'da dikkate alınması gerektiği tecrübeler ile belirlenmiştir. K_{Ic} yöntemi ileride anlatılacağı şekilde bugün'de kullanılır ve geçerlidir.

K_{Ic} yalnızca yüksek mukavemetli malzemelerde çok iyi netice verdiği halde, düşük ve orta mukavemetli malzemelerden, ancak çok düşük sıcaklık çok kalın kesitli numuneler ve çok yüksek deformasyon hızlarının uygulanması halinde geçerli neticeler alınabilmektedir. Bilindiği üzere bu tür malzemelerin çatlağı önünde küçük veya büyük plastik bölge oluşmaktadır. K_{Ic} tayininde numune boyut sınırlaması olduğundan kırılma tokluğu tayini için plastik bölgenin çatlak ucunda oluşturduğu kütleşme miktarına'da (δ) diyoruz. Çatlak profili, malzeme ve yükleme durumuna bağlı olarak değişme göstereceğinden (δ)'nun kritik değerini deneysel olarak elde etmek zordur. Şekil 5.9 'de görüldüğü gibi çatlak ucu açılma miktarı (V) ile kütleşme miktarı (δ) arasındaki ilişki bulunarak kritik COD (δ_c) hesaplamasına gidilir.

Çatlak ucunda büyük plastik bölge olması halinde kırılma tokluğunun ölçülmesi büyük zorluklar gösterdiğinden COD yöntemine alternatif olarak J integrali metodu geliştirilmiştir.

Kırılma olayı sonucu Elastisite modülü (E) ve akma gerilmesi (σ_a) ve max. gerilme (σ_{max})'ın bilinmesi ile malzemenin yapısı hakkında bize gerekli bilgiler verilmiş olacaktır. Lineer-elastik kırılma mekaniği'nde E/σ_a değeri kırılma olayında geçerli bir kriter olarak belirlenmiştir.

Bugün malzemeler için; (Gevrek malzemeler)

$$\frac{E}{\sigma_a} \leq 150 \quad (5.1)$$

olması istenir. Lineer-elastik malzemelerde martensitik yapı-
lı çelikler ve östenitik çeliklerde geçerli olacak değer;

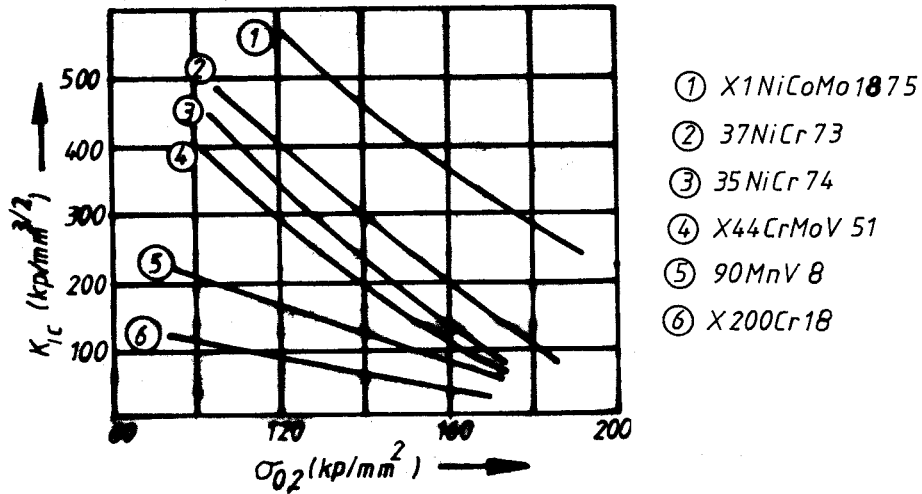
$$150 \leq \frac{E}{\sigma_a} \leq 300 \quad (5.2)$$

dir. Lineer-elastik malzemelerdeki kırılma olaylarında, yu-
karıdaki 5.2 ifadesinin geçerli olduğu gözlenir. Basıncılı
kaplar ve dönen çelik miller için ise;

$$\frac{E}{\sigma_a} \geq 300 \quad (5.3)$$

esas alınır. Lineer-elastik malzemeler'deki kırılma olayı i-
çin geçerli ifadeler genelde açıklanmıştır, bunların kulla-
nılması, mühendislik açısından uygun çözümler verecektir.

K_{Ic} ile bağımlı değerler'e göre değişik demir malze-
melerin referans eğrileri şekil 5.1 de verilmiştir.




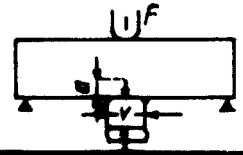
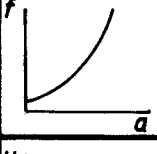
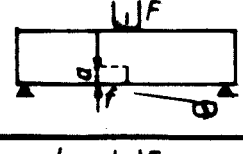
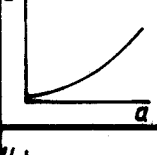
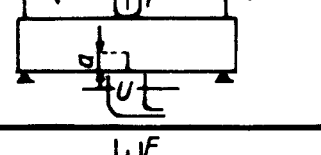
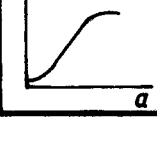
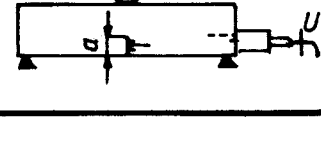
Şekil 5.1 Değişik malzemelerin gerilme ile
 K_{Ic} bağımlılığı.

5.2 (K_{Ic}) Yöntemi.

Çatlağın kararsız yayıldığı kritik (denge) noktasındaki (şekil 2.9-I çatlak açılma mod'u) durumuna göre, yorulma çatlağı'nda dikkate alınarak, kritik tokluk değerini ölçmektir.

5.2.1 Esaslar.

Önceki açıklamalar ve bulunan ifadeler temel alınarak K_{Ic} tayini için;

Çeşit	Ölçüm.	Diagram ($F=abt$)	Ölçüm şekli.
Çatlak açılışı ölçümü	Her iki çatlak yüzeyinin açılışıyla		
Compliance ölçüm.	Numunenin ortadan eğilmesiyle.		
Potansiyel ölçüm.	Her iki çatlak kenarının elektriksel pot.		
Ultrases yöntemiyle ölçüm	Hata sinyallerinin yansıtılması ile.		

Şekil 5.2 Ölçüm şekli.

Şekil 5.2'de görüldüğü gibi numuneye üzerinden baskı yapılması sonucu bu uygulanan kuvvet ile, gerekli aletler yardı-

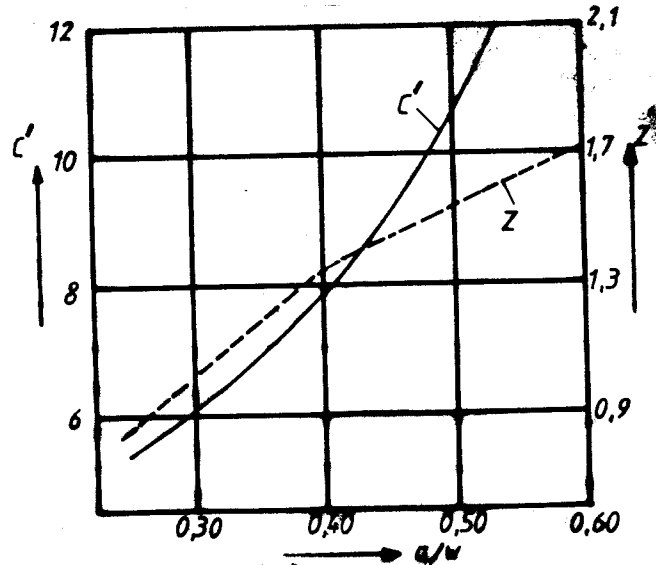
mıyla (V) çatlak açıklığı yerdeğişiminin birlikte bağımlı oldukları bir F-V eğrisi çizdirilir, oluşan eğri kararsız çatlak yayılması ile ilgisizdir. Önceki bölüm 3.4'de numune formuyla ilgili Y fonksiyonu ile, çatlak direnci;

$$K_{Ic} = \sigma_c \sqrt{a_{eff}} \quad Y \cong \sigma_c \sqrt{a} \cdot Y \quad (5.4)$$

ASTM'de; şekil değişim yolu (f), uygulanan kuvvet (F), numune hacmi (V_h), numune geometrisiyle bağımlı şekil 5.3'deki değer (Z), olması halinde, yük etkisiyle kırılmaya kadar yapılan ölçüm ile çatlak dayanımı;

$$K_{Ic} = Z \cdot \sqrt{\frac{1}{E} \frac{F \cdot f \cdot a}{2}} \quad (5.5)$$

olarak tespit edilecektir.



Şekil 5.3 (a/W) ile bağımlı sabitler.

5.2.2 Numune Formu Ve Boyut Sınırlamaları.

Tip	Gösterim	Ölçüm.	Numune formu	Boyut sınırları.
3-Nokta Eğme Numune-si	3PB	Çatlağın diğer tarafından kuvvet tatbikiyle		$\left. \begin{array}{l} a \geq 2,5 \\ B \geq 2,5 \\ w \geq 5,0 \\ s = 4w \\ L = 4,2w \end{array} \right\} \left(\frac{K_{Ic}}{\sigma_{ak}} \right)^2$
Compact Tension Numune-si.	CT	Kare form da dairelerden dışa kuvvet tatbiki.		$\left. \begin{array}{l} a \geq 2,5 \\ B \geq 2,5 \\ w \geq 5,0 \\ w = 2B \\ L = 2,4B \\ s = 1,1B \end{array} \right\} \left(\frac{K_{Ic}}{\sigma_{ak}} \right)^2$
Round Compact Tension Numune-si.	RCT	Daire form da dairelerden dışa kuvvet tatbiki.		$\left. \begin{array}{l} a \geq 2,5 \\ B \geq 2,5 \\ w \geq 5,0 \\ s = 0,4D \\ D = 2,4B \\ w = 0,75D \end{array} \right\} \left(\frac{K_{Ic}}{\sigma_{ak}} \right)^2$

Şekil 5.4 Numune Formları.

Şekil 5.4'ü incelediğimizde kırılma mekanikğine uyarlanabilecek, uygun sonuçları verecek numune formlarını görebiliriz. K_{Ic} , DDH'de geçerli olacağından plastik bölge burada yeteri kadar küçük ve etkisizdir.

K_{Ic} 'nin uygun şekilde belirlenebilmesi için, şekil 4.4 ve B kalınlığı ile bağımlı, 4.13 denkleminde;

$$B \geq 2,5 \cdot \left(\frac{K_{Ic}}{\sigma_a} \right)^2 \quad (5.6)$$

ifadesi, ve (a) toplam çatlak uzunluğu ile bağımlı;

$$a \geq 2,5 \cdot \left(\frac{K_{Ic}}{\sigma_a} \right)^2 \quad (5.7)$$

sınırları içerisinde olması gerektiği uygun görülmüştür.

Numunenin, kırılmanın oluşacağı yüzeyler arası mesafe (çatlak genişliği, x_g) ile numune genişliği (W) arasındaki ilişki ise;

$$x_g \leq 0,05 \cdot W \quad (5.8)$$

şeklinde olacaktır.

Çatlak açılma şekilleri değişik tiplerde (şekil 5.5'de ve - rildiği gibi) olabilmektedir. Numunelerin bu değişik şekillere göre, (\mathcal{L}) ile gösterilip, yorulma çatlakları dışındaki çatlak uzunluğu olarak bilinen ifadesinin;

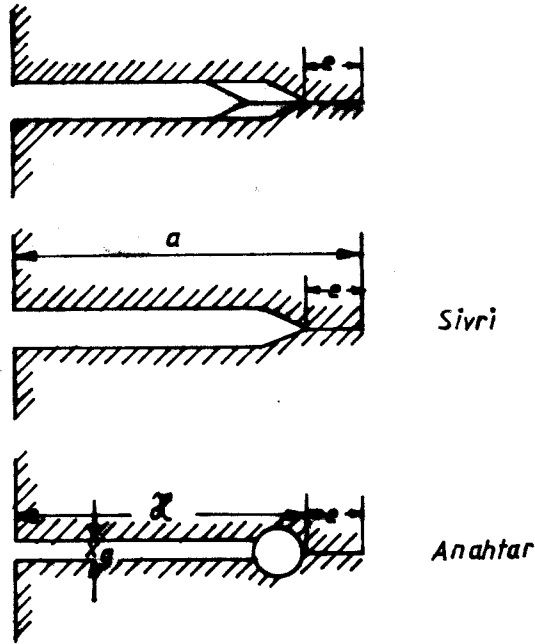
3 PB (3 noktadan eğme) numunesinde;

$$0,45 W \leq \ell \leq 0,55 W \quad (5.9)$$

CT (compact tension) ve RCT (round compact tension) numunelerinde ise;

$$0,55 W \leq \ell \leq 0,65 W \quad (5.10)$$

sınırları içinde hazırlanmaları gerekir.



Şekil 5.5 Çatlak açılma tipleri.

Akma eğrileri denemenin farklılığına göre değişiklik gösterecektir. CT , RCT ve 3 PB numunelerinde;

$$K_{Io} / E \leq 6,06 \cdot 10^{-3} \text{ mm}^{1/2} \quad (5.11)$$

$$K_{Io} \leq 0,6 \cdot K_{Ic} \quad (5.12)$$

$$K_{Iu} \leq 0,1 \cdot K_{Io} \quad (5.13)$$

şartlarının sağlanması gerekir. Burada K_{Io} ve K_{Iu} max. σ_o ve min. σ_u için bulunmuş değerlerdir.

Yorulma çatlaklığı (e) ise;

$$e \geq 0,05 \ell \quad (5.14)$$

olmalıdır. Eğer K_{Ic} hesaplanacaksa, çatlak uzunluğunun en az yorulma çatlaklığına 5.14 ifadesindeki şekilde eşit olmalıdır. Yorulma çatlaklığı karşısındaki düzlem eğimi 10° 'den fazla olduğunda, bu eğimli yüzey karşısındaki sınırlı düzlemin ölçümünde K_{Ic} geçersiz olacaktır. Bu sonuç denemeler ile edinilen tecrübelerle tespit edilmiştir.

Şekil 5.6'da K_{Ic} numunesinde kırılma yüzeyi ve yandaki şemada ise çatlak tespiti için eğri ile sınırlanan bölüm, yorulma çatlak yüzeyinin sınırlarını vermektedir. Çatlak uzunluğunun ölçümü için kırılma yüzeylerini kullanmaktayız, bu-

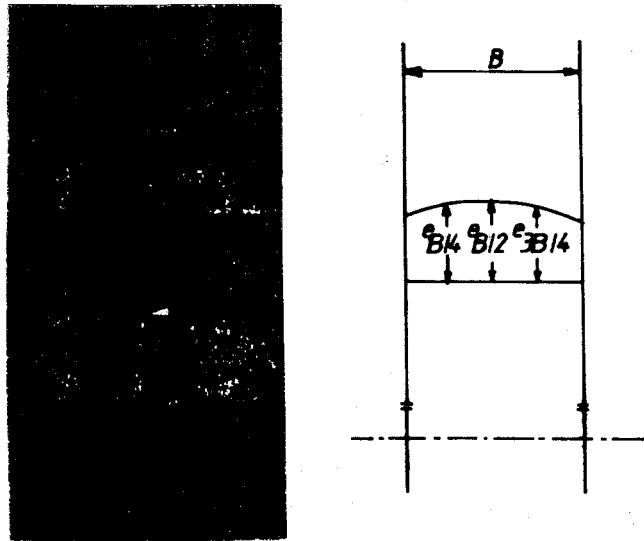
nun için şekil 5.6'daki şemada verilen, yorulma çatlak uzunluğu için;

$$e_{B/4} \div e_{B/2} \div e_{3B/4}$$

değerlerinin aritmetik ortalaması, \bar{e}_1 ise;

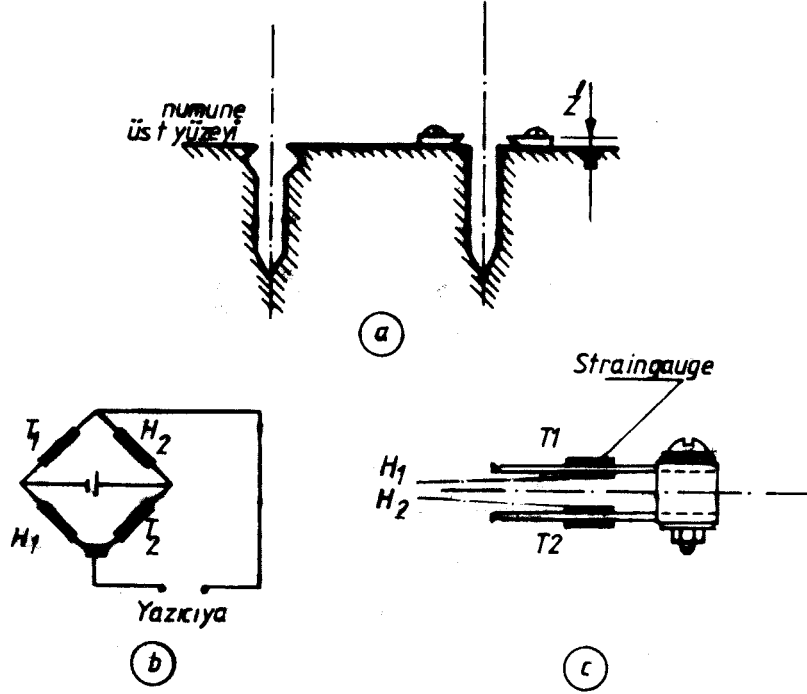
$$\frac{e_i - \bar{e}_1}{\bar{e}_1} 100 \% \geq \% 5 \quad (5.15)$$

sınırları arasında olması kesinlikle istenir.



Şekil 5.6 K_{Ic} numunesinde kırılma yüzeyi ve şemada yorulma çatlak yüzeylerinin sınırları.

5.2.3 Çatlak Açıklığı Ölçümü.



Şekil 5.7 Çatlak açıklığı ölçüm düzeni.

- a) Numunede hazırlanmış özel formlar.
- b) Wheatston köprü devresi.
- c) Klip-gauge.

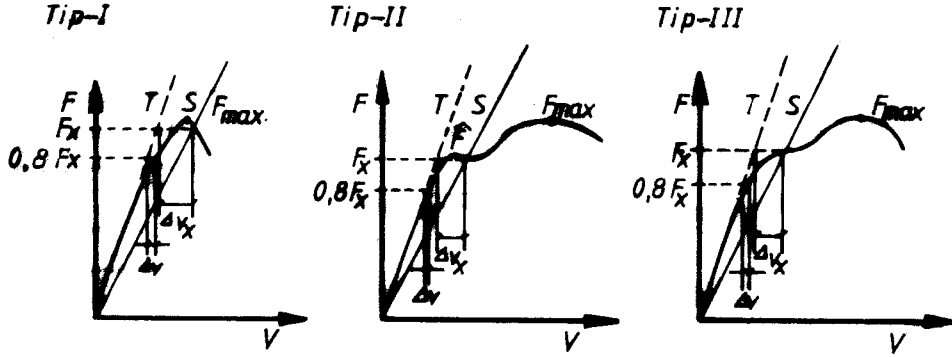
Çatlak açıklığı ölçümü şekil 5.7'de görülen düzenek yardımı ile gerçekleştirilir. (c) ile verilen şekilde çatlak açılma değerini ölçebileceğimiz (Klip-gauge) adı verilen düzeneği görmekteyiz. Burada bir gövdeye tutturulmuş iki adet karşı-

lıklılı yerleřtirilen yay elięi, ve bunların zerlerine sinyalleri iletebileceęimiz, T_1 , T_2 , H_1 , H_2 ile gsterilip Őekildeki gibi yaylı iki dil zerine yerleřtirilen drt adet Straingauge ve Őekil (b)'de bu Straingaugelerin sinyallerini iletebileceęimiz biimde hazırlanmıř Wheatston kpr devresi ile Őekil (a)'da Klip-gauge'nin ularına uygun Őekilde, uları tutabilecek Őekilde numune st yzeyinde hazırlanmıř zel yerler grlmektedir. (Z) numune st yzeyine yay elięini tutacak Őekilde tespit edilen entikli paranın ykseklilięidir.

atlak aılmasında oluřan sinyallerin yazıcıya aktarılması ile sonu alınmıř olacaktır.

5.2.4 Deney Sonuçlarının Değerlendirilmesi.

Kullanılan numunelerin cinslerine göre değişik eğriler elde edilir. Yükleme ile çatlak açıklığı $F-v$ değerlerinin eğrileri bir xy yazıcısından alınır. Buradan % 2 çatlak büyümesine karşılık gelen nokta eğri üzerinde işaretlenir. Deneyler sonucu elde edilen eğrinin lineer kısmının eğiminden yaklaşık % 5 daha düşük eğime sahip doğrunun $F-v$ eğrisini kestiği nokta bu kritik noktayı, bu noktada elde edilen değer kritik kuvveti yani kararsız çatlak büyümesinin başladığı kuvveti göstereceği tespit edilmiştir. Olayı şekil 5.8'de görmek mümkündür.



Şekil 5.8 Değişik yapıdaki numunelere ait $F-V$ eğrileri.

Bölüm 5.2.2 ve 5.2.3'de numunelerin boyut sınırlamaları ve

çatlak açıklığı ölçümünde verilen esaslar'a uygun şekilde hazırlanan bir numune ile yapılan denemede, (K) Kırılma şiddeti faktörü'nün zamanla değişim sınırlarının;

$$1,66 \text{ kpmm}^{-3/2} \text{sec}^{-1} \leq K \leq 8,35 \text{ kpmm}^{-3/2} \text{sec}^{-1} \quad (5.16)$$

şeklinde olması gerektiği belirlenmiştir. Deformasyon hızının değişimi ile çatlak oluşumu, büyümesi ve yayılması etkileneceğinden, uygulanan yük F'in etkili olmasında deformasyon hızı'nın değişiminin zamanla sabit kalması gerekmektedir. Şekil 5.8'de verilen eğrilerden,

Tip-I

Çok gevrek malzemelere ait bir eğridir. F_x , F_{max} . dan daha küçük olduğundan ve ayrıca stabil olmayan bölgeye düştüğünden hesaplamada F_{max} . kullanılır.

Tip-II

Burada max. bir yükten sonra ani bir düşüş (kararsız çatlak büyümesi) görülür. Fakat bu daha sonra plastik deformasyonla engellenir. (eğrinin tekrar yükselmesi). Yine aynı eğimde çizilen doğrunun kestiği yük kritik yük'ü verir burada'da aynı kriter, $\Delta v \leq 0,25 \cdot \Delta v_x$ geçerlidir. Yanlız elde edilen F_x hem \hat{F} 'den daha küçük hemde daha az plas-

tik deformasyonla oluřtuđundan, K_{Ic} hesabında \hat{F} gözönüne alınır. Bu tip diagrafıma sahip metallere tip-III 'ü veren metallere daha gevreklerdir.

Tip-III

Bu tip eğriler daha ziyade sünek malzemelere ait eğrilerdir. Kararsız çatlak büyümesinin başladığı noktada eğride önemli bir deđişim görülmez. Daha evvelcede belirtildiği üzere elastik bölgenin eğiminden % 5 daha küçük eğime sahip bir doğrunun bu eğriyi kestiği nokta kritik yük'ü verir. Yanlız bu deđerın geçerli olabilmesi için $0,8 F_x$ 'de eğrinin doğrudan sapması olması gerekmektedir. Aksi takdirde plastiklik fazla olacağından K_{Ic} deđerleri elde edilemez.

Kararsız çatlak açılmasında kritik gerilmeyi verecek kuvveti (F_Q ile gösterirsek) mutlaka belirlememiz gerekecektir. Şekil 5.8'de (T) ile gösterilen doğru, eğrilerin lineer olarak uzanan kısımları, (S) ile gösterilen doğru ise (T) doğrusundan % 5 meyilli olan doğrudur. Üç noktadan eğme numunelerinde (S) doğrusu (T) doğrusundan yukarıda verildiği şekilde % 5, Compact Tension ve Round Compact Tension numunelerinden elde edilen eğrilerde ise % 4 meyille alınmasının daha uygun çözümler vereceği belirlenmiştir.

F_Q , \hat{F} , F_x , F' , F_{max} . ve ΔV ile ΔV_x değerlerinin belirlenmesi ile,

K_{Ic} ,

1- Kritik kuvvet değeri F_Q tespit edilir,

I. eğri tipinde, $F_Q = F_{max}$.

II. " " $F_Q = \hat{F}$ ile $\hat{F} \geq F_x$

III. " " $F_Q = F_x$

2- $\Delta V \leq 0,25 \cdot \Delta V_x$ olduğu ispat edilmeli,

(5.17)

3- K_Q hesabında,

3 noktadan eğme numunesinde, (3 PB)

$$K_Q^{(3 PB)} = \frac{F_Q \cdot (S/4)}{B \cdot (W^2/6)} \sqrt{a} \quad Y^{(3 PB)} \quad (5.18)$$

Compact tension numunesinde, (CT)

$$K_Q^{(CT)} = \frac{F_Q}{B \cdot W} \sqrt{a} \quad Y^{(CT)} \quad (5.19)$$

Round compact tension numunesinde, (RCT)

$$K_Q^{(RCT)} = \frac{F_Q}{B \cdot W} \sqrt{a} \quad Y^{(RCT)} \quad (5.20)$$

Buradan her üç numune formu için geçerli olan (Y) değerleri

3 noktadan eğme numunesinde, (3 PB)

$$Y^{(3 PB)} = 1,93 - 3,07 \left(\frac{a}{W}\right) + 14,13 \left(\frac{a}{W}\right)^2 - 25,1 \left(\frac{a}{W}\right)^3 + 25,8 \left(\frac{a}{W}\right)^4 \quad (5.21)$$

Formülde, $0 \leq \frac{a}{W} \leq 0,6$ olmalıdır.

Compact tension numunesinde, (CT)

$$Y^{(CT)} = 29,6 - 185,5 \left(\frac{a}{W}\right) + 655,7 \left(\frac{a}{W}\right)^2 - 1017 \left(\frac{a}{W}\right)^3 + 638,9 \left(\frac{a}{W}\right)^4 \quad (5.22)$$

Formülde, $0,3 \leq \frac{a}{W} \leq 0,7$ olmalıdır.

ve son olarak,

Round compact tension numunesinde, (RCT)

$$Y^{(RCT)} = 29,6 - 162 \left(\frac{a}{W}\right) + 492,6 \left(\frac{a}{W}\right)^2 - 663,4 \left(\frac{a}{W}\right)^3 + 405,6 \left(\frac{a}{W}\right)^4 \quad (5.23)$$

Formülde, $0,3 \leq \frac{a}{W} \leq 0,7$ olmalıdır.

4- Bölüm 5.2.2'deki denklem 5.6 ve 5.7'den;

$$K_Q \leq \sigma_a \sqrt{\frac{a}{2,5}} \quad (5.24)$$

$$K_Q \leq \sigma_a \sqrt{\frac{B}{2,5}} \quad (5.25)$$

değerleri kontrol edilmeli,

5- Yukarıda anlatılan 2 ve 4. maddeler sağlanırsa, K_Q değeri çatlak mukavemeti için geçerli bir değer olarak,

$$K_Q = K_{Ic} \quad (5.26)$$

şeklinde (Kritik tokluk değeri) belirlenecektir.

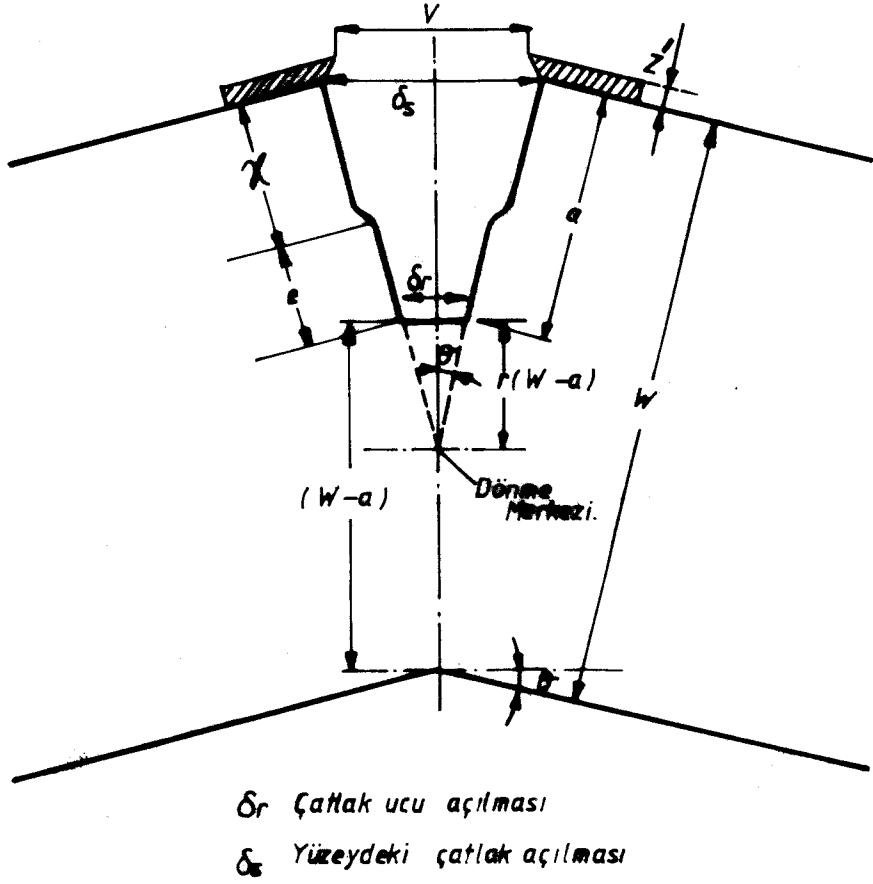
6- Yukarıda anlatılan 2 veya 4. maddelerden birisi, ve ya ikisi birden sağlanamaz ise, çatlak mukavemeti için belirlenen (K_Q) değeri kesinlikle geçersizdir.

Bu durumda (B) kalınlığı daha fazla olan numuneler ile yeni denemeler yapılması gerekecektir.

Malzemelerin sünek olması durumunda geçerli K_{Ic} değeri eldesi için çok büyük boyutlu numuneler gerektiğinden bu durum hem pratik değil hemde ekonomik açıdan büyük zorluklar çıkarmaktadır. Bu zorlukların aşılması için yeni metodlar geliştirilmiştir.

5.3 COD (Crack-Opening-Displacement) Yöntemi.

5.3.1 Giriş.

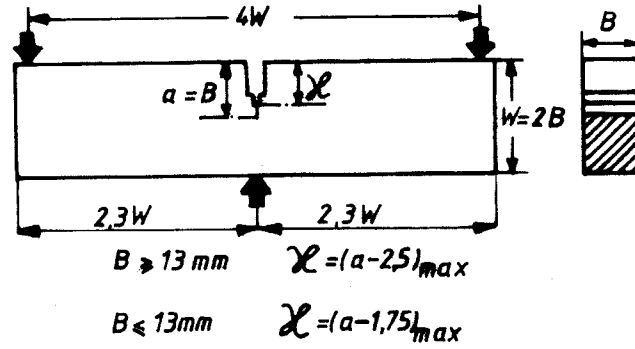


Şekil 5.9 COD çatlak açıklığı ölçüm modeli.

Plastik bölgenin çatlak ucunda oluşturduğu kütleleşme miktarına (δ) diyoruz. Çatlak profili, malzeme ve yükleme durumuna bağlı olarak değişme göstereceğinden (δ)'nun kritik değerini deneysel olarak elde etmek zordur. Bunun için şekil'de

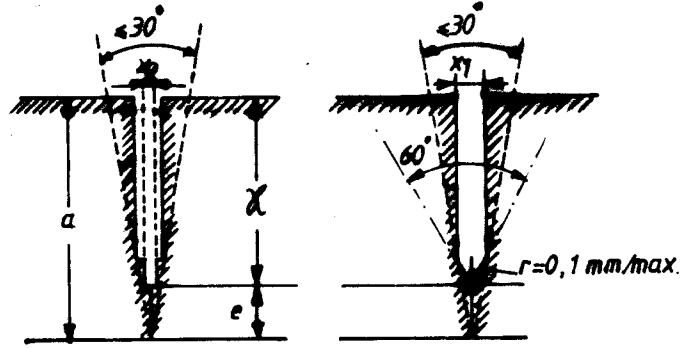
görüldüğü gibi, çatlak ucu açılma miktarı (V) ile kütleşme miktarı (δ) arasındaki ilişki bulunarak kritik COD (δ_c) hesaplanmasına gidilir.

5.3.2 Numune Formu Ve Boyut Sınırlamaları.



Şekil 5.10 (δ_c) tayini için (3 PB) 3 noktadan eğme numunesi.

Şekilde verilen sınırlamalar aynen kullanılır. Numune kalınlığı (B)'nin (R)'nin farklı değerler almasına göre alınacağı değerler de verilmiştir.



Şekil 5.11 (δ_c) tayini için numunedeki
çentik formu.

Şekil 5.11'deki çentik'de;

$W = 25$ mm, $x_2 = 0,15_{\max}$ iken,

$$1,5\text{mm} \leq x_1 < 1/16 W \quad (5.27)$$

sınırları arasında olmak zorundadır. Şekilde verildiği gibi
 e ' yorulma çatlakı uzunluğu önünden itibaren açının 30°
olması'da gerekir. Yorulma çatlakı uzunluğu (e) ise;

$$e = a - x \quad (5.28)$$

olmalıdır. Akma gerilmesi ve numune kalınlığı ile bağımlı

bir kırılma faktörü (K_f),

$$K_f < 0,63 \cdot \sigma_a \cdot \sqrt{B} \quad (5.29)$$

tespit edilir. Çatlağı deforme edecek min. kuvvet (F_a) ile gösterilirse, bu değer (a/W) ile bağımlı olarak,

$$F_a = \frac{K_f \cdot B \cdot \sqrt{W}}{C'(a/W)} \quad (5.30)$$

denklemi yazılır. Burada $C'(a/W)$ değeri bir kalibreleme sabitidir, ve şekil 5.3'den alınır. (a/W) değeri ise,

$$0,45 \leq a/W \leq 0,55 \quad (5.31)$$

sınırları arasında olmalıdır. Çatlak oluşumu, çatlak uzunluğundaki $(0,05 \cdot W)$ 'lik bir değişim sonucu gerçekleşecektir. Ayrıca kuvvetin uygulanma süresi,

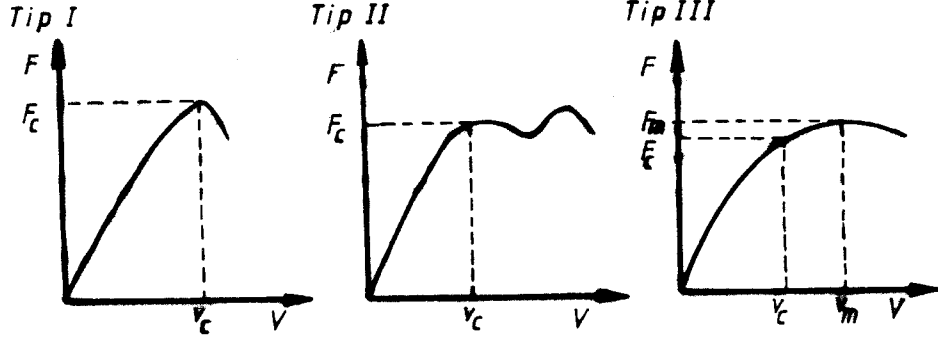
$$30 \text{ sn.} \leq t \leq 300 \text{ sn.} \quad (5.32)$$

sınırları arasında olması gerekir.

5.3.3 Çatlak Açıklığı Ölçümü.

Bölüm 5.2.3'de olduğu şekilde gerçekleştirilir.

5.3.4 Deney Sonuçlarının Değerlendirilmesi.



Şekil 5.12 COD eldesi için elde edilen F-V eğrileri.

Yukarıdaki gibi eğriler xy yazıcısıyla elde edilip değerlendirilmeleri tiplere göre;

Tip-I

Az bir plastik deformasyondan sonra (bu arada kuvvet aniden düşmektedir) çatlakın kararsız bir şekilde yayılması görülmektedir. Hesaplama, kritik kuvvet (F_c) ile kararsız çatlak yayılması ifadesi (V_c) yukarıdaki şekildeki gibi alınır.

Tip-II

Bazı durumlarda (V) değeri büyürken kuvvet (F) sabit kalmaktadır. Kararsız çatlak yayılması bir plastik bölge ile dengelenerek tekrar kuvvet artışı ile eğride yükselme olur ve tekrar kararsızlık oluşarak eğri düşer, burada 1. yükselip düşen kararsızlık alınarak (V_c) büyümesine karşılık gelen (F_c) değeri hesaplamada dikkate alınır.

Tip-III

Fazla plastik deformasyon durumunu içermektedir, burada eğer seçilen ilk noktalarda çatlak yayılması başlamışsa (F_c) ve (V_c) yerine (F_m) ve (V_m) noktaları alınır.

Buradaki sonuçlar ile, V_c , F_c ile şekil 5.9'da dikkate alınarak (δ_c) için iki yöntem kullanılır, bunlar;

1-

$$\delta_c = M [V_c - V_{e1}] \quad (5.33)$$

Burada,

$$V_c \geq 2 \cdot V_{e1} \quad (5.34)$$

Veyahut,

$$\delta_c = M \frac{V_c^2}{4 \cdot V_{e1}} \quad (5.35)$$

5.35 ifadesinde,

$$V_c \leq 2 \cdot V_{el} \quad (5.36)$$

alınır. Denklemdaki (M) değeri,

$$M = \frac{0,45 \left(1 - \frac{a}{W} \right)}{0,45 + 0,55 \left(\frac{a}{W} \right) + \left(\frac{Z'}{W} \right)} \quad (5.37)$$

şeklindedir, ifadedeki (Z') ise, şekil 5.9'da numune üst yüzeyinden itibaren, klip-gauge'nin tespiti için konulan parçanın yüksekliğidir. (V_{el}) ise, çatlak açıklığının elastik sınır değerini açıklayan bir ifadedir. Bu,

$$V_{el} = Z \cdot \frac{\sigma_a \cdot W \cdot (1 - \nu^2)}{E} \quad (5.38)$$

denklemdaki (Z) ise şekil 5.3'den alınabilir.

Çatlak oluşurken numune ortadan ikiye ayrılır ve bu olay bir dönme merkezi etrafında gerçekleşir. Bunu şekil 5.9'da görebiliriz.

2- Bu yöntemde,

$$\delta_c = \frac{(1 - \frac{a}{W})}{2 \cdot \frac{a}{W} + 3 \cdot \frac{a}{W} + 1} \cdot V_c \quad (5.39)$$

denklemini kullanılır. Olay bir dönme merkezi etrafında olmaktadır, bu merkez ile çatlak uzunluğunun son noktası arası mesafenin tecrübeler ile,

$$\frac{1}{3} \cdot (W - a) \quad (5.40)$$

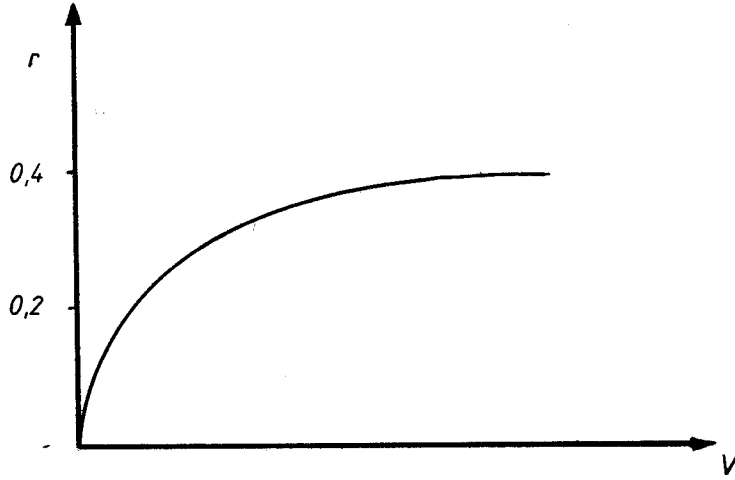
olduğu belirlenmiştir. Burada numune kalınlığının, $B \cong 50 \text{ mm}$ ' ye kadar olması halinde (δ_c) nin,

$$0,062 \text{ mm} \leq \delta_c \leq 0,625 \text{ mm} \quad (5.41)$$

sınırları arasında değişim göstereceği belirlenir.

Yukarıda açıklanan 1. ve 2. maddelerde, (δ_c) 'nin hesaplanmasında eğme numunesinin çatlak ucunun bir dönme merkezi etrafında dönerek açılması kabulü ile yapıldığı belirtilmiştir.

Dönme faktörü (r), test parçasında meydana gelen plastiklik ile ilgili olarak, şekil 5.13'de görüldüğü gibi değişir. Ortalama ($r \cong 0,33$) alınırken, aşırı plastiklik durumunda ($r \cong 0,40$) alınır.



Şekil 5.13 Dönme faktörü (r) ile (V)'nin değişimi.

Ayrıca test parçaları sınırlı bir plastik deformasyondan sonra kullanılacaklarından verilen yukarıdaki formüllerin BS 5762, 1979 standartlarında en son kullanılacak şekildeki ifadeleri ise, üç'üncü bir madde olarak, (δ_c) değeri,

3-

$$\delta_c = K_f^2 \frac{(1-v^2)}{2 \sigma_o E} + \frac{0,4 (W-a) V_p}{0,4 W + 0,6 a + Z'} \quad (5.42)$$

5.42 ifadesinde,

$$K_I = \frac{C' \cdot F}{B \cdot W^{1/2}} \quad (5.43)$$

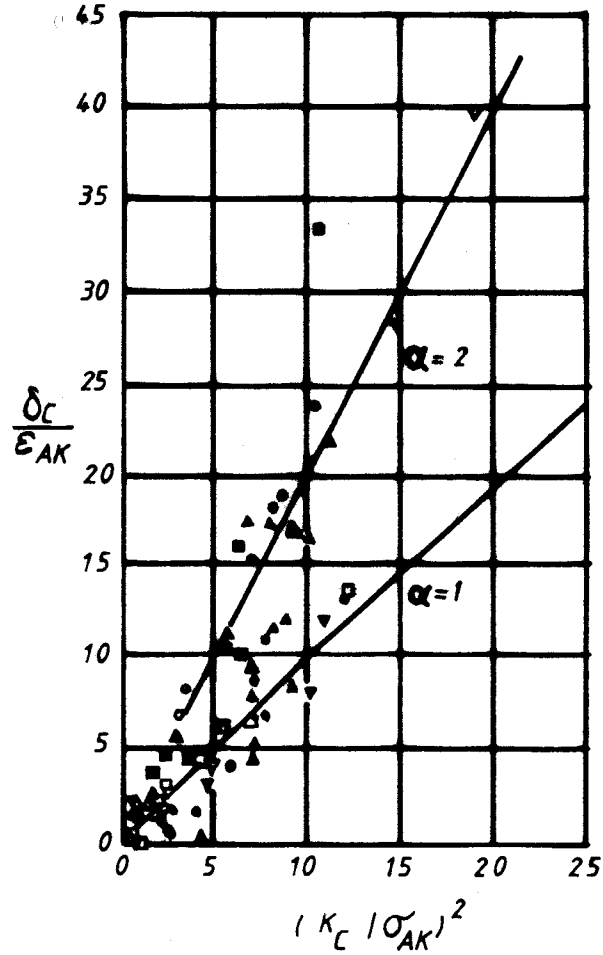
değerindedir. Formülde (C' , $0,15 < a/W < 0,7$) değerleri arasındaki üç noktadan eğme numunesi için kompliyans katsayısı değerleridir. (V_p ise, V_1 , V_c , V_u , V_m) çatlak ucu açılma miktarlarının plastik bileşenleridir. (V_p bileşenlerinin belirlenmesini, BS 5762:1979 standardında görebiliriz)

Robinson(17) ve Tetelman(18) adlı araştırmacılar, $B = 25 \cdot \delta_c$ olduğunu göstermişlerdir. Bu sınırlılık K_{Ic} testindeki sınırlılıktan çok daha düşüktür. Dolayısıyla daha küçük numuneler kullanarak çatlak ucundaki kütleleşme miktarı (δ_c) kritik COD'un değeri, kırılma tokluğunun değerlendirilmesinde kullanılır.

Eğer ($F_{max.} / F_x$) $< 1,1$ ise, (5.8 nolu şeklimizden) bu takdirde kritik çatlak açıklığı olarak lineer bölgeden % 5 daha düşük eğime sahip doğrunun eğriyi kestiği nokta alınır. Böylece K_{Ic} 'ye karşılık gelen (δ_c) elde edilir. Malzeme kalınlaştıkça (δ_c) değişimi daha yüksek sıcaklıklara itilir. Durumu şekil 5.14'de görmek mümkündür. Ayrıca K_{Ic} ile (δ_c) arasındaki bağıntıyı veren ifade,

$$\delta_c = \alpha \cdot \left[a \cdot \left(\frac{K_c}{\sigma_a} \right)^2 \right] \quad (5.44)$$

5.44'de verilen ifade, çeşitli çelikler için incelenmiş ve aşağıdaki şekil 5.14'de görüldüğü gibi ($1 < \alpha < 2$) aralığında uygunluk sağlanmıştır. Bu netice'de bize (δ_c)'nin malzemenin kırılmaya karşı davranışında (K_c) gibi yeterli bilgi verdiğini göstermektedir.



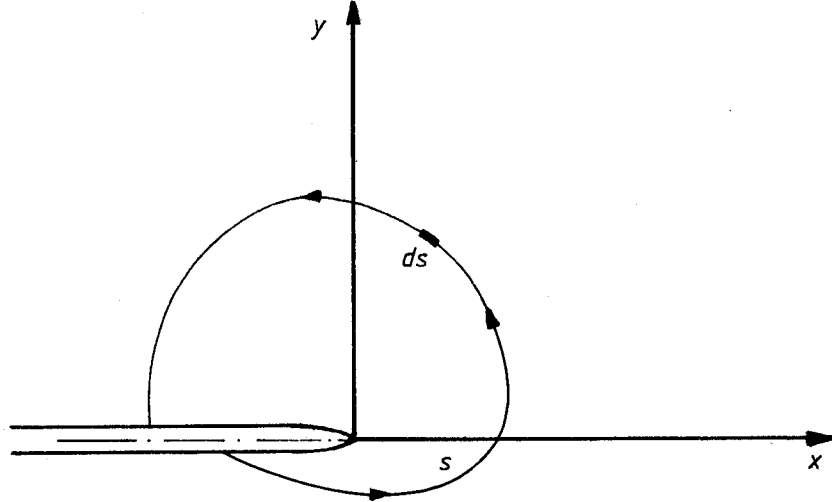
Şekil 5.14 Çeşitli çeliklerde (δ_c / ϵ_a) ile $(K_c / \sigma_a)^2$ arasındaki bağıntı.

5.4 J İntegrali.

İçerisinde (2a) uzunluğunda çatlak bulunan ideal - gevrek bir malzemede, zorlanma karşısında çatlak büyürse mekanik enerji değişimi;

$$- \frac{d(-W' + U_{el})}{B \cdot d(2a)} = G_{Ic} \quad (5.45)$$

idi. Bu çatlak ucu civarında çizilen bir kapalı eğri içinde enerji durumu;



Şekil 5.15 J integralini tarifleyen kapalı eğri.

yukarıdaki şekil dikkate alınarak,

$$\frac{W'}{B} = \int_s \vec{\sigma} \cdot \vec{U} \cdot ds \quad (5.46)$$

$$\frac{U_{el}}{B} = \int_A U_{el} \cdot dA \quad (5.47)$$

denklemlerde,

$\vec{\sigma}$ etkiyen gerilme vektörü.

\vec{U} deplasman vektörü.

U_{el} elastik enerji yoğunluğu.

dA eğri içindeki alan.

şeklindedir, bu ifadelerin toplamının $(-W' + U_{el})/B$ çatlak boyuna göre değişimi, uzun işlemlerden sonra,

$$-\frac{1}{B} \cdot \frac{d(-W' + U_{el})}{(2a)} = \int_s \left[\vec{\sigma} \left(\frac{\partial \vec{U}}{\partial x} \right) ds + U_{el} \cdot dy \right] = J \quad (5.48)$$

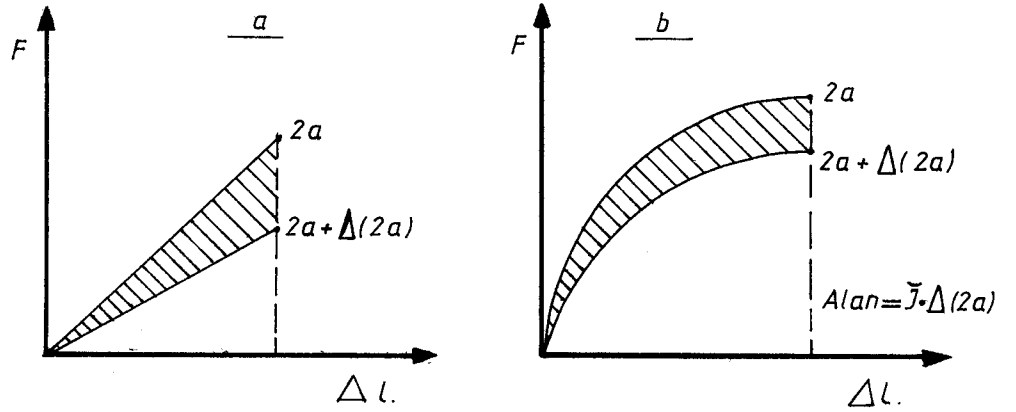
yani $G_{Ic} = J$ dir.

Yalnız $G_{Ic} = J$ durumu lineer-elastik malzeme için geçerli dir. Çünkü plastik bölgede yapılan deformasyon işinin hepsi mekanik enerjiye çevrilemez (plastik deformasyon nedeniyle) aşağıdaki şekilde (a)'da $\Delta l = s \cdot b \cdot t$ halinde lineer-elastik malzemenin farklı iki çatlak boyu durumundaki elastik enerji farkı 5.45 nolu denkleme göre,

$$G_{Ic} \cdot B \cdot d(2a) = J \cdot B \cdot d(2a) \quad (5.49)$$

ifadesine eşittir. Elasto-plastik bir cisimde ise, şekil 5.16 (b)'de deformasyon işinin hepsi bölgedeki (elastik) mekanik enerjiye çevrilmediğinden bu bağıntıyı, yani $G_{Ic} \cdot B \cdot d(2a)$ bağıntısını yazamayız. Yalnız 5.48 nolu denklemdeki integral ister Lineer-elastik isterse Elasto-plastik

malzeme olsun yola bağılı değildir. Yani çatlak civarında çizilen herhangi bir kapalı eğri boyunca integralin değeri aynı kalmaktadır. Diğer taraftan integral ifadesine dikkat edilecek olursa bunun çatlak uzunluğundaki artışa göre, mekanik enerjideki değişimi verdiği görülür. Ayrıca yola bağılı olmaması bu değerın tıpkı (K) ve (G) gibi malzemeye ait karakteristik bir büyüklük olduğunu gösterir. Yanlız kırılma kriteri olarak kararsız çatlak büyümesinin sınırını vermez. (ideal gevrek malzemeler hariç)



Şekil 5.16 Lineer-elastik ve Elasto-plastik malzemelerde $F-\Delta l$ eğrileri.

Kısaca J integrali belli bir kritik değere çıkınca J_c veya J_{Ic} çatlak büyümesi başlar. Bu duruma göre şekil 5.16 (b) deki elasto-plastik malzemenin $\Delta l = sbt.$ durumunda farklı iki çatlak boyu durumundaki enerji farkının (U) çatlak boyuna göre değişimi,

$$-\frac{l}{B} \cdot \frac{dU}{d(2a)} = J \quad (5.50)$$

Yani taralı alanın değeri $J \cdot B \cdot d(2a)$ olur. Yani çatlakın $(2a)$ uzunluğundan $(2a+d(2a))$ uzunluğuna büyüyerek erişmesi halinde, iki uzunluk arasındaki mekanik enerjinin çatlak boyuna göre değişiminin farkını verir. Yani J integrali G enerji bırakma hızı ile ilgilidir. Küçük miktarlardaki plastik deformasyon durumları için,

$$J = G \quad (5.51)$$

yazılabilir, Kritik değerleri ise,

$$J_{Ic} = G_{Ic} \quad (5.52)$$

olacaktır. Büyük miktarda plastik deformasyon olduğu zaman;

$$J_{Ic} = \frac{K_{Ic}^2}{E} \quad (5.53)$$

şeklindedir.

Kritik (J_{Ic}) parametresini tanımlamak için iki yaklaşım ileri sürülmüştür.

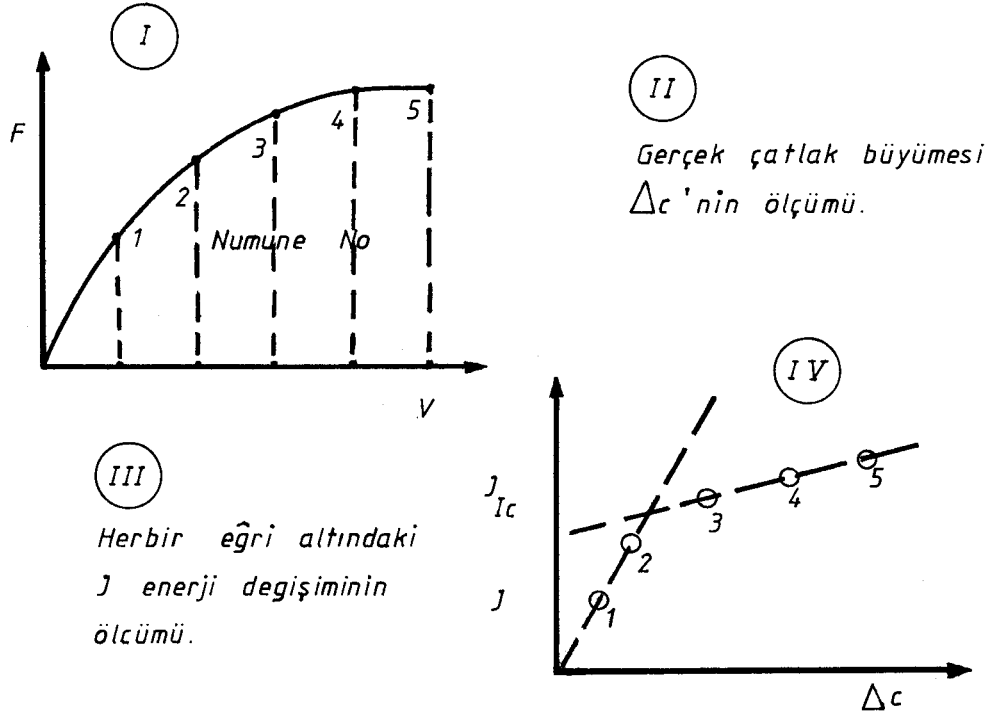
- 1- Begley(19) ve Landes(20)'in çok numune yaklaşımı.
- 2- Paris(21)'in tek numune yaklaşımı.

Çok numune yaklaşımıyla (J_{Ic}) kritik (J) bulunmasının ana -

hatları şekil 5.17'de görülmektedir. Begley(19) ve Landes böyle bir diagramın iki yaklaşık eğriye sahip olduğunu, birinci lineer eğrinin gerçek çatlak büyümesinden önce çatlaklı körleştirmeye çalıştığını, ikinci eğrinin ise çatlakın kendi büyümesine ortak olan eğri olduğunu göstermişlerdir. Bu iki lineer eğrinin kesiştikleri yerdeki değer, kritik $J-J_{Ic}$ değeridir. Bu değerden (K_{Ic}) değeri hesaplanır. Bu testin numune boyutu ile ilgili sınırlamasının;

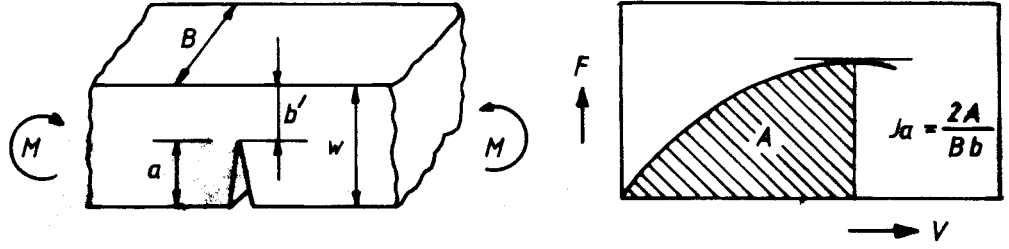
$$W - a = 50 \cdot \left(\frac{J_{Ic}}{\sigma_a} \right) \quad (5.54)$$

olduğu tecrübelerden bulunmuştur.



Şekil 5.17 Çok numune yaklaşımıyla kritik-J (J_{Ic})'nin bulunması.

Paris(21)'in tek numune yaklaşımı ise şekil 5.18'de gösterilmiştir.



Şekil 5.18 Tek numune yaklaşımıyla (J_{Ic})'nin bulunması.

$$\text{Eğer, } M_{\max.} > 0,3 \cdot B \cdot b^2 \cdot \sigma_{a0,2} \quad (5.55)$$

$$\text{ve, } A, B, b' > 50 \cdot \left(\frac{J_Q}{a} \right) \quad (5.56)$$

$$\text{ise, } J_Q = J_{Ic} \quad (5.57)$$

olur. Tek numune yaklaşımıyla kritik- $J(J_{Ic})$ değerini bulurken, şekil 5.18'deki gibi boyutlandırılmış numunede F-V eğrisinde görülen max. yüke karşılık gelen çatlak başlangıç noktasına kadar absorbe edilen enerji kullanımından istifa edilir. Yukarıdaki ifadelerden, 5.55, 5.56, 5.57'den,

$\sigma_{a_{0,2}}$ = % 0,2 ye tekabül eden akma gerilmesi.

σ_{kop} = Kopma mukavemeti.

σ_a = $\frac{1}{2}(\sigma_{a_{0,2}} - \sigma_{kop})$ 'yı simgeler.

Paris'in tek numune yaklaşımında kullanılan numunelerin henüz standardı geliştirilmemiştir. Çalışmalar devam etmektedir.

J-İntegrali üzerindeki kuşkular, kritik- $J(J_{Ic})$ 'nin hassas olarak bulunup bulunmadığı ve gevrek malzemelerde G_{Ic} ile J_{Ic} arasındaki geliştirilen bağıntılara duyulan tereddütler üzerindedir.

BÖLÜM 6

DENEYSEL ÇALIŞMALAR VE SONUÇLARI

6.1 Giriş.

Önceki 5 bölüm'de, kırılma mekaniği'nin temel esasları ile kırılma mekaniği'nde önemli bir büyüklük olan Kırılma şiddeti faktörü'nü belirleyebilmek için, geçerli olacak kırılma tokluğu ölçüm yöntemleri açıklanmaktadır.

Bu son bölüm'de ise, önceki 5 bölümde anlatılan tüm esaslara uygun olacak şekilde, seçilen numuneler ile deneysel çalışmanın yapılışı ve bu çalışma sonucu elde edilen eğrilerin değerlendirilmesiyle, bulunan sonuçlar verilmektedir.

6.2 Seçilen malzeme'ler.

Deneysel çalışma'da gevrek malzeme'lerdeki olayları gözlemek için Special-K ve Plexiglas ile sünek malzeme'lere örnek olabilecek Alüminyum seçilmiştir.

6.2.1 Special-K

Malzeme yüksek alaşımlı çelikler sınıfındadır. Standartlarda gösterimi,

2080 X 210 Cr 12 Ç.512200

şeklindedir.

Kullanıldığı yerler, kesme, delme, basma, (4mm kalınlığa kadar), soğuk işleme takımları, tel çekme haddeleri broşlar, tuğla kalıpları, her çeşit sübap yatakları (yuvaları).

Tablo 2. Special-K'nın bileşimindeki maddeler ve oranları.

C	Si	Mn	Cr	Ni	Diğerleri.
2-2,5	0,30	0,30	11,5	-	-

Tablo 3. Çekme ve akma gerilmeleri ile uzama, sıcakta çekme mukavemetinin (en az) değişimi.

σ_b (kp/mm ²)	σ_a (kp/mm ²)	δ (%)	100	200	300	400	500	600	700	800
80-95	50	8	75	70	65	60	40	20	10	-

Tablo 4. Isıl işlem dereceleri. (C°)

Soğuk şekillendirme	1050-850
Yumuşatma	800-840
Sertleştirme, (yağ)	930-960
" (hava)	950-980
Meneviş	100-400

Tablo 5. Sertlik değerleri ve sertliğin menevişle değişimi.

Yumuşak tavllanmış halde,	220-250	HB			
Sertleştirilmiş halde,	63- 64	RC			
Menevişlenmiş halde,					
	C°	100	200	300	400
	HRC	63	62	60	58

Tablo 6. Ebada göre sertleşme kabiliyeti.

Çap (mm)	Yüzey	Merkez
25	64	64
50	64	63
75	63	62
100	63	60

6.2.2 Alüminyum

Amerikan standartlarında gösterim, (1100) şeklindedir.

Tablo.7 Alüminyum malzemenin özellikleri.

Kompozisyon, (%)	Al: 99,0 Min.
Fiziksel özellikleri,	
Özgül ağırlık (Gm/cm ³)	2,713
Ergime noktası (°C)	645 - 660
Isı iletkenliği (25°C)	
(KCal/Sa/Cm/°C) Tavlanmış	190
Genleşme katsayısı	
(20 - 100 °C) (°C ⁻¹)	23,6 . 10 ⁻⁶
Isınma ısısı (100°C)	
(KCal/Kg/°C)	0,22
Özdirenç (20°C) (μΩ- Cm)	
Tavlanmış	3,92
Sert (H18 veya H38)	3,02
Mekanik özellikleri,	
Gerilmede elastik modül,	
(Kg/cm ²).10 ³	705
Çekme mukavemeti	
(24 °C) (Kg/cm ²)	
Tavlanmış (0)	915
Yarı sert	1265 (H14)
Sert	1685 (H18)

Akma mukavemeti

(24 °C) (Kg/cm²)

Tavlanmış (0)	350
Yarı sert	1195 (H14)
Sert	1545 (H18)

Uzama (5 cm'de)

(24 °C) (%) (a)

Tavlanmış (0)	35 - 45
Yarı sert	9 - 20 (H14)
Sert	5 - 15 (H18)

Sertlik (Brinell) (b)

Tavlanmış (0)	23
Yarı sert	32 (H14)
Sert	49 (H18)

Dayanıklılık sınırı

(Kg/Cm²)

Tavlanmış (0)	350
Yarı sert	490 (H14)
Sert	635 (H18)

Kesme mukavemeti

(Kg/cm²)

Tavlanmış (0)	635
Yarı sert	775 (H14)
Sert	915 (H18)

Isıl işlem

Tavlama sıcaklığı (°C)	345
------------------------	-----

İşlenme özellikleri

Sıcak işleme sıcaklığı (°C) 250 - 510

İşlenebilmesi İyi

Kaynak özellikleri (c)

Oksi-Asetilen kaynağı A

Asal Gaz-Ark kaynağı A

Elektrik direnç kaynağı A

Korozyon özellikleri

Kır, kent ve sanayi atmosferine çok dayanıklıdır. Tatlı ve tuzlu suya, besin artıklarına, organik asit ve anhidritlere, ester, keton, yağ, gaz, gres, mum ve diğer petrol ürünlerine, amonyak ve bileşiklerine, % 82 nin üzerinde derişikliği olan nitrik asitlere, amidlere, nitroparafinlere, taş kömürü ürünlerine, hidrojen peroksit ve bir çok inorganik tuz eriğine karşı dayanıklıdır.

Bulunduğu şekiller

Saç, levha, kütük, tel, çubuk, perçin, dövme, yaprak.

Kullanma yerleri

Kablo zırhları, magnezyum parçalar için perçin.

Tablodaki açıklamalarda yer alan,

(a) Değerler sırasıyla 1,6mm. saç ve 12,5mm. çapında çubuk.

(b) 500 Kg. yük altında 10mm. çaplı bilya.

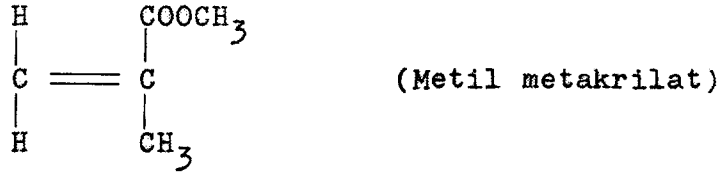
(c) Yalnız Alüminyum ve alaşımları arasında yapılan bir oranla, (A) çok iyi, (B) iyi, (C) orta, (D) kötü.

DIN 1725'de gerekli diğer bilgiler mevcuttur.

6.2.3 Pleksiglas.

Son zamanlarda birçok alanda yararları görülen, İngiltere'de kullanılan cinsleri Perspex ve Diakon ile Almanlar'ın Plexi-glas olarak tanımladıkları veya Lucite'de denilen bu plastik malzemelerin yapısı, Metil metakrilat gibi monomerik bileşiklere dayalı Akrilik polimerlerdir.

Bu polimerler etilen'den türevlenmişlerdir. Başlangıç maddesi yani birim molekülü Metil metakrilat oluşturmaktadır.



Burada etilen molekülündeki hidrojenler'den biri bir ester grubu (COOCH₃) ve diğeri ise (yine aynı karbon üzerindeki H olmak üzere) bir metil (CH₃) grubu ile yer değiştirerek Metil metakrilat'ı meydana getirmişlerdir. Bu bir katalizör yardımıyla ısıtıldığında etilen gibi polimerizasyona uğrar. Elde edilen Metil metakrilat plastiği, kristal kadar saf, hafif, sert ve dayanıklı bir maddedir. Fakat en kötü yanı sert maddelerle kolayca çizilebilmesidir.

Perspex'in su, alkaliler, sulu inorganik tuzlar ve sulu asitlerin çoğuna direnci yüksektir. Nitrik, sülfirik -

kromik gibi koyu oksitleyici asitlerin çoğu ve hidroklorik asit gibi bazı sulu asitlerle reaksiyona girerek bozulur. Birçok organik asitler malzemede şişme, çatlama, mekanik za yıflama meydana getirirler ve hatta tamamıyla eritebilirler. Aşağıdaki tabloda Pleksiglas'ın birçok kimyasal maddelere karşı durumları belirtilmiştir. Bazı hallerde yoğunluklar arttırılabilirse'de malzemede çatlama olabilir.

Tablo 8. Perspex'in kimyasal maddelere karşı durumu.

Kimyasal bileşik.	20 ⁰ C'da "Perspex" in direnci.
Asetik asit	% 10'a kadar
Amonyak	0,880 özgül ağırlığa kadar
Kromik asit	% 10'a kadar, lekelenme olabilir
Sitrik asit	Doymuş eriyiğe kadar
Formaldehid	% 40'a kadar
Formik asit	% 10'a kadar
Gliserin	Tamamiyle dayanıklı
Hidroklorik asit	% 10'da hafif çizgi oluşumu
Hidroflorik asit	Uygun değil
Hidrojen peroksit	% 10'a kadar (hacmen)
Laktik asit	Hafif çizgi oluşumu
Nitrik asit	% 10'a kadar
Okzalik asit	Doymuş eriyiğe kadar
Fosforik asit	% 10'a kadar
Sodyum hidroksit	Doymuş eriyiğe kadar
Sodyum hipoklorit	% 10 mevcut klora kadar
Sülfirik asit	% 10'a kadar
Tartarik asit	Doymuş eriyiğe kadar

Tablo 9. Pleksiglas'ın oda sıcaklığında ölçülen önemli ortalama fiziksel özellikleri.

Özgül ağırlık	1,19
Çekme dayanımı	840 kg/cm ²
Kırılma dayanımı	1400 kg/cm ²
Esneklik modülü	3.10 ⁴ kg/cm ²
Isıl distorsiyon noktası (18,5 kg/cm ² yükleme)	100 °C
Isıl genleşme katsayısı	7,3.10 ⁻⁵ / °C
Özgül ısı	0,35
Isıl iletkenlik (cal.cm/cm ² .°C.san)	4,5.10 ⁻⁴

Pleksiglas kesilebilir, delinebilir, tornalanabilir frezelenebilir, vidalanabilir, kılavuz çekilebilir ve kazınabilir. Bütün bu işlemlerden sonra yüzeyi tekrar ilk parlaklığına getirmek mümkündür. Derin çizikler ve markalama işaretleri gittikçe daha artan incelikteki zımparalama ve nihayet parlatma suretiyle tamamen yok edilebilir. Pleksiglasın işlenmesinde ağaç ve metal tezgahları kullanılmışsa'da genellikle metal işleme tezgahları tercih edilir. İşlem esnasında malzemenin bir hava jetiyle soğutulması şarttır, aksi halde pleksiglas yumuşar ve kesilen yüzeye yapışır. Soğutma için su ve diğer bazı yağlar kullanılabilir.

Metil metakrilat plastiğinin korrozyon alanındaki uygulamaları, daha çok fotoğraf tavaları, galvano plasti tamburları, geçirgen pencereler ve denetim pencereleri şeklindedir. Günümüzde dişçilikte, sun'i mücevheratçılıkta, laboratuvar eşyası olarak ve uçak camlarının imalatında kullanılır. Teknik bakımdan büyük bir özellik taşıyan organik sun'i camlar'da Metakril (Meta-cryl) asidi metil esteridirler. Bu camlar adi cam'dan hafif, tamamen renksiz, saydam olup normal cam gibi kırılmamaktadırlar. Güneş ve yağmur gibi etkilerdende etkilenmezler. Tüm bu özellikleri sebebiyle bu camlar bilhassa nakil vasıtaları içinde pek uygundurlar.

6.3 Kırılma Tokluğu Ölçüm Yönteminin Tespiti.

Gevrek malzemeler için (Special-K ve Pleksiglas) K_{Ic} düzlem deformasyon kırılma tokluğu test yöntemi kullanışlıdır. Sünek malzemeler için ise (Alüminyum), COD ve J integrali yöntemleri tatbik edilmelidir. J integrali test yönteminin henüz standart'lara geçmemiş olması, çok numune ve tek numune tercihinin hangisi ile testin yapılacağıının belirlenememesi nedeniyle, halen standardı yapılmış ve sünek malzemelerde kullanılabilecek durumda olup, amprik formülleri geliştirilmiş olan COD yönteminin, kırılma tokluğu ölçüm yöntemi olarak, deney için belirlenmesi uygun olacaktır.

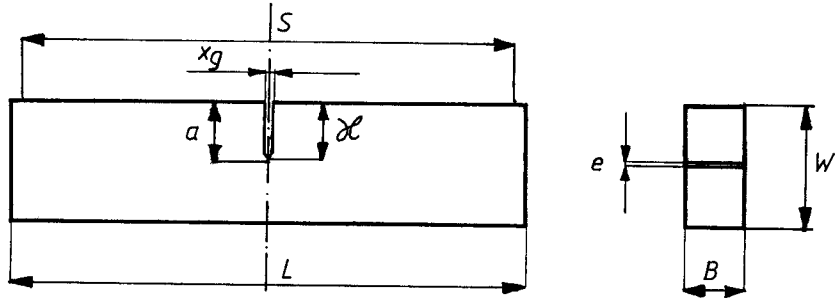
6.4 Deney Parçalarının Boyutlandırılması Ve Hazırlanması.

Seçilen malzemeler için, bölüm 6.2'de kırılma tokluğu ölçüm yöntemleri belirlenmişti. Bu yöntemlerin açıklamalarının yapıldığı,

K_{Ic} için;

Bölüm 5.2.2'de numune formu ve boyut sınırlamalarında verilen tüm esaslara uyarak, şekil 5.4'deki nu-

mune formlarından (3 PB), 3 noktadan eğme numunesi seçilmiştir. Boyut sınırlamaları aynen esas alınarak, numune ölçüleri aşağıdaki şekilde verildiği gibidir.



$a = 8 \text{ mm.}$
 $e = 0,4 \text{ mm.}$
 $\delta l = 7,6 \text{ mm.}$
 $L = 67,2 \text{ mm.}$
 $S = 64 \text{ mm.}$
 $W = 16 \text{ mm.}$
 $B = 8 \text{ mm.}$
 $x_g = 0,8 \text{ mm.}$

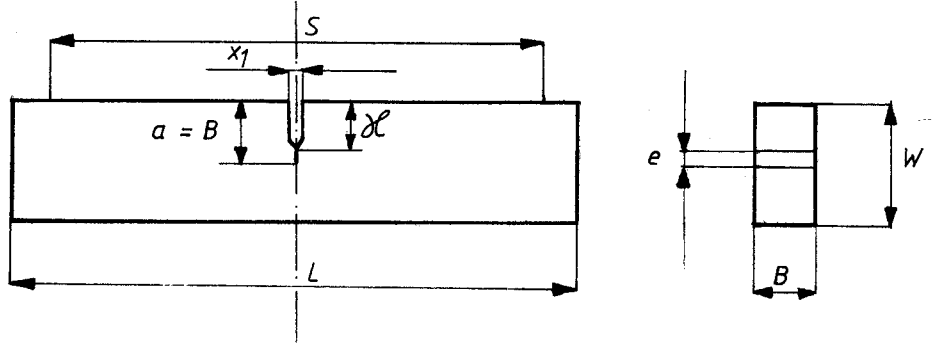
} Ölçüler boyut sınırlamalarına uygundur.

Şekil 6.1 K_{IC} numunesi için belirlenen kesin ölçüler.

COD için ise;

Bölüm 5.3.2'de numune formu ve boyut sınırlamalarında verilen tüm esaslara uyarak, şekil 5.10'daki nu

mune formu (3 PB), 3 noktadan eğme numunesi seçilmiştir. Boyut sınırlamaları aynen esas alınarak, numune ölçüleri aşağıdaki şekilde verildiği gibidir.



$$a = 8 \text{ mm.}$$

$$e = 1,75 \text{ mm.}$$

$$r = 6,25 \text{ mm.}$$

$$S = 64 \text{ mm.}$$

$$L = 73,6 \text{ mm.}$$

$$W = 16 \text{ mm.}$$

$$B = 8 \text{ mm.}$$

$$x_1 = 1,5 \text{ mm.}$$

1

Ölçüler boyut sınırlamalarına uygundur.

Şekil 6.2 (Sc) numunesi için belirlenen kesin ölçüler.

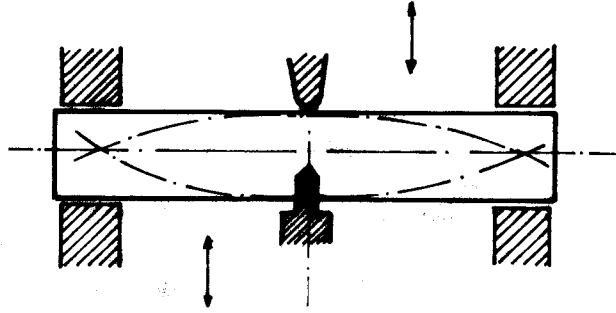
Çentik açma;

K_{Ic} ve c numunelerindeki çentikler, bölüm 5.3.2'deki şekil 5.11'de çentik formu için verilen ölçülere uyacak biçimde testere ile açılmıştır. Çentik ucunun -

60° lik açısı ve 0,1 mm. olması istenen radyüsü için ayrı bir bıçak yapılmıştır. Bu bıçak ile BS 5762 standardındaki şartlarda sağlanmıştır.

Yorulma çatlağının açılması;

Yorulma çatlağı 300 saykıl/dak. titreşim yapan bir yorulma cihazında açılmıştır. Şematik gösterilişi aşağıdaki şekilde olduğu gibidir.



Şekil 6.3 Yorulma çatlağının açılmasının şematik olarak gösterilişi.

Deney numunelerine yorulma çatlağı açarken BS standardının çatlak boyutu ve yorulma çatlağı boyu ile ilgili sınırlamalara tamamen uyulmuştur. Çatlağın yayılma düzleminde sapma sınırı 10° yi geçmediği'de büyüteçle gözlenmiştir.

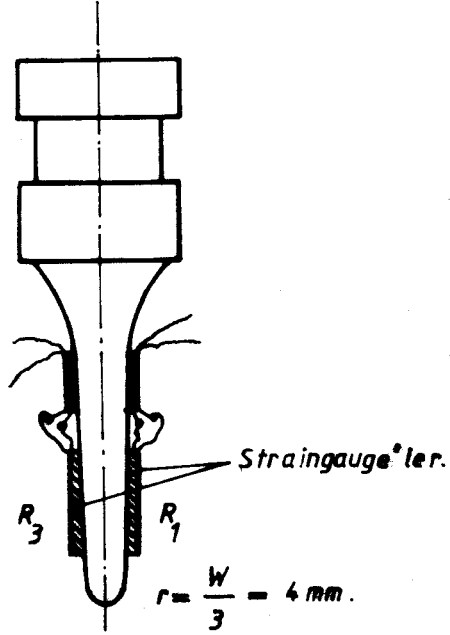
6.5 Test Ekipmanları.

Deneyisel çalışmada kullandığımız test ekipmanları; 2 adet kuvvet ölçer, çentik ucu açılmasını ölçer Clip-gauge numune eğme aparatı, xy yazıcı recorder, amplifikatör ve denemenin yapıldığı test makinasından oluşmaktadır.

6.5.1 Kuvvet Ölçer.

Deney için seçtiğimiz malzemelerimizden Special-K çok sert ve gevrek, Pleksiglas yine çok sert ve gevrek fakat Special-K'ya nazaran çok daha düşük kuvvet değerlerinde kırılabilmektedir, Alüminyum ise sünektir ve yine daha düşük yüklerde kırılabilmektedir. Bu doğrultuda Special-K malzemesini kırmak için hazırladığımız kuvvet ölçer'in (numune ye bir noktadan kuvvet tatbik eden cihaz'ın), basma anında deforme olmaması için, Straingauge'lerin yapıştırıldığı yüzeylerin bulunduğu kalınlığı 4 mm. olarak, aşağıdaki şekilde görüldüğü gibi hazırlanmıştır.

Oysa, Alüminyum ve Pleksiglas malzemelerinin daha düşük kuvvetlerle kırıldığını belirtmiştik, bu durumda elde edilen sinyallerin daha iyi algılanabilmesi için bu kez, Straingauge'lerin yapıştırıldığı yüzeylerin kalınlığı 2 mm olan ikinci bir kuvvet ölçer hazırlanmıştır.



Şekil 6.4 Deneyde kullanılan kuvvet ölçerin şematik gösterilişi.

Kuvvet ölçümü için direnci 120Ω luk, gauge faktörü 2,07 olan Straingauge'lerle bir köprü devresi kurulmuştur. Wheatstone köprü devresi II. kuralına göre dengelenmemiş durumda köprü devresinde, zıt kollardaki dirençler, değişimlerinin toplamı kadar çıkış verirler. Dirençler basma kuvveti etkisinde kaldıklarında;

$$(-\delta R_1 + \delta R_{1t}) + (-\delta R_3 + \delta R_{3t}) = -\delta R_1 - \delta R_3 + \delta R_{1t} + \delta R_{3t} \quad (6.1)$$

şeklinde yazılır. Burada, (R_1) , (R_3) dirençler ve (R_{1t}) ile (R_{3t}) aynı dirençlerin sıcaklıktan etkilendikleri zamanki değerlerini göstermektedir. (+ sıcaklık artışında veya - sıcaklık düşmesi durumunda)

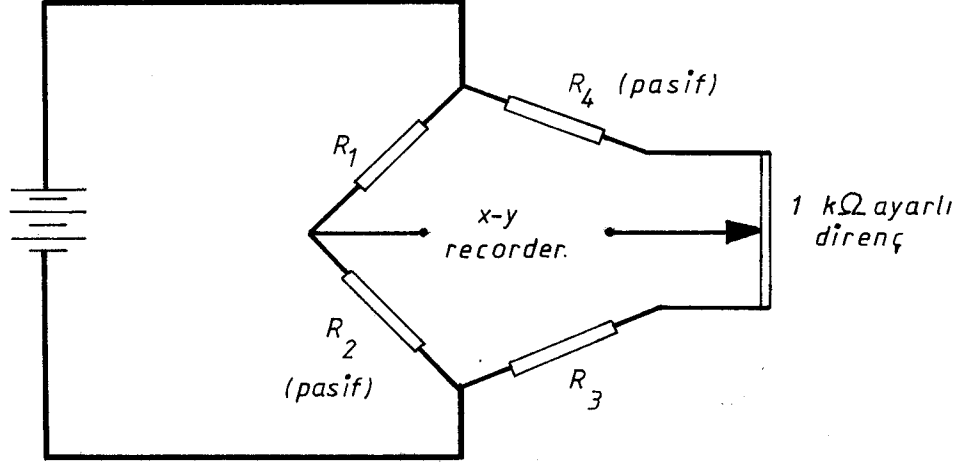
Kullanılan dirençler eşit olduğunda $(R_1 = R_3)$ en son denklem (6.1)'in sonucu,

$$-2\delta R + 2\delta R_t \quad (6.2)$$

olur. Dirençler basma kuvvetlerine maruz kaldıklarından zıt yönde çıkış verirler. Fakat sıcaklık kompenzasyonu sağlanmış olmaz. Bu nedenle pasif direnç kullanarak köprü devresindeki dirençlerin sıcaklıktan etkilenmemesi sağlanmış olur. Pasif direnç kullanılıncaya denklem sonucu, Wheatstone köprü devresi I. kuralına göre yazılırsa,

$$(-2\delta R + 2\delta R_t) - (+\delta R_t + \delta R_t) = -2\delta R \quad (6.3)$$

olur. XY Recorder'ında kalem ayarı sağlamak için Wheatstone devresine $1 \text{ k}\Omega$ 'luk ayarlı direnç konmuştur. (Şekil 6.5)



Şekil 6.5 Kuvvet ölçer'in Wheatstone köprü devresi.

6.5.2 Çentik Ucu Açılmasını Ölçer, Clip-gauge.

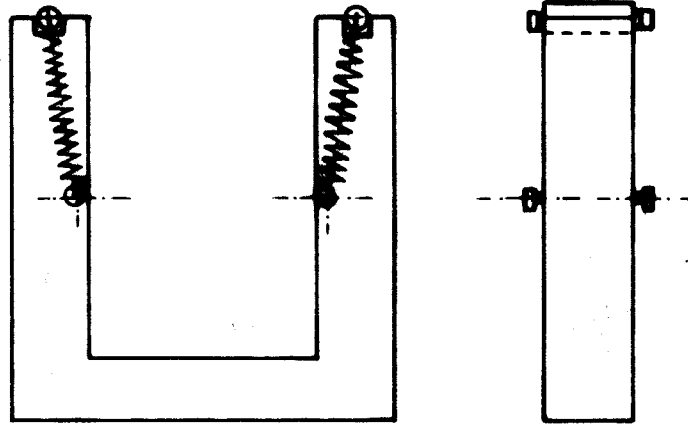
Çatlak açıklığı (V)'nin ölçümü için, bölüm 5.2.3'de (çatlak açıklığı ölçüm düzeninde) yapılan tüm açıklamalar ile, şekil 5.7 c, b ve a'da verilen düzenek aynen kullanılır.

Burada Straingauge'lerin tespit edildiği parçalar yay çeliğinden 0,5 mm kalınlık, 20 mm genişlik ve 40 mm uzunluğunda 2 adet parça ile bir gövdeye ve bu çelik parçala

rın üzerine dirençleri 120Ω ve gauge faktörü 2,07 olan 4 adet Straingauge, şekil 5.7.c'deki gibi tespit edilmişlerdir. Clip-gauge'deki yay uçları çakı tarafından tutulacak şekilde yuvarlatılmıştır. Clip-gauge'nin sinyallerini alabileceğimiz Wheatstone köprü devre şeması ise şekil 5.7.b' de olduğu gibidir.

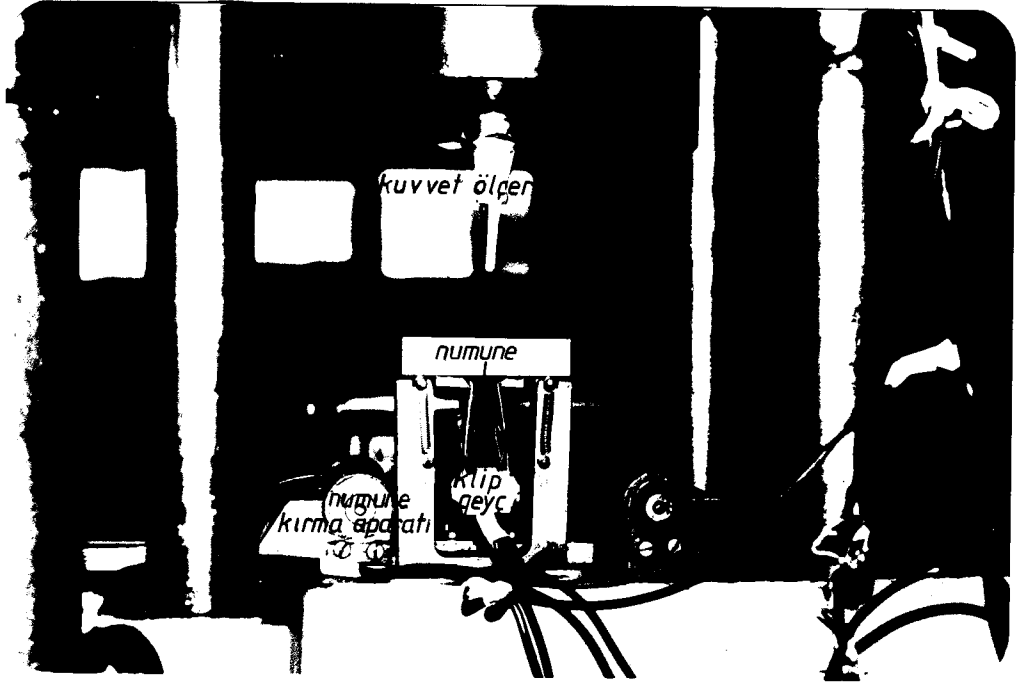
6.5.3 Numune Eğme Aparatı.

Hazırlanan test numunelerinin üzerinde kırılmasını sağlayacak aparatın boyutları BS 5762 standardındaki esaslara uyularak aşağıdaki şekilde olduğu gibi yapılmıştır.

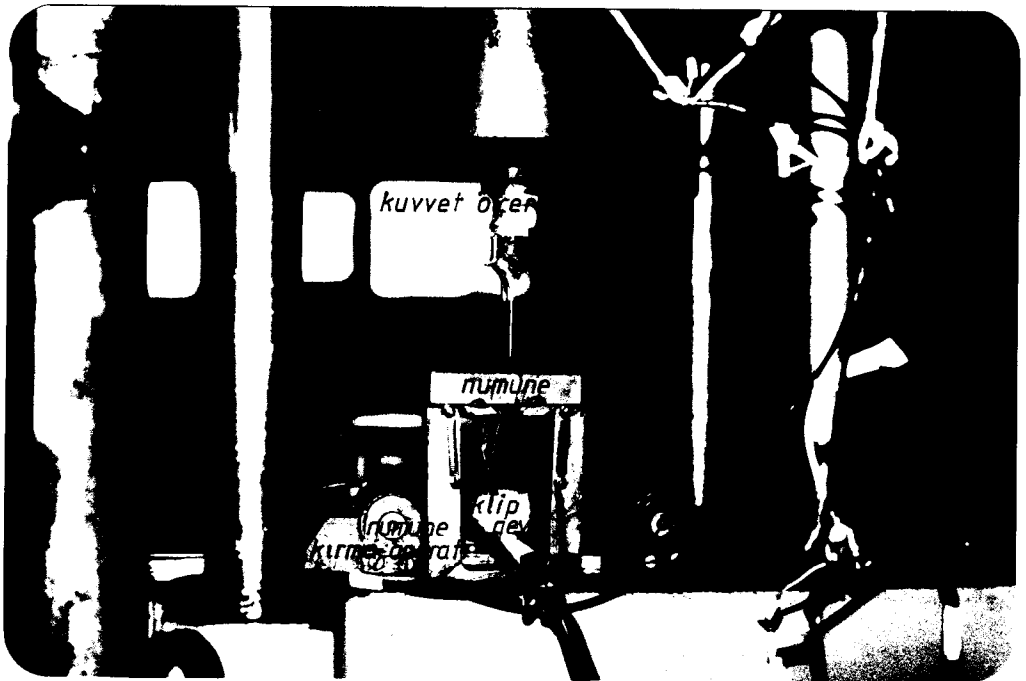


Şekil 6.6 Numune eğme aparatı.

Numune eğme aparatı, Clip-gauge ve 2 farklı kuvvet ölçer'in numuneyi kırmaya hazır haldeki durumları,



Şekil 6.7 4 mm'lik kuvvet ölçer ile ölçüme hazır düzenek.

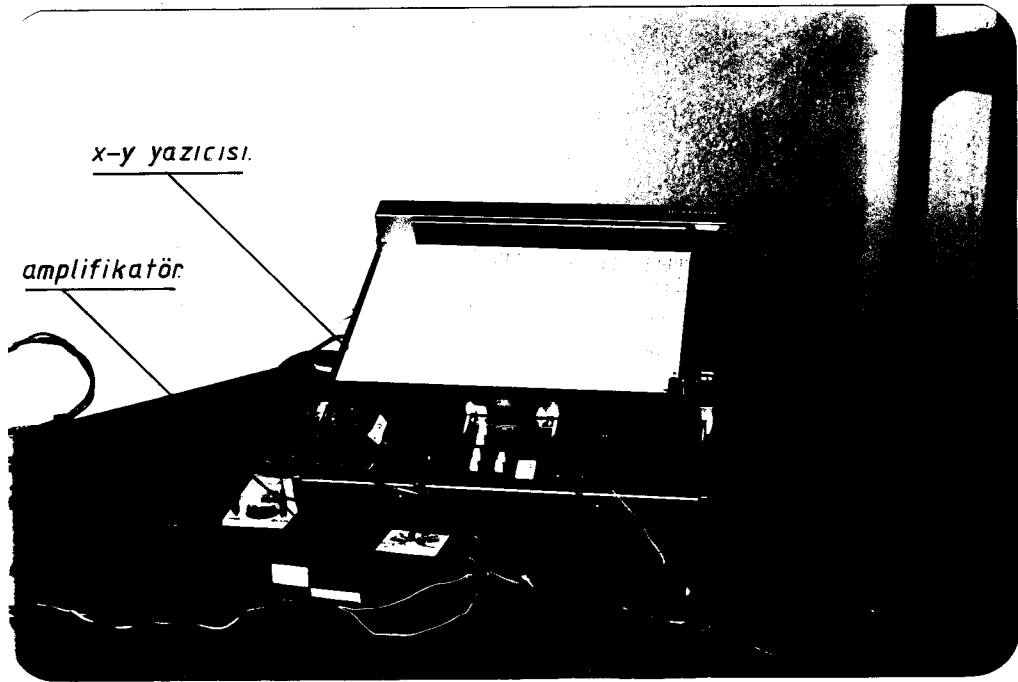


Şekil 6.8 2 mm'lik kuvvet ölçer ile ölçüme hazır düzenek.

6.5.4 Amplifikatör, X-Y Recorder Ve Test Makinesi.

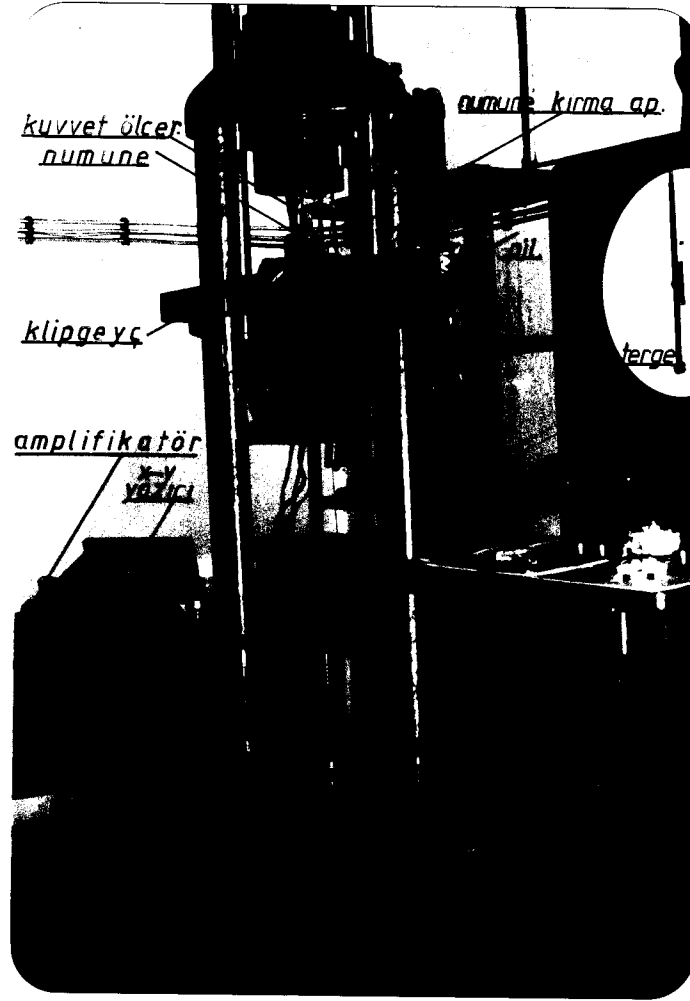
Test esnasında kuvvet ölçerdeki zayıf sinyalleri kuvvetlendirmek amacıyla 4000 kez'e kadar büyütme yapabilen (741 Entegre ile imal edilmiş) bir amplifikatör kullanılmıştır. Test öncesi amplifikatör sıfır ayarı yapılmıştır.

Kuvvet-çatlak ucu yerdeğişim eğrisi ise RW-11T Rikadenki marka x-y Recorder'ı ile kaydedilmiştir. Amplifikatör ve yazıcı aşağıdaki şekilde görülmektedir.

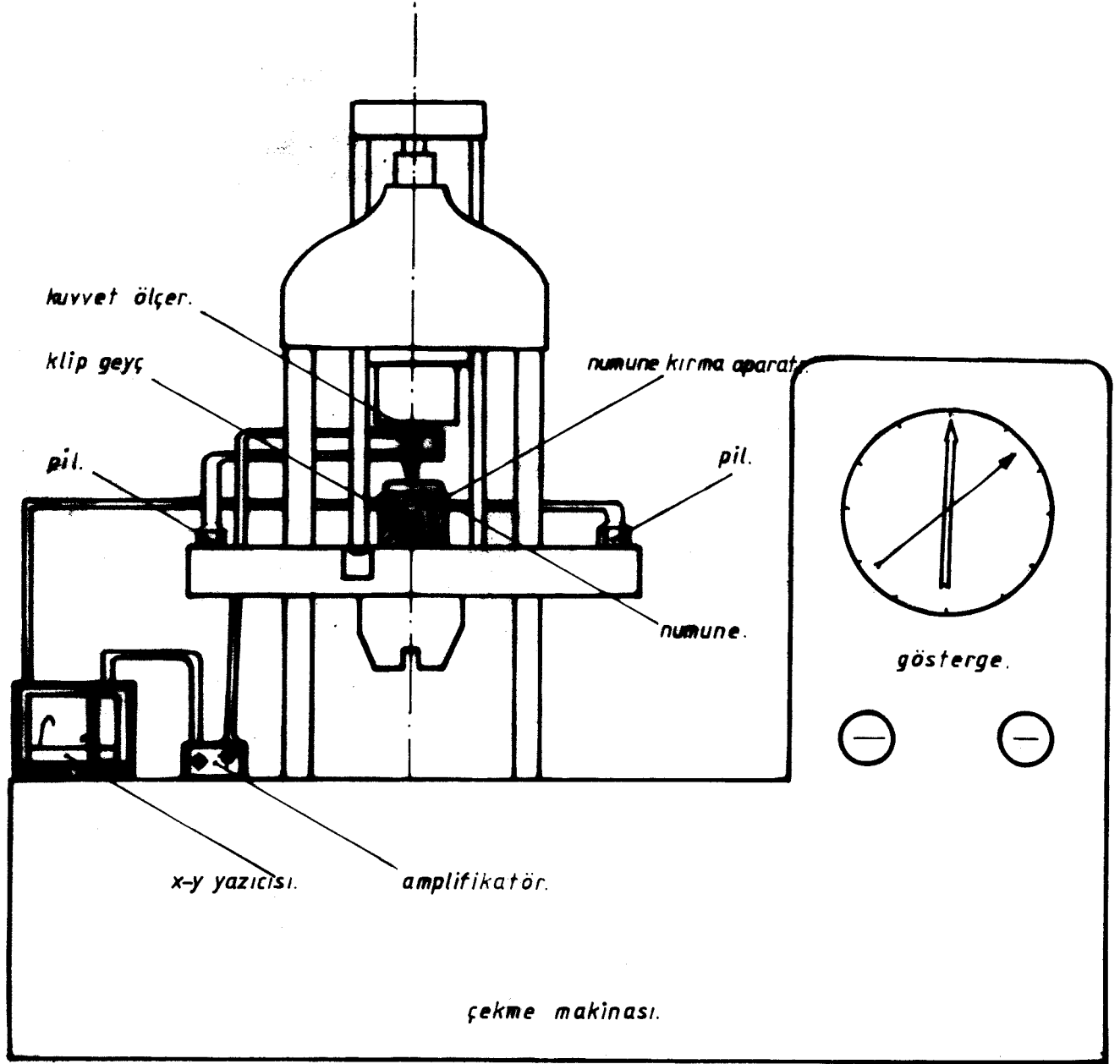


Şekil 6.9 X-Y Recorder ve Amplifikatör.

Test makinesi, Alşa marka, 20 ton çekme yapabilen bir cihazdır. Deney 5.10^{-5} m/sn. lik yükleme hızlarında yapılmıştır. Deney standının resmi ve şematik gösterimi ise şekil 6.10 ve şekil 6.11 de verilmiştir.

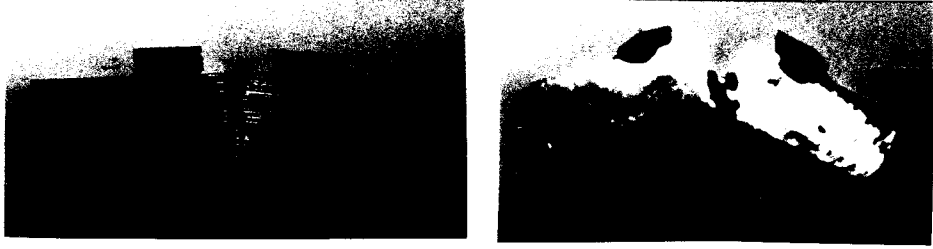


Şekil 6.10 Deney standı.

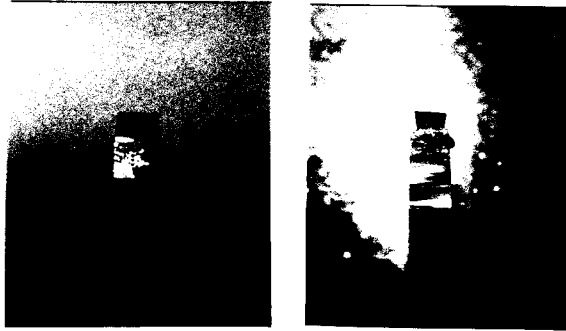


Şekil 6.11 Deney standının şematik gösterimi.

Olması gereken sınırlar içerisinde kalacak şekilde hazırlanan numunelerin, deneye tabi tutulmasından sonra çekilmiş fotoğrafları, aşağıdaki şekillerde olduğu gibidir.



Şekil 6.12 Special-K ve Alüminyum malzemelerden hazırlanmış numunelerin, deney sonrası durumları.



Şekil 6.13 Special-K ve Pleksiglas numunelerinin deney sonrası kırılma yüzeyleri.

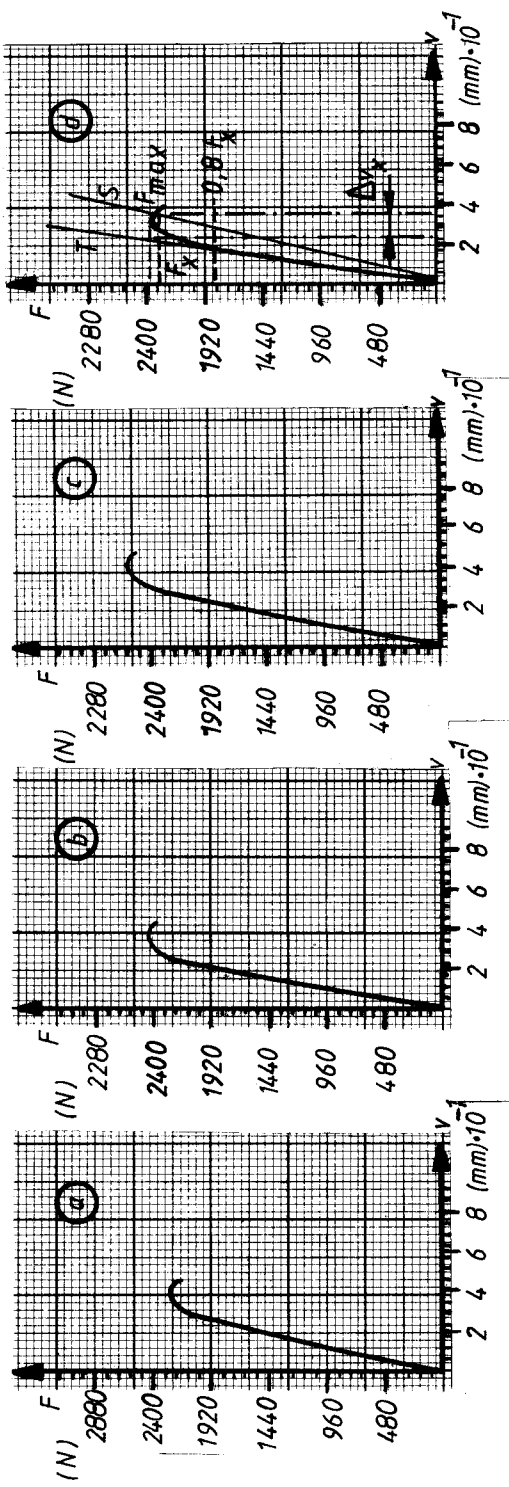
6.6 Alınan (F-v) Eğrileri.

Seçilen her 3 malzeme'den 30'ar adet numune (3 PB, 3 noktadan eğme numunesi şeklinde) kırılma tokluğu ölçüm yöntemlerine göre, olması gerekli boyut sınırlamalarına uygun olarak hazırlandı.

Special-K ve Plexiglas gevrek'likleri dikkate alınarak K_{Ic} yöntemi ve Alüminyum ise sünek olması nedeniyle COD yöntemiyle ve bu yöntemlerin gerektirdiği tüm esaslara uyarak, bölüm 6.5'de anlatılan ve şekilleri verilen test ekipmanları ile hazırlanan deney standı'nın kullanılması sonucu (numuneye kuvvet ölçer'in baskı yapması ile oluşan sinyaller ve bu anda çatlak yüzeyleri'nin ayrılışını, numunedeki çakıllara tespit edilmiş olan Clip-gauge'nin uçlarının açılması ile oluşan sinyaller ile birlikte, Recorder'dan alınmasıyla) deneysel çalışmayı gerçekleştirmiş oluruz.

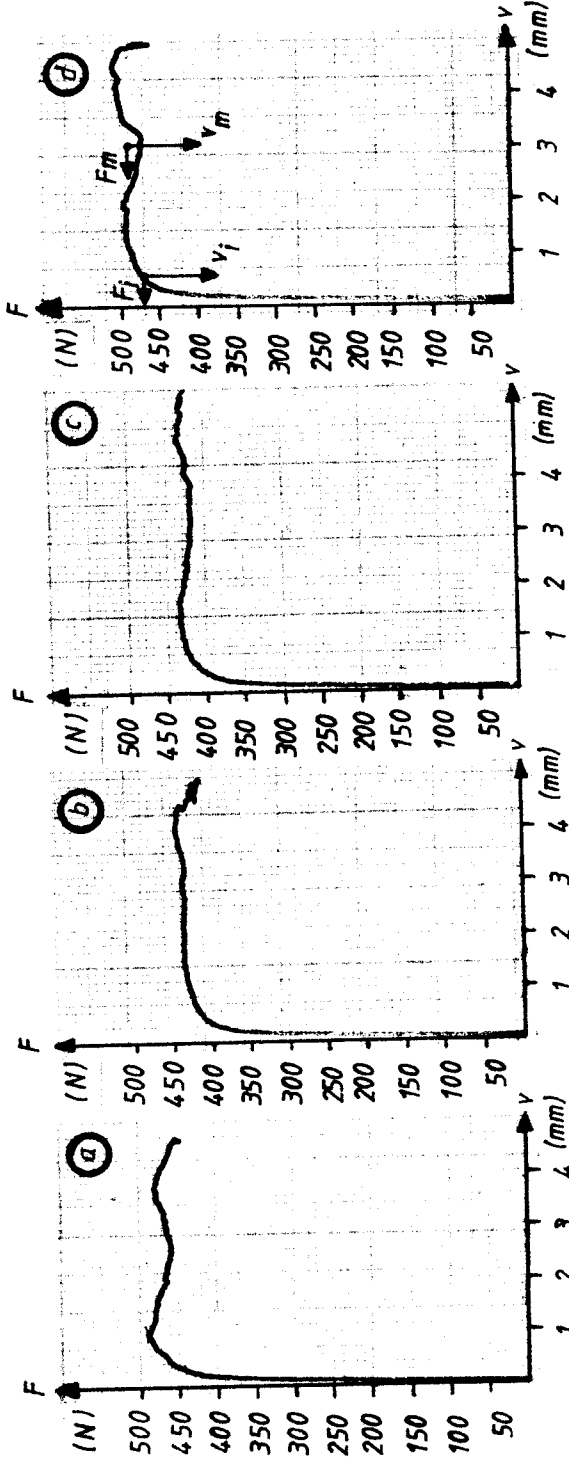
Numunelerin tümü deney esnasında kırılmıştır, neticede her üç malzeme için Recorder'dan alınan eğriler'den, her bir malzeme için genelde aynı tip eğrileri veren 4 farklı sayılabilecek eğri, hesaplamalarda dikkate alınmak üzere (F-v, yük-çatlak açıklığı şeklinde) aşağıda verilmiştir.

Eğriler deney anında $y \geq 20$ mV/cm. $x \geq 2$ mV/cm iken çizdirilmiş olup F (yük) ekseninde işaretli iki çizgi arası 96 N v (çatlak acıklığı) ekseninde işaretli iki çizgi arası 0,057 mm'yi göstermektedir.



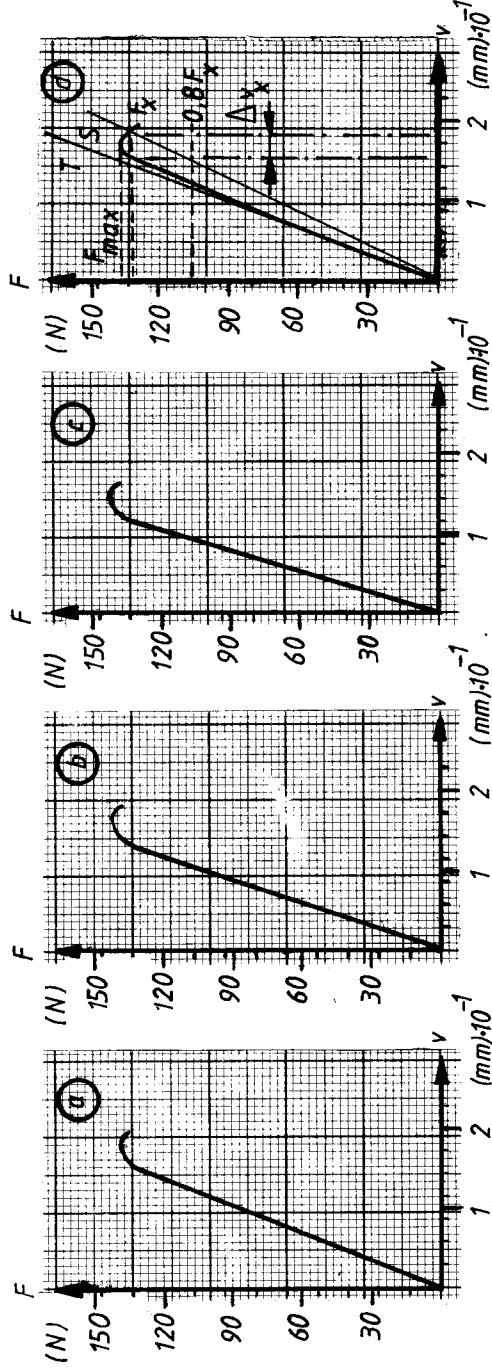
Şekil 6.14 Special-K malzemeden hazırlanmış numuneler ile gerçekleştirilen deneysel çatlama sonucu, Recorder'dan alınan (F - v) eğrileri.

Eğriler deney anında $y \geq 0,1$ mV/cm. $x \geq 5$ mV/cm. iken çizdirilmiş olup F (yük) ekseninde iki çizgi arası 10 N v (çatlak açıklığı) ekseninde iki çizgi arası 0,143 mm'yi göstermektedir.



Sekil 6.15 Alüminyum malzemenen hazırlanmış numuneler ile - gerçekleştirilen deneysel çalışma sonucu Recorder dan alınan (F-v) eğrileri.

Eğriler deney anında $y \geq 0,05$ mV/cm. $x \geq 1$ mV/cm. iken çizdirilmiş olup F (yük) ekseninde işaretli iki çizgi arası 13,3 N v (çatlak açıklığı) ekseninde işaretli iki çizgi arası 0,0285 mm'yi göstermektedir.



Sekil 6.16 Plexiglas malzemenen hazırlanmış numuneler ile gerçekleştirilen deneysel çalışma sonucu, Recorder'dan alınan (F-v) eğrileri.

6.7 Değerlendirme.

Her üç malzemedен hazırlanmış numuneler için, belirlenen yöntemlere göre hesaplamalar yapılacaktır. Special-K ve Plexiglas için K_{Ic} , Alüminyum için ise COD yöntemi uygulanacaktır.

6.7.1 Special-K için Hesaplama.

Bölüm 5.2.4'deki eğri tipleri incelendiğinde (şekil 5.8) I no'lu eğri'nin malzememizden hazırlanan numuneler ile çizdirdiğimiz eğrilere uygun olduğunu görürüz.

Bu tip hakkındaki açıklamalar dikkate alınarak, şekil 6.14'de alınan eğrilerin her biri için eğrinin lineer kısmının eğimini veren T doğrusundan %5 meyilli S doğrusu çizilip, gerekli olan büyüklükler aşağıdaki tablo.10'da olduğu gibi tespit edildi.

Tablo 10. Special-K için gerekli büyüklükler.

Numune	F_{max} (daN)	F_x (daN)	$0,8 \cdot F_x$ (daN)	Δv (mm)	Δv_x (mm)
a	230,4	220,8	176,64	0	0,114
b	249,6	235,2	188,16	0	0,143
c	268,8	259,2	207,36	0	0,157
d	240,0	233,6	186,84	0	0,128

Tablo 10'daki verilere göre, bölüm 5.2.4'ün son kısmında K_{Ic} hesabı için maddeler halinde verilen yöntemi aynen tatbik edersek,

- 1- Eğri tipimiz (şekil 5.8'e göre) I no'lu tip idi. bu durumda, $F_Q = F_{max}$ olacaktır. Buna göre-Tablo 10'daki F_{max} değerleri hesaplamada her bir numune için F_Q olarak alınır.
- 2- $\Delta v < 0,25 \Delta v_x$ olduğunu her bir numune için görürüz.
- 3- K_Q değerleri her bir numune için 1. madde'de seçilen F_Q ile ve numune geometrisine bağımlı olan Y fonksiyonu (5.18 ve 5.21) denklemlerinden aşağıdaki tablo 11.'de olduğu gibi bulunmuşlardır.

Tablo 11. Special-K numuneler için Y ve K_Q değerleri.

Numune	Y	K_Q (kp/mm ^{3/2})
a	2,4025	73,389
b	2,4025	79,505
c	2,4025	85,621
d	2,4025	76,447

- 4- K_Q değerinin, σ_a ve çatlak boyu ile numune kalınlığı arasındaki bağıntıyı veren ifade (denklem 5.24 ve 5.25) ile karşılaştırılması yapılırsa, (bölüm 6.2.1'de Special-K için $\sigma_a = 50 \text{ kp/mm}^2$ ve -rilmiştir)

K_Q 'nun her numune için değerinin $< 89,443$ olduğu

gözlenir, dolayısıyla 4. madde sağlanmış olur.

- 5- Bölüm 5.2.4'e göre, 2 ve 4. maddeler sağlandığında bulunan K_Q değerinin K_{Ic} olarak alınabileceğinin mümkün olduğu belirlenmiştir. O halde tüm numunelerimiz için, (2. ve 4. maddeler uygun olduğundan) K_Q lar K_{Ic} olarak aşağıdaki tabloda olduğu şekilde belirlenir.

Tablo 12. Special-K numuneler için bulunmuş K_{Ic} değerleri.

Numune	K_{Ic} (kp/mm ^{3/2})
a	73,389
b	79,505
c	85,621
d	76,447

6.7.2 Plexiglas İin Hesaplama.

Eđri tipleri Special-K'da incelenen eđri'ler ile uygun olduđundan, blm 6.7.1'deki hesap yntemleri burada'da aynen tekrar edilerek, ařađıdaki tablodaki byklkler tespit edilmiřtir.

Tablo 13. Plexiglas numuneler ile gerekleřtirilen denemede bulunmuř byklkler.

Numune	F_{max} (daN)	F_x (daN)	$0,8.F_x$ (daN)	Δv (mm)	Δv_x (mm)
a	14,23	13,81	11,05	0	0,040
b	14,43	13,93	11,14	0	0,033
c	14,56	14,14	11,31	0	0,036
d	13,91	13,30	10,64	0	0,029

Bulunan bu deđerler ile blm 5.2.4'de K_{Ic} hesabı iin verilen yntem, Special-K'nın hesabında olduđu řekilde yine aynen uygulanarak,

1- Tablo 13'de belirlenen F_{max} deđerleri, F_Q olarak alınır.

2- $\Delta v < 0,25 \Delta v_x$ olduđunu her bir numune iin grrz.

- 3- K_Q deęerleri her bir numune iin 1. madde'de seilen F_Q ile ve numune geometrisine baęımlı olan Y fonksiyonu (5.18 ve 5.21) denklemlerinden ařaęıda ki tablo 14.'de olduęu gibi bulunmuřlardır.

Tablo 14. Plexiglas numuneler iin bulunmuř Y ve K_Q deęerleri.

Numune	Y	K_Q (kp/mm ^{3/2})
a	2,4025	4,533
b	2,4025	4,597
c	2,4025	4,639
d	2,4025	4,431

- 4- K_Q deęerinin, σ_a ve atlak boyu ile numune kalınlıęı arasındaki baęıntıyı veren ifade (denklem 5.24 ve 5.25 ile) dikkate alınırsa, (bölüm 6.2.3 'de Plexiglas iin kırılma gerilmesi 14 kp/mm² verilmiřtir)

K_Q ' nun her numune iin deęerinin $< 16,69$ olduęu

gözlenir, dolayısıyla 4. madde saęlanmış olur.

- 5- Bölüm 5.2.4'den, 2 ve 4. maddeler sağlandığında - K_Q değerinin K_{Ic} olarak alındığını biliyoruz, denememiz sonucu bulunan değerler ile yaptığımız hesaplamada 2 ve 4. maddelerimiz sağlandığından, K_Q değerlerini aşağıdaki tabloda olduğu şekilde belirleriz.

Tablo 15. Plexiglas numuneler için bulunmuş K_{Ic} değerleri.

Numune	K_{Ic} ($kp/mm^{3/2}$)
a	4,533
b	4,597
c	4,639
d	4,431

6.7.3 Alüminyum İçin Hesaplama.

Şekil 6.15 'de Alüminyum için elde edilmiş eğriler incelendiğinde, genelde kuvvet etkisiyle eğrinin belli bir noktaya yükselip o değerde sabit bir şekilde etki ettiği gözlemlenir. Bu durumda, şekil 5.12 'deki III nolu eğri tipi ve ayrıca BS 5762:1979 standardındaki şekil 7 'de referans olarak verilen eğri tiplerinden (5) nolu eğri tipi, hesaplamalarımız için uygun eğri tipi olarak seçilmiştir.

Bu durumda hesaplama için gerekli olan, kuvvetler F_i ve F_m ile çatlak açıklığı değerleri V_i ve V_m 'in belirlenmesi, her bir numune için aşağıdaki tabloda olduğu gibidir. (F_i ve V_i , yavaş çatlak büyümesinin başlangıcındaki ve F_m ile V_m ise, max. kuvvet platosundaki değerlerdir)

Tablo 16. Alüminyum numuneler için tespit edilen değerler.

Numune	F_i (daN)	V_i (mm)	F_m (daN)	V_m (mm)
a	46,5	0,572	47,5	2,360
b	41,0	0,572	44,5	2,860
c	42,0	0,572	43,0	3,075
d	47,0	0,572	49,0	3,003

C' değerini ($0,15 < a/W < 0,7$) BS 5762 standardın'dan (numunemiz için, $a/W, 0,50$ idi) " 10,61 " olarak tespit ediyoruz. K_f , kırılma şiddeti faktörü, (5.42 nolu denklem) gerekli değerler yerine konularak, her bir numune için (Tablo 16'daki F_i ve F_m 'e göre) hesaplanmış değerleri aşağıdaki tabloda görebiliriz.

Tablo 17. Alüminyum numuneler için hesaplanmış K_f değerleri.

(F_i ile hesaplanmış değer, $K_{f(i)}$, F_m ile hesaplanmış değer, $K_{f(m)}$ olarak gösterilmektedir)

Numune	$K_{f(i)}$ (Kp/mm ^{3/2})	$K_{f(m)}$ (Kp/mm ^{3/2})
a	15,418	15,750
b	13,594	14,755
c	13,926	14,257
d	15,583	16,247

(5.42) denklemimiz ise,

δ_i , yavaş çatlak büyümesinin başlangıcındaki yer değişimi,

δ_m , max. kuvvet platosuna ilk erişmedeki çatlak açılma yer değişimi'ni ifade edip,

Bölüm 6.2.2 'de Alüminyum için verilen gerekli de -

ğerlerin denklemde yerine konulmasıyla, her bir numune için bulunan δ_i ve δ_m (COD) değerlerini aşağıdaki tabloda görebiliriz.

Tablo 18. Alüminyum için hesaplanmış δ_i ve δ_m (COD) değerleri.

Numune	δ_i (mm)	δ_m (mm)
a	0,1142	0,4674
b	0,1139	0,5661
c	0,1140	0,6084
d	0,1143	0,5946

Alüminyum numuneler için elde ettiğimiz δ_c değerlerinin karşılığı olan K_c değerlerini, bölüm 5.3.4 'de verilen 5.44 denklemden bulabiliriz. Neticede bulunan (COD) δ değerlerini, diğer numunelerden elde edilen K_{Ic} değerlerine karşı gelen değer olarak yazıp, birbirleriyle karşılaştırma yapabiliriz.

BS 5762:1979 standardın'a göre, Alüminyum numunelerden elde ettiğimiz eğrilere uygun olarak belirlenen eğri tipi için, F_i , V_i ve F_m , V_m değerlerinin geçerli olduğunu biliyoruz. Dolayısıyla bu eğri tipinde, δ_c olarak denklem

5.44 'de yerine konması gereken deęer yerine, δ_m deęeri K_c hesaplaması için konulacaktır.

Buradan gerekli deęerlerin ilgili blmlerden seęilip, denklem 5.44 'de yerine konulmasıyla, Alminyum numuneler için δ_m deęerlerine karřılık gelen K_c deęerleri, ařaęıdaki tabloda olduęu řekilde belirlenmiřtir.

Tablo 19. Alminyum numuneler'den bulunmuř δ_m deęerleri ne karřılık gelen K_c deęerleri.

Numune	δ_m (mm)	K_c (Kp/mm ^{3/2})
a	0,4674	12,204
b	0,5661	13,431
c	0,6084	13,924
d	0,5946	13,765

6.8 Sonular.

Farklı 3 malzemededen hazırlanmış numunelere, kırılma tokluğu ölçüm yöntemlerinin uygulanmasıyla gerçekleştirilen deneysel çalışma ile, aşağıdaki neticeler tespit edilmiştir.

1- Special-K ve Plexiglas numunelerin eğrileri, plastik deformasyon göstermeden, kararsız çatlak yayılması sonucu aniden kırılan malzemelerin eğrileri gibidir. Alüminyum numunelerden elde ettiğimiz eğrilerde plastik bölgeyi görebilmekteyiz. Bu numunelerde kırılma akmanın tamamen sona ermesi sonucu oluşmaktadır. Buradan, daha önceden tahmin edildiği gibi, Special-K ve Plexiglas malzemelerinden hazırlanan numunelerin gevrek, Alüminyum'un ise sünek olduğu da perçinlenmiş olacaktır.

2- Eğriler,

Special-K,	230,4	ila	260	Kp
Alüminyum,	49	"	43	Kp
Plexiglas,	13,91	"	14,56	Kp

değerlerinde, numunelerin kırıldıklarını göstermektedir.

3- Gevrek malzemeler için K_{Ic} yöntemiyle kırılma dayanımı hesaplandığında,

Special-K,	73,389	ila	85,621	Kp/mm ^{3/2}
Plexiglas,	4,431	"	4,639	Kp/mm ^{3/2}

Alüminyum ise sünek olduğundan (COD) yöntemiyle kırılma tokluğu değerlendirilmiş olup, yavaş çatlak büyümesinin başlangıcındaki yer değişimi, (δ_1), max. kuvvet platosuna ilk erişimdeki çatlak açılma yer değişim değeri, (δ_m) ve (δ_m) değerlerine karşılık gelen (K_c) değerleri ise,

Alüminyum, δ_1 ,	0,1139	ila	0,1143	mm
δ_m ,	0,4674	"	0,6084	mm
K_c ,	12,204	"	13,924	Kp/mm ^{3/2}

olarak tespit edilmiştir. Buradan'da görüldüğü gibi, Alüminyum'da çatlağın başlangıç noktasında, çatlak ucunda oluşan plastik bölgenin ($K_{Ic} = \delta_c$) büyüklüğü az olup, çatlak büyümesi, (δ_m) plastik bölge büyüklüğüne erişince kararsız yayıldığı görülmektedir.

4- Her 3 malzeme kıyaslandığında, Special-K 'nın gevrek ve fazla kuvvet gerektirdiği, Plexiglas'ın yine gevrek fakat çok az kuvvet gerektirdiği ve bu iki malzemenin kırılma problemi gösterecekleri bu nedenle çok dikkatli olunması gerektiği, Alüminyum ise sünek bir malzeme olduğu ve kırılmasının büyük bir problem olmadığı söylenebilir.

5- Her 3 malzemenin daha deęişik şartlar (sıcaklık kompozisyonu gibi) altında üretilmeleriyle, malzemelerin mikro yapılarıyla kırılma toklukları (K_{Ic} , COD) arasındaki ilişkiler'in incelenmesi, bu çalışmanın devamı sayılabilecek bir uygulama olacaktır.

KAYNAKLAR

- 1- Dahl, W. "Grundlagen des Festigkeits und Bruchverhaltens", pp 143-161
Aachen, 1974
- 2- Griffith, A.A. "Trans Royal Society", vol 221 A
(1) pp 63-198, London, 1920
- 3- Dieter, E.G. "Mechanical Metallurgy", Second
(1,2) edition, pp 248-291, 491-527
Mc Graw-hill, Kogakusha, 1976
- 4- Irwin, G.R. Fracture in "Encyclopedia of Physics"
(3) vol VI, Springer, Heidelberg, 1958
- 5- Mott, N.F. "Engineering", vol 165, pp 1948
(4)
- 6- Cotrell, A.H. "Trans Metall Society", AIME, vol 212
(5) pp 192-203, 1958
"Proc. Roy. Soc.", vol 285, pp 10
London, 1965
- 7- Dawes, M.G. "Contemporary measurements of Weld
(8) Metal Fracture Toughness", Welding
J, vol 55, pp 1052-1057, 1967
- 8- Harrison, J.D. "The COD approach and its application
Dawes, M.G. to Welded Structures", Elastic-Plastic
Archer, G.L. Fracture, (Proc. Conf.), Atlanta Ga.
Komath, M.S. 16-18, Nov. pp 606-631, 1977
(8)
- 9- Zener, C. "The micro-mechanism of Fracture in
(9) Fracturing of Metals", American
Society for Metals, Metals Park,
Ohio, 1948

- 10- Stroh, A.N. "Advance Phys.", vol 6, pp 418
(10) 1957
- 11- Petch, N.J. "Iron Steel Inst.J.", vol 174
(11) pp 25, 1953
- 12- Parker, A.P. "The Mechanics of Fracture and
(1,3,14,15) Fatigue", 1981
- 13- Tetelman, A.S. "Fracture of Structure of Materials"
Mc Evily, A.Jr. pp 60-78, John Wiley and Sons Inc.
(18) 1967
- 14- Kaufman, J.G. "Fracture Toughness Testing",
(17,18) Application of Fracture Mechanics to
Design, vol 22, pp 23-42, 1979
- 15- Begley, J.A. "The J integral as a Fracture
Landes, J.D. Criterion" in Fracture Toughness
(19,20) special technical Publication 514
Philadelphia, ASTM, pp 24-39, 1972
- 16- Paris, P.C. "The theory of instability of the
Tada, H. tearing Mode of elastic-plastic
Zahcer, A. crack growth", ASTM STP 668
Ernot, H. pp 5-36, 1979
(21)
- 17- Clark, A.G. "Single Specimen Tests for J_{Ic}
Andrews, W.R. Determination" Mechanics of Crack
Paris, P.C. Growth, ASTM STP 590, ASTM, pp 27-42
Schmidt, D.W. 1976
(21)
- 18- "Methods for Crack Opening Displacement (COD) Testing"
BS 5762, British Standarts Instution
1979

- 19- Standart Test Methods for "Plane-Strain Fracture Toughness of Metallic Materials", E 399-74
American Standart Instution, 1974
- 20- Hoffmann, K. ABM Elektrisches messen mechanischer Grössen, "Anwendung der Wheatstone Brückenschaltung", Hottinger Baldwin Messtechnik, Deutschland, 1974
- 21- Aksoy, T. "Kırılma Mekanığı", İzmir, 1954
- 22- Ay, İ. "U.Ü.Fen Bilimleri Enstitüsü, Kırılma Mekanığı ders notları"
"Reaktif Kule İmalı Kaynağında Çatlak İlerlemesi ve Önleme Yöntemleri"
İzmir, 1985
- 23- Doruk, M. "O.D.T.Ü. Kırılma Mekanığı ders notları"
- 24- Yahşi, O.S. "Kırılma Mekanığı'nın Tasarımdaki önemi", Mühendis ve Makine, cilt 25 sayı 293, s 6-9, Ankara, 1984
- 25- Oğuz, B. "Oerlikon Kaynak Bilimi", sayı 1 s 17-22, 1984
- 26- Keskin, İ. "Malzeme El Kitabı", s 100
- 27- Necdet, T. "Malzeme III, Demir Karbon Alaşımları" s 231-232, İstanbul, 1979
- 28- Güventürk, F. "Çelik El Kitabı", Güven Çelik Tic. ve San. s 51
- 29- Akkurt, M.
Malik, K. "Makina Elemanları", cilt 1, s 600,609
İstanbul, 1979

- 30- iđdemođlu, M. "Korozyona Karşı Plastikler"
Makina Mühendisleri Odası Yayın
No:59, s 32-35, Ankara, 1970
- 31- Özdemir, İ. "Genel Anorganik ve Teknik Kimya"
cilt II, s 418, İstanbul, 1970
- 32- Hakdiyen, İ. "Genel ve Teknik Kimya", s 486
İstanbul, 1972